



SEKTOR FOR PETROLEUMSTEKNOLOGI Geologisk laboratorium

Rapport nr.
GEOLAB 92.32
Kopi nr. 10
Antall kopier 10

Gradering fortrolig

Tittel

GEOKJEMISK SPESIALSTUDIE FOR BRENTGRUPPEN I 34/10-36: Deteksjon av olje-vann kontakt og eventuelle variasjoner i hydrokarbonsammensetning med dyp.

Oppdragsgiver UND GEO/OP	Prosjekt	
Dato 11.09.92	Antall sider 63	Antall vedlegg

Stikkord

Hydrokarbonmetning, OVK, hydrokarbonsammensetning

BA-92-1956-1

23. INT. 1992

DST

OLJE-DIREKTOREN

Sammendrag

Denne rapporten presenterer et organisk geokjemisk studie utført med hensyn på reservoarhydrokarboner innenfor Brentgruppen i 34/10-36. Geokjemiske analyser har blitt foretatt på 53 kjerneplugger, samt DST 1 oljen. Formålet med studiet har vært å: I) etablere olje-vann kontakten på grunnlag av beregnet hydrokarbonmetning, II) evaluere mulige variasjoner i hydrokarbonsammensetning med dyp. Olje-vann kontakten har blitt detektert til å ligge mellom 3388.25 og 3389.25 mRKB. Intervallet 3377.75 - 3388.25 mRKB er klassifisert som en overgangssone. Innenfor intervallet 3396 - 3399 mRKB opptrer betydelige hydrokarbonmetninger, som kan representer en isolert reservoarsone. Det er ikke påvist systematiske variasjoner i hydrokarbonsammensetningen med dyp.

Utarbeidet av
Kjersti Knudsen
Ger van Graas
Jorunn Johannessen
Anne Beth Fløtre
Ingun Skjervak

Tekstopørator Kjersti Knudsen

Godkjent av 14/9/92 Ger van Graas
Ger van Graas, seksjonsleder
Seksjon for organisk geokemi
14/9/92 Trygve Meyer
Trygve Meyer, avdelingsleder
Geologisk laboratorium

1	INNLEDNING	1
1.1	Formål	1
1.2	Prøver og metoder	1
2	RESULTATER OG DISKUSJON	3
2.1	Hydrokarbonmetning og OVK	3
2.2	Hydrokarbonsammensetning	3
3	KONKLUSJONER	5

TABELLER

TABELL 1	Analyserte prøver med grunnlagsdata for etablering av OVK i 34/10-36.	6
TABELL 2	Horisontal permeabilitet (Kel) for analyserte prøver, 34/10-36.	8
TABELL 3	Parametre fra gasskromatografisk analyse.	10
TABELL 4	Toppøyder for triterpaner, m/z 191.	11
TABELL 5	Toppøyder for steraner, m/z 217.	12
TABELL 6	Toppøyder for steraner, m/z 218.	12
TABELL 7	Biomarkørparametre, 34/10-36.	13

FIGURER

FIGUR 1	Lokalitetskart for 34/10-36.	14
FIGUR 2	Hydrokarbonmetning og permeabilitet for Brent Grp., kjerne 2 og 3, 34/10-36.	15
FIGUR 3	Gasskromatogram av helolje, DST 1, hull 34/10-36.	16
FIGUR 4	Fordeling mellom C ₂₇ , C ₂₈ og C ₂₉ isosteraner i reservoarhydrokarboner fra 34/10-36.	17

APPENDIKS

APPENDIKS A	Termisk ekstraksjon-GC kromatogrammer.
APPENDIKS B	Massefragmentogrammer.

1 INNLEDNING

Denne rapporten presenterer et organisk geokjemisk studie utført med hensyn på reservoarhydrokarbonene i Brentgruppen i 34/10-36. Studiet har blitt utført ved Statoils Geologiske Laboratorium.

1.1 Formål

Formålet med dette studiet har vært å:

- I) etablere olje-vann kontakten på grunnlag av beregnet hydrokarbonmetning
- II) evaluere mulige variasjoner i hydrokarbonsammensetning med dyp.

1.2 Prøver og metoder

Lokalisasjon av hull 34/10-36 er vist i Figur 1. 53 sandsteinsprøver har blitt plukket fra kjerne 2 og 3 i intervallet 3363.50 - 3416 mRKB. Materialet er tatt fra de samme kjerneplugger som har blitt benyttet til porøsitetts- og permeabilitetsmålinger (GECO data). I tillegg har DST 1 (3371.2 - 3376.2 mRKB) inngått i prøvesettet.

Følgende analyseprogram har blitt utført:

METODE	KJERNEPRØVER	DST
Rock-Eval pyrolyse	53	
Termisk ekstraksjons-GC	13	
Pyrolyse-GC	13	
Termisk ekstraksjons-GC-MS	6	
GC-MS		1
Helolje GC		1

Rock-Eval pyrolyse har blitt benyttet for måling av frie hydrokarboner (S1) og hydrokarboner (og hydrokarbonlignende forbindelser) frigitt under pyrolyse (S2: i rene sandsteiner tilsvarer dette termisk nedbrytningsprodukter fra asfaltener og resiner). Sammensetningen av reservoarhydrokarbonene har blitt undersøkt ved hjelp av termisk ekstraksjon-GC og termisk ekstraksjons-GC-MS, samt helolje GC og GC-MS.

Det analytiske arbeidet er foretatt ifølge de retningslinjer som er gitt i "Organic Geochemistry Standard Analytical Procedure Requirement and Reporting Guide". Termisk ekstraksjons-GC-MS er ikke beskrevet i denne guiden, men med unntak av ekstraksjonsmetode og injektorsystem (termisk ekstraksjon ved bruk av MSSV kapil-

lær og injektorsystem) er det benyttet samme prosedyre som ved lavopløselig GC-MS på hel- olje/ekstrakt.

Hydrokarbonmetning for analyserte kjerneplugger har blitt beregnet etter følgende likning:

$$S_0 = 10 * S_1 * [\rho_{ma} - (\rho_{ma} - \rho_v)\phi/100]/\rho_f\phi$$

hvor,

S_1 = mengde frie hydrokarboner (mg/g b.a.) målt ved Rock-Eval pyrolyse

ρ_{ma} = tetthet av bergartsmatriks, anslått til 2.7 g/cm³

ρ_v = tetthet av porevann, anslått til 1.0 g/cm³

ρ_f = tetthet av olje, anslått til 0.85 g/cm³

ϕ = helium-porositet (%) målt på kjerneplugg
(Geco data)

RESULTATER OG DISKUSJON

2.1 Hydrokarbonmetning og OVK

Tabell 1 viser resultatene av Rock Eval analyse sammen med He-porøsitet og beregnet hydrokarbonmetning, mens Tabell 2 oppgir målte permeabilitetsverdier (horizontal Kel) for analyserte kjerneplagger. Vertikal variasjon av hydrokarbonmetning og permeabilitet er illustrert i Figur 2.

Oljemetning har blitt beregnet, som hydrokarbonmetning, på grunnlag av S1 alene. S2 har ikke blitt inkludert i beregningene til tross for at denne parameteren ideelt sett representerer pyrolyseprodukter fra asfaltener og resiner, som utgjør en del av oljen. For leirholdige sandsteiner, slik som mange av prøvene i dette studiet, kan imidlertid S2 delvis representerere pyrolyseprodukter fra in situ organisk materiale. Dessuten utgjør S2 gjerne relativt en svært liten del av den totale hydrokarbonmengde i intervaller med betydelig hydrokarbonmetning (jfr. S2/S1+S2). S2 har derfor her blitt utelukket.

Beregnete hydrokarbonmetninger indikerer at olje-vann kontakten ligger mellom 3388.25 og 3389.25 mRKB. Intervallet ned til 3377.25 mRKB viser metninger mellom 5 og 34 % (med unntak av en prøve på 3374 mRKB, som har meget lav permeabilitet). Mellom 3377.75 og 3388.25 mRKB er metningen lavere, < 5%, uten at permeabiliteten viser systematisk lavere verdier. Dette intervallet er klassifisert som en overgangssone.

Intervallet 3389.25 - 3416 mRKB er definert som vannsone, hvor hydrokarbonmetninger generelt lavere enn 1% er tilstede. Imidlertid viser prøver i intervallet 3396 - 3399 mRKB betydelige metninger (4 - 7 %). Dette intervallet kan representerere en selvstendig reservoarsone eller "mini"-reservoar som ikke står i kontakt med overliggende oljesone. På denne lokaliteten ligger dette nemlig direkte under et intervall med lav permeabilitet. Lateralt kan imidlertid denne sonen utgjøre en kontinuerlig del av den overliggende oljesonen.

2.2 Hydrokarbonsammensetning

Kromatogram av termisk ekstraherte hydrokarboner fra sandsteinsprøver er samlet i appendiks A. Prøvene representerer oljesonen, inkludert overgangssonen, og "mini"-reservoaret, samt variasjoner i metning innenfor disse tre intervallene. Gasskromatogram av helolje fra DST 1 er presentert i Figur 3. Molekylære parametere beregnet på grunnlag av gasskromatografiske analyser er gitt i Tabell 3.

Kromatogrammene av de termisk ekstraherte hydrokarbonene viser små forskjeller mellom prøvene. Dette indikerer at ingen betydelige vertikale variasjoner i hydrokarbonsammensetningen er tilstede innenfor undersøkte intervall.

Kjerneprøvene inneholder svært lave mengder av hydrokarboner under nC₁₂, idet lettere forbindelser høyst sannsynlig har unnsluppet ved trykkavlastning under kjerne-takingen. Heloljen fra DST 1 har derfor blitt analysert for et mer fullstendig fingeravtrykk av reservoarhydrokarbonene. Oljen er karakterisert ved et høyt voksinnehold og en framtredende bimodal komponent-fordeling, hvor de tyngre n-alkanene dominerer profilen. Et tilsvarende fingeravtrykk er funnet for de tidligere testede oljer fra Gullfaks Sør strukturen.

Relativ mengde av pristan er noe høyere i prøver under 3386 mRKB, men signifikansen av dette er usikker.

Biomarkøranalyser har blitt foretatt for å detektere eventuelle populasjoner av akkumulerte hydrokarboner utifra deres signaler om kildebergartsfacies og termisk modningssnivå. Foruten DST 1 oljen, har to sandsteins-prøver fra henholdsvis oljesonen (grunnere enn overgangssonen), overgangssonen og "mini"-reservoaret blitt analysert. Massefragmentogrammene er gitt i appendiks B, mens topphøyder og biomarkørforhold er presentert i Tabell 4 -7.

Enkelte biomarkørparametre viser variasjon mellom de analyserte prøvene. Delvis er denne variasjonen innfor registrerte standardavvik (basert på analyse av standard-prøver over tid), delvis er den signifikant. Imidlertid viser biomarkørsammensetningene ingen systematiske forskjeller mellom de tre ovennevnte intervaller (oljesonen, overgangssonen og "mini"-reservoaret) hverken med hensyn til facies eller termisk modningssnivå av tilhørende kildebergart. Dette er bl.a. illustrert ved fordelingen mellom C₂₇, C₂₈ og C₂₉ isosteraner (Figur 4). Det er således ikke grunnlag for å identifisere ulike populasjoner av hydrokarboner innenfor undersøkte intervaller.

Det bemerkes at flere av parametrerne viser signifikant forskjellige verdier for DST 1 oljen sammenlignet med de termiske ekstraktene. Spesielt gjøres det oppmerksom på oljens høye relative opptreden av C₂₉ isosteraner. Disse forskjellene kan muligens tilskrives bruk av ulike injeksjonsmetoder (MMSV kapillær og injektorsystem benyttet for termiske ekstrakter, mens helolje har blitt injisert ved bruk av split/splitless injektor) og/eller ulike prøvetyper. De påpekes imidlertid at DST 1 oljens relative innhold av C₂₉ er markant høyere enn det som er dokumentert for andre Gullfaks Sør DST oljer (jfr. Geokjemisk reservoarevaluering av Gullfaks Sør området. Geolab Rapport nr. 90.45).

3 KONKLUSJONER

- I) Beregnede hydrokarbonmetninger indikerer at olje-vann kontakten ligger mellom 3388.25 og 3389.25 mRKB. Intervallet 3377.75 - 3388.25 mRKB er klassifisert som en overgangssone ved at metningene systematisk er lavere uten at permeabiliteten viser samme tendens. Innenfor intervallet 3396 - 3399 mRKB opptrer betydelige hydrokarbonmetninger. På denne lokaliteten er dette detektert som en isolert reservoarsone. På lateral skala kan det imidlertid utgjøre en kontinuerlig del av overliggende oljesone.
- II) Det er ikke påvist systematiske variasjoner i hydrokarbonsammensetningen hverken innenfor eller mellom de ovennevnte intervaller.

TABELL 1 ANALYSERTE PRØVER MED GRUNNLAGSDATA FOR ETABLERING AV OVK I 34/10-36.

S NR.	PLUGG NR.	PRØVE- DYP m RKB	LITOLOGI	S1		S2/S1+S2	He-φ %	So %
				mq	hk q b.a.			
S5990	3	3363.50	sst,gry,med	17.69	1.35	0.07	22.8	21.11
S5991	6	3364.75	sst,brn,med	24.08	2.28	0.09	19.5	34.41
S5992	9	3365.50	sst,brn,med	15.31	1.09	0.07	16.1	27.14
S5993	13	3366.50	sst,gry,med	6.86	0.14	0.02	11.4	17.74
S5994	17	3367.50	sst,gry,crs-vcrs	11.19	0.81	0.07	13.9	23.33
S5995	21	3368.50	sst,gry,crs	7.66	0.53	0.06	15.4	14.27
S5996	23	3369.00	sst,gry,crs	11.55	1.22	0.10	16.7	19.66
S5997	27	3370.00	sst,gry,crs-med	13.79	1.19	0.08	20.5	18.61
S5998	31	3371.00	sst,lt brn,med-crs	6.74	0.20	0.03	13.1	15.00
S5999	35	3372.00	sst,dk gry,crs	5.64	0.12	0.02	16.8	9.54
S6000	39	3373.00	sst,gry brn,med	10.01	0.22	0.01	16.8	16.92
S6034	43	3374.00	sst,lt gry,fn-med,calc cmtd	0.04	0.12	0.75	7.9	0.15
S6035	47	3375.00	sst,brn,crs	12.90	1.00	0.07	24.0	14.49
S6036	49	3375.50	sst,brn,med	22.71	2.58	0.10	24.9	24.43
S6037	50	3375.75	sst,gry,med,mic,lam	2.43	0.55	0.18	8.2	8.94
S6038	52	3376.25	sst,gry,med	9.27	0.15	0.02	18.5	14.06
S6039	54	3376.75	sst,brn,med	7.31	0.24	0.03	17.2	12.04
S6040	56	3377.25	sst,brn,crs	4.66	0.03	0.01	22.2	5.74
S6041	58	3377.75	sst,brn,med	1.56	0.07	0.04	16.6	2.67
S6042	60	3378.25	sst,brn,fn-med,mic,lam	1.66	0.02	0.01	12.4	3.92
S6043	62	3378.75	sst,brn,med	0.97	0.12	0.11	20.3	1.32
S6044	64	3379.25	sst,gry,fn,mica lam	0.60	2.17	0.78	6.6	2.79
S6045	66	3379.75	sst,brn,fn-med,mica lam	3.35	0.51	0.13	17.7	5.34
S6046	68	3380.25	sst,brn,fn	2.37	0.16	0.06	20.1	3.27
S6047	70	3380.75	sst,brn,fn,mic	0.64	0.29	0.31	9.4	2.03
S6048	72	3381.25	sst,gry,fn,mic	0.26	1.20	0.82	9.8	0.79

TABELL 1 (forts.) ANALYSERTE PRØVER MED GRUNNLAGSDATA FOR ETABLERING AV OVK I 34/10-36.

S NR.	PLUGG NR.	PRØVE- DYP m RKB	LITOLOGI	S1	S2	S2/S1+S2	He-Φ	So
				<u>mg</u> <u>q b.a.</u>	<u>mg</u> <u>q b.a.</u>	<u>mg</u> <u>q b.a.</u>	%	%
S6049	74	3381.75	sst, brn, med	1.71	0.06	0.03	21.2	2.22
S6050	76	3382.25	sst, brn, med	1.11	0.17	0.13	22.1	1.37
S6051	78	3382.75	sst, brn, med	0.89	0.26	0.23	22.7	1.07
S6052	80	3383.25	sst, gry, fn-med	0.98	0.12	0.11	16.4	1.70
S6053	82	3383.70	sst, lt gry, fn	0.76	0.00	0.00	19.1	1.11
S6054	84	3384.25	sst, lt gry, fn-med	0.90	0.01	0.01	21.0	1.18
S6055	86	3384.75	sst, gry, med-crs	0.71	0.03	0.04	20.8	0.94
S6056	88	3385.25	sst, gry, med-crs	1.04	0.03	0.03	20.3	1.42
S6057	92	3386.25	sst, gry, med-crs	2.32	0.01	0.00	22.5	2.81
S6058	96	3387.25	sst, gry, med	2.70	0.15	0.05	18.0	4.22
S6059	100	3388.25	sst, gry brn, med-fn	3.44	0.46	0.12	19.0	5.06
S6060	104	3389.25	sst, lt gry, fn, calc cmtd	0.02	0.07	0.78	1.2	0.52
S6061	106	3389.75	sst, gry, fn, calc cmtd	0.20	0.57	0.74	11.1	0.53
S6062	109	3390.75	sst, gry, med	0.25	0.15	0.38	18.8	0.37
S6063	111	3391.25	sst, gry, fn	0.02	0.15	0.88	18.2	0.03
S6064	114	3392.00	sst, gry, fn	0.04	0.13	0.76	12.2	0.10
S6065	118	3393.00	sst, gry, fn	0.01	0.14	0.93	20.4	0.01
S6068	130	3396.00	sst, gry, fn, mic, w/coal fragm	1.70	0.32	0.16	13.8	3.57
S6069	134	3397.00	sst, gry, fn	4.13	0.25	0.06	17.0	6.89
S6070	138	3398.00	sst, gry, fn, lam, slty	0.34	0.12	0.26	14.3	0.69
S6071	142	3399.00	sst, gry, fn	4.07	0.01	0.00	17.6	6.53
S6072	147	3406.00	sst, gry, fn	0.03	0.33	0.92	16.8	0.05
S6073	151	3407.00	sst, gry, fn	0.01	0.22	0.96	17.1	0.02
S6074	160	3411.25	sst, gry, fn, calc cmtd	0.03	0.19	0.86	12.8	0.07
S6075	163	3412.00	sst, gry, fn	0.02	0.39	0.95	19.0	0.03
S6076	176	3415.25	sst, brn, med	0.02	0.14	0.88	17.6	0.03
S6077	179	3416.00	sst, brn, med	0.10	0.38	0.79	18.4	0.15

TABELL 2 HORIZONTAL PERMEABILITET (Kel) FOR ANALYSERTE PRØVER,
34/10-36.

S NR.	PLUGG NR.	PRØVE- DYP m RKB	LITOLOGI	Kel mD
S5990	3	3363.5	sst,gry,med	334
S5991	6	3364.75	sst,brn,med	314
S5992	9	3365.5	sst,brn,med	42.7
S5993	13	3366.5	sst,gry,med	1.20
S5994	17	3367.5	sst,gry,crs-vcrs	23.2
S5995	21	3368.5	sst,gry,crs	342
S5996	23	3369.0	sst,gry,crs	904
S5997	27	3370.0	sst,gry,crs-med	663
S5998	31	3371.0	sst,lt brn,med-crs	10.7
S5999	35	3372.0	sst,dk gry,crs	183
S6000	39	3373.0	sst,gry brn,med	94.8
S6034	43	3374.0	sst,lt gry,fn,calc cmtd	<0.02
S6035	47	3375.0	sst,brn,crs	600
S6036	49	3375.5	sst,brn,med	446
S6037	50	3375.75	sst,gry,med,mic,lam	0.08
S6038	52	3376.25	sst,gry,med	14.0
S6039	54	3376.75	sst,brn,med	12.2
S6040	56	3377.25	sst,brn,crs	309
S6041	58	3377.75	sst,brn,med	9.78
S6042	60	3378.25	sst,brn,fn-med,mic,lam	0.80
S6043	62	3378.75	sst,brn,med	145
S6044	64	3379.25	sst,gry,fn,mica lam	0.05
S6045	66	3379.75	sst,brn,fn-med,mica lam	9.56
S6046	68	3380.25	sst,brn,fn	17.4
S6047	70	3380.75	sst,brn,fn,mic	0.10
S6048	72	3381.25	sst,gry,fn,mic	<0.02
S6049	74	3381.75	sst,brn,med	47.7
S6050	76	3382.25	sst,brn,med	25.6

TABELL 2 (forts.) HORISONTAL PERMEABILITET (Kel) FOR ANALYSERTE PRØVER, 34/10-36.

S NR.	PLUGG NR.	PRØVE- DYP m RKB	LITOLOGI	Kel mD
S6051	78	3382.75	sst, brn, med	46.0
S6052	80	3383.25	sst, gry, fn-med	3.88
S6053	82	3383.70	sst, lt gry, fn	14.1
S6054	84	3384.25	sst, lt gry, fn-med	63.8
S6055	86	3384.75	sst, gry, med-crs	171
S6056	88	3385.25	sst, gry, med-crs	105
S6057	92	3386.25	sst, gry, med-crs	221
S6058	96	3387.25	sst, gry, med	35.4
S6059	100	3388.25	sst, gry brn, med-fn	6.29
S6060	104	3389.25	sst, lt gry, fn, calc cmtd	<0.02
S6061	106	3389.75	sst, gry, fn, calc cmtd	<0.02
S6062	109	3390.75	sst, gry, med	9.88
S6063	111	3391.25	sst, gry, fn	49.8
S6064	114	3392.0	sst, gry, fn	0.29
S6065	118	3393.0	sst, gry, fn	37.7
S6068	130	3396.0	sst, gry, fn, mic, w/coal	0.48
S6069	134	3397.0	sst, gry, fn	0.68
S6070	138	3398.0	sst, gry, fn, lam, slty	0.22
S6071	142	3399.0	sst, gry, fn	2.11
S6072	147	3406.0	sst, gry, fn	2.00
S6073	151	3407.0	sst, gry, fn	1.99
S6074	160	3411.25	sst, gry, fn, calc cmtd	0.51
S6075	163	3412.0	sst, gry, fn	29.8
S6076	176	3415.25	sst, brn, med	484
S6077	179	3416.0	sst, brn, med	-

TABELL 3 PARAMETRE FRA GASSKROMATOGRAFISK ANALYSE,
34/10-36.

DYBDE (mRKB)	PRØVE NR.	PR/ PH	PR/ N-C17	PH/ N-C18	A/B
3364,75	S5991	2,58	0,64	0,26	2,46
3371,00	S5998	2,41	0,64	0,28	2,29
3373,00	S6000	2,54	0,64	0,27	2,37
3375,50	S6036	2,37	0,67	0,29	2,31
3377,25	S6040	2,39	0,64	0,28	2,29
3378,25	S6042	2,41	0,66	0,28	2,36
3379,75	S6045	2,51	0,65	0,27	2,41
3383,25	S6052	2,51	0,65	0,28	2,32
3386,25	S6057	3,17	0,78	0,26	3,00
3388,25	S6059	3,11	0,78	0,27	2,89
3396,00	S6068	3,02	0,85	0,28	3,04
3397,00	S6069	2,95	0,85	0,30	2,83
3399,00	S6071	3,07	0,86	0,29	2,97
DST 1	S6330	2,55	0,65	0,24	2,71

A/B = (pristan/n-C17) / (fytan/n-C18)

TABELL 4 TOPPHØYDER FOR TRITERPANER, M/Z 191

PRØVE NR. DYP	S5998 3371,00	S6000 3373,00	S6045 3379,75	S6057 3386,25	S6069 3397,00	S6071 3399,00	S6330 DST 1
Counts	440	1300	74	482	70	137	492
27A	19	16	20	17	22	17	12
27B	34	28	29	23	36	35	18
28A	10	11	10	15	20	20	7
29A	66	66	69	67	73	70	53
30D	21	22	20	24	20	23	20
29B	16	16	17	15	14	16	15
30A	120	122	119	123	119	118	125
30B	23	26	23	21	16	22	31
31A	48	52	45	45	35	41	72
31B	31	35	29	30	22	26	53
32A	27	35	23	26	16	22	60
32B	20	26	18	20	13	17	46
33A	19	20	11	13	6	10	47
33B	9	15	8	9	3	6	36
34A	8	14	5	7	3	6	36
34B	6	10	3	5	2	3	28
35A	5	8	3	4	3	4	27
35B	4	6	3	3	2	3	18

TABELL 5 TOPPHØYDER FOR STERANER, M/Z 217

PRØVE NR. DYP	S5998 3371,00	S6000 3373,00	S6045 3379,75	S6057 3386,25	S6069 3397,00	S6071 3399,00	S6330 DST 1
Counts	154	348	34	150	36	62	67
27A	62	58	66	56	72	63	66
27B	32	28	38	34	35	31	41
27E	20	22	22	26	24	27	27
27H	33	28	20	39	32	35	30
29E	27	35	17	34	23	29	42
29F	34	40	23	45	32	38	54
29G	35	40	23	42	31	41	57
29H	36	46	27	46	25	36	74

12

TABELL 6 TOPPHØYDER FOR STERANER, M/Z 218

PRØVE NR. DYP	S5998 3371,00	S6000 3373,00	S6045 3379,75	S6057 3386,25	S6069 3397,00	S6071 3399,00	S6330 DST 1
Counts	89	178	16	81	18	34	45
27F	57	60	57	67	63	54	48
27G	98	95	90	104	99	99	82
28F	50	48	48	60	55	62	51
28G	48	59	35	62	44	53	44
29F	86	101	65	110	86	94	104
29G	92	106	69	114	82	103	115
30F	15	30	12	18	11	13	20
30G	16	31	14	19	12	12	19

TABELL 7 BIOMARKØRPARAMETRE, 34/10-36.

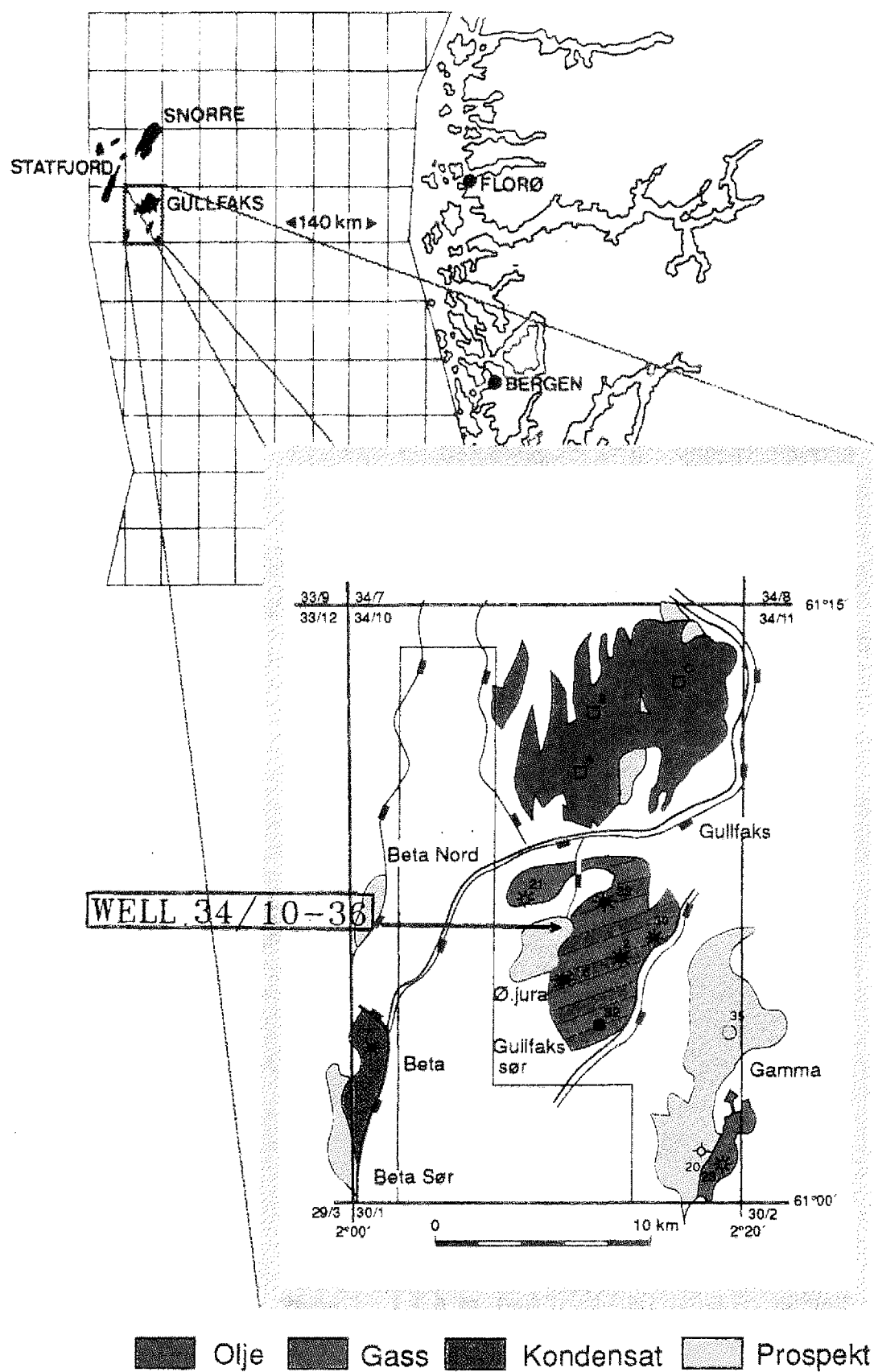
PRØVE NR	DYP m	<----- m/z 191 ----->				<----- m/z 217 ----->			
		%C30 α (a)	%22S (b)	%C30d (c)	%Ts (d)	%C32S (e)	%C29 $\beta\beta$ (f)	%20S (g)	C27d (h)
S5998	3371	84	62	57	36	57	52	43	1.8
S6000	3373	82	58	58	36	57	50	43	1.7
S6045	3379.75	84	58	54	41	56	51	39	2.5
S6057	3386.25	85	59	62	43	57	52	43	1.4
S6069	3397	88	61	59	38	55	57	48	1.9
S6071	3399	84	60	59	33	56	55	45	1.5
S6330	DST 1	80	57	57	40	57	49	36	1.9

- (a) 100* C30 α /(C30 α +C30 β) hopan
 (b) 100* (C31 α S/(C31 α S+C31 α R)+C32 α S/(C32 α S+C32 α R) + C33 α S/(C33 α S+C33 α R))/3 hopan
 (c) 100* C30-diahopan/(C30-diahopan + C29 β -hopan)
 (d) 100* Ts/(Ts+Tm)
 (e) 100* 22S/(22S+22R) C32 α -hopan
 (f) 100* $\beta\beta$ /($\beta\beta$ + $\alpha\alpha$) C29-steran (20R+20S)
 (g) 100* 20S/(20R+20S) C29 $\alpha\alpha$ -steran
 (h) C27-diasteran/C27 $\alpha\alpha$ -steran (20S+20R)

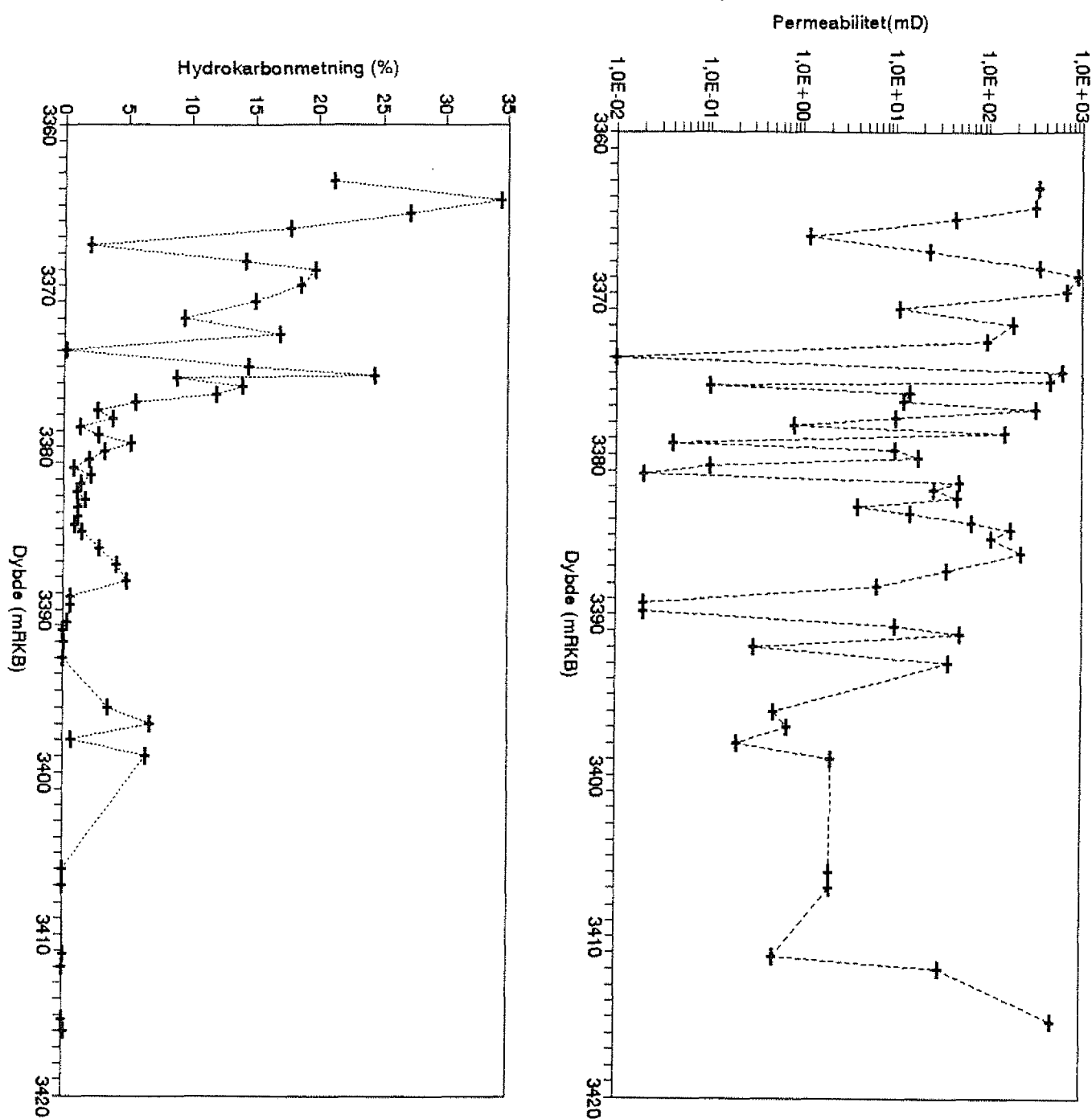
PRØVE NR	DYP m	<----- m/z 191 ----->				<----- m/z 217 ----->				<----- m/z 218 ----->		
		28 α (i)	29/30 α (j)	34/35 α (k)	δ 22S (l)	27/29 $\alpha\alpha$ (m)	27 $\beta\beta$ (n)	28 $\beta\beta$ (n)	29 $\beta\beta$ (n)			
S5998	3371	0.1	0.6	1.6	1.9	0.9	36	23	41			
S6000	3373	0.1	0.5	1.7	1.6	0.6	33	23	44			
S6045	3379.75	0.1	0.6	1.3	2.1	0.7	40	23	37			
S6057	3386.25	0.1	0.5	1.7	1.9	0.8	33	24	43			
S6069	3397	0.2	0.6	1.0	2.3	1.3	38	23	39			
S6071	3399	0.2	0.6	1.3	1.9	1.0	33	25	42			
S6330	DST 1	0.1	0.4	1.4	1.3	0.4	29	21	49			

- (i) C28 α /C30 α hopan
 (j) C29 α /C30 α hopan
 (k) C34 α /C35 α hopan (22R+22S)
 (l) (C31 α S/C32 α S+C32 α S/C33 α S+C33 α S/C34 α S) /3 hopan
 (m) C27 $\alpha\alpha$ R/C29 $\alpha\alpha$ R steran
 (n) 100* C27 $\beta\beta$ /(C27 $\beta\beta$ +C28 $\beta\beta$ +C29 $\beta\beta$) steran (20R+20S)
 (osv. for C28 og C29)

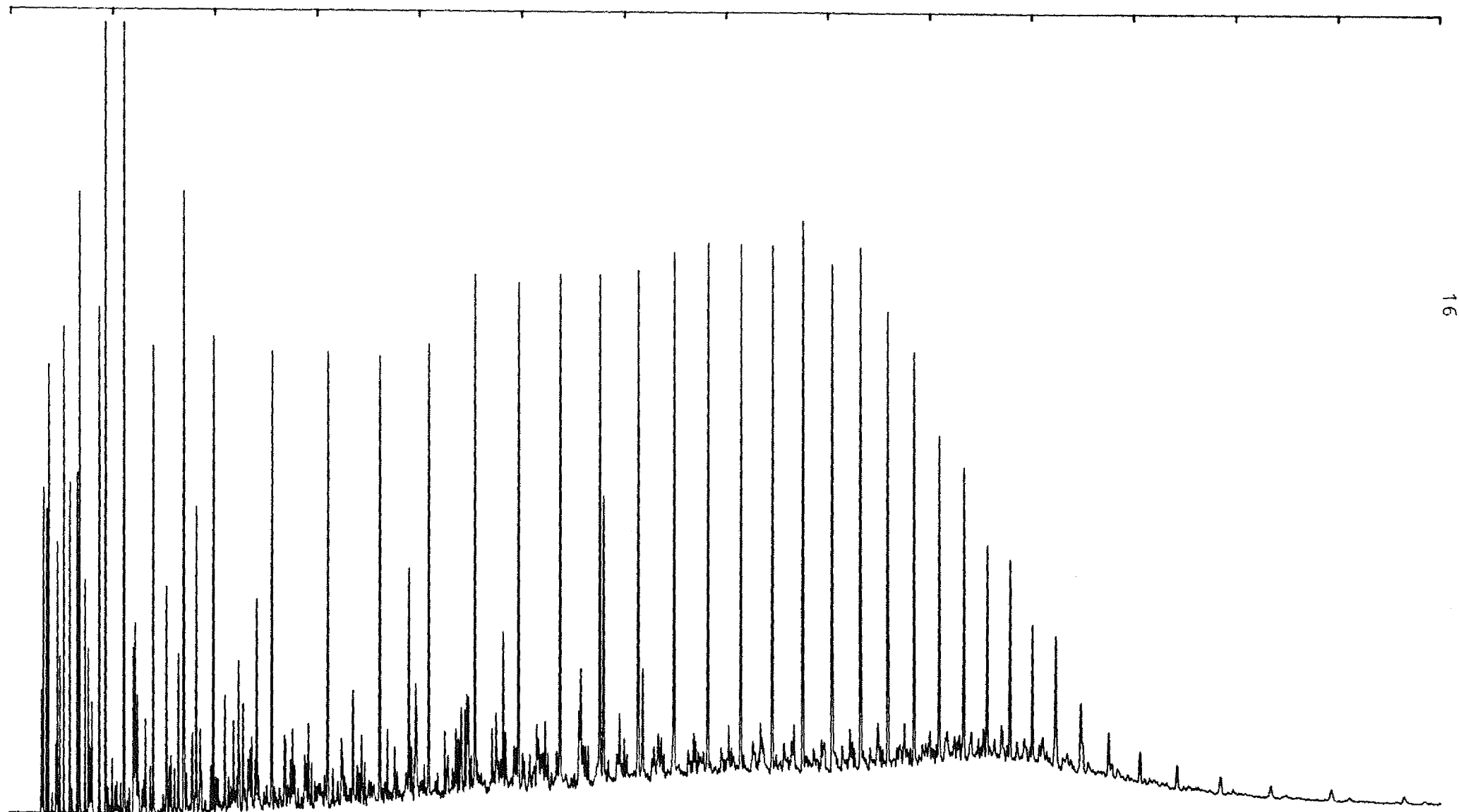
FIGUR 1 LOKALITETSKART FOR 34/10-36.



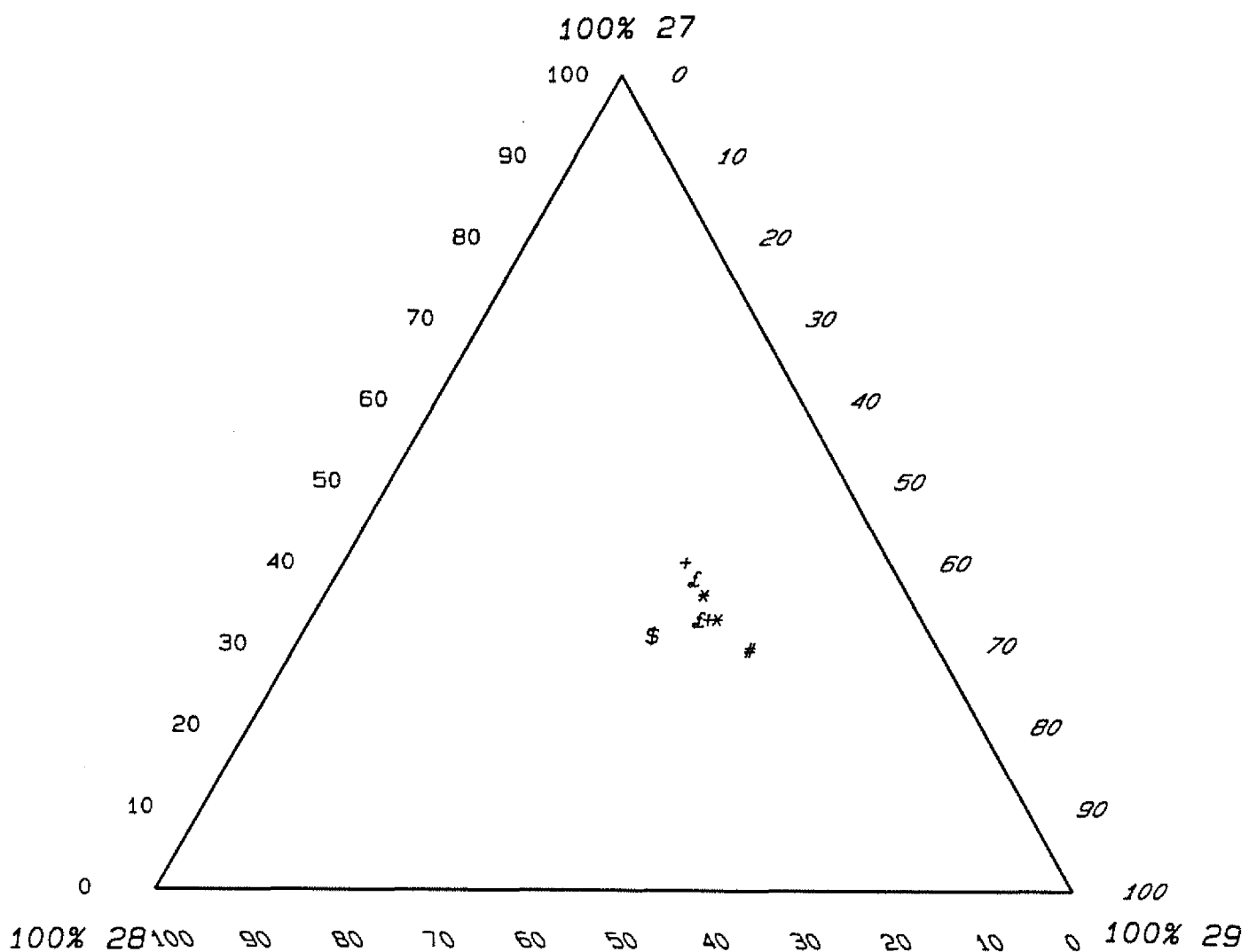
FIGUR 2 HYDROKARBONMETNING OG PERMEABILITET FOR BRENT GRP., KJERNE 2 OG 3, 34/10-36.



FIGUR 3 GASSKROMATOGRAM AV HEOLJE, DST 1, 34/10-36.



FIGUR 4 FORDELING MELLOM C₂₇, C₂₈ OG C₂₉ ISOSTERANER I RESERVOARHYDROKABONER FRA 34/10-36.



* oljesonen grunnere enn overgangssonen

+ overgangssonen

£ "minireservoir"

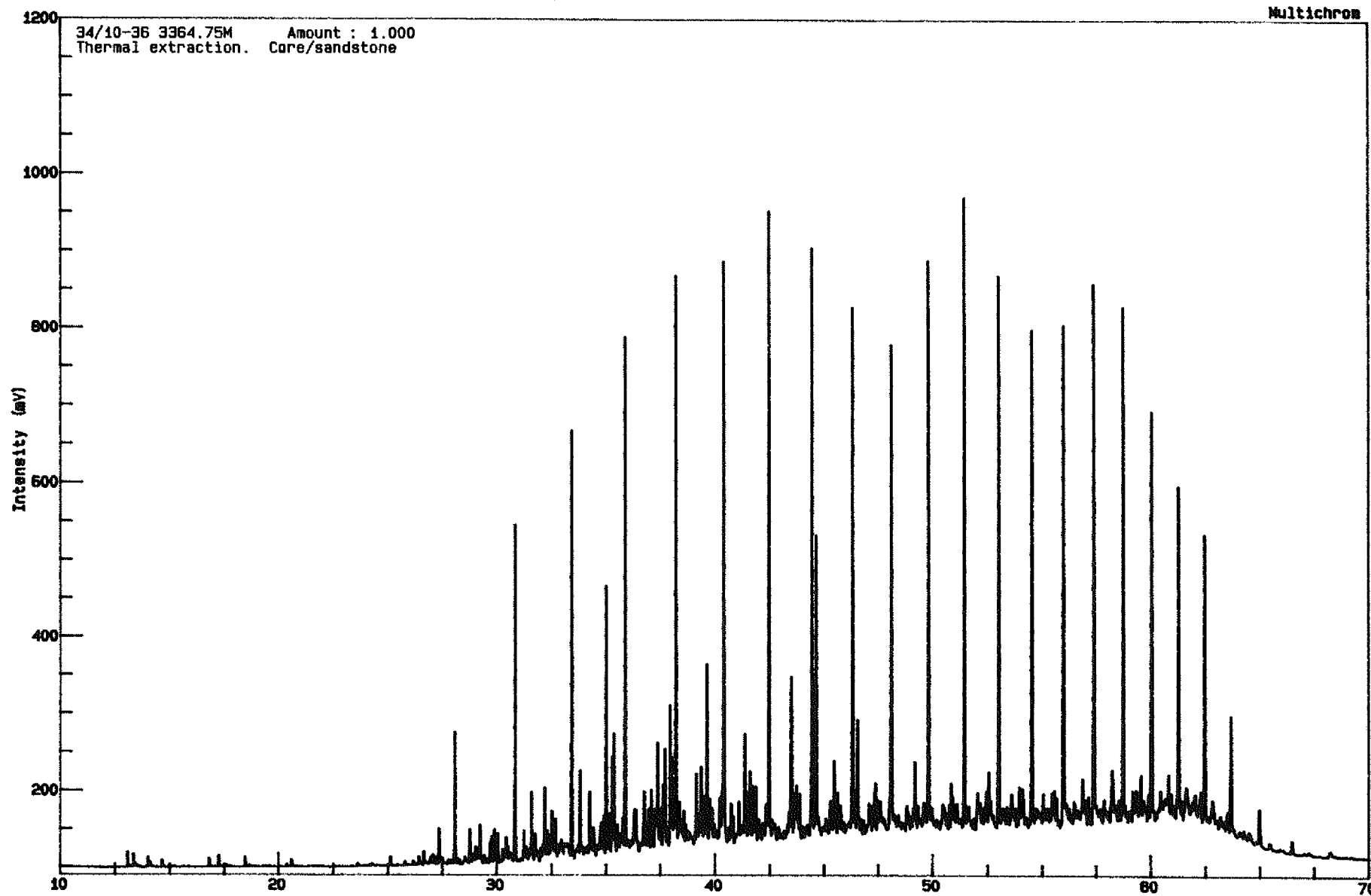
34/10-36 DST 1

\$ 34/10-16 DST 1

APPENDIKS A
TERMISK EKSTRAKSJON-GC KROMATOGRAMMER

Analysis Name : [GEOKJEMI] 1 S5991, 1, 1.

Multichrom

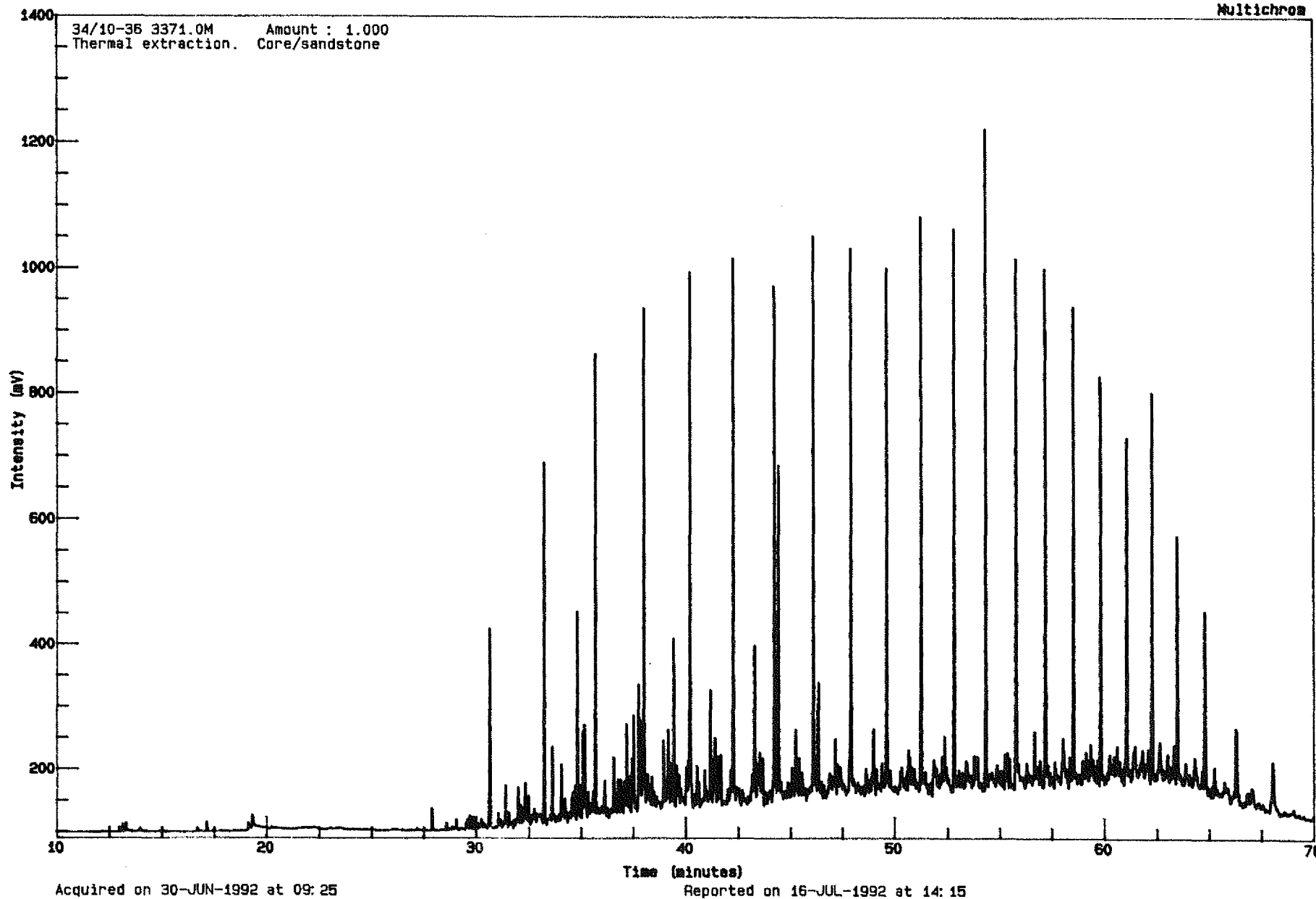


Acquired on 29-JUN-1992 at 14:21

Reported on 16-JUL-1992 at 13:38

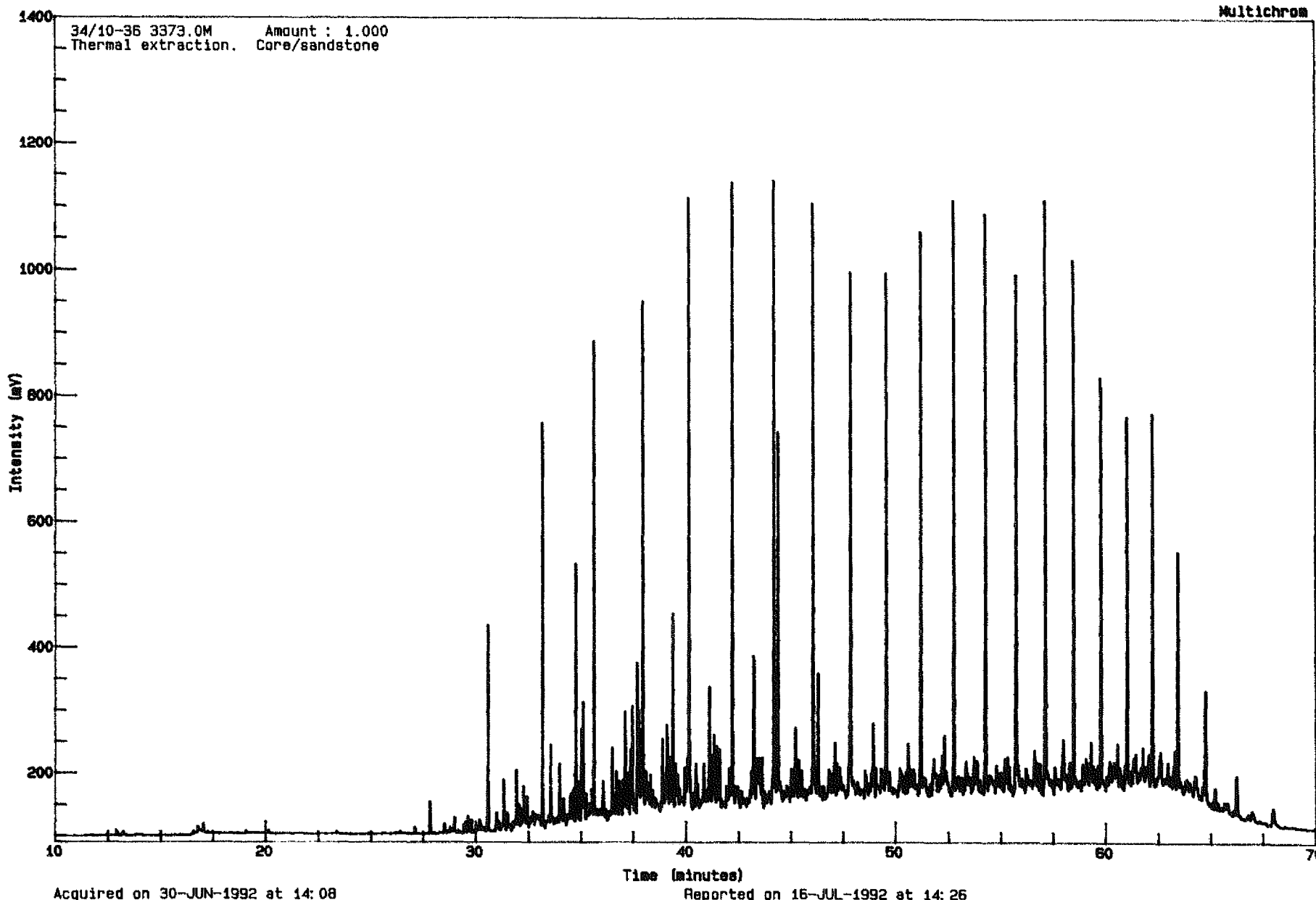
Analysis Name : [GEOKJEMI] 1 S5998, 1, 1.

Multichrom



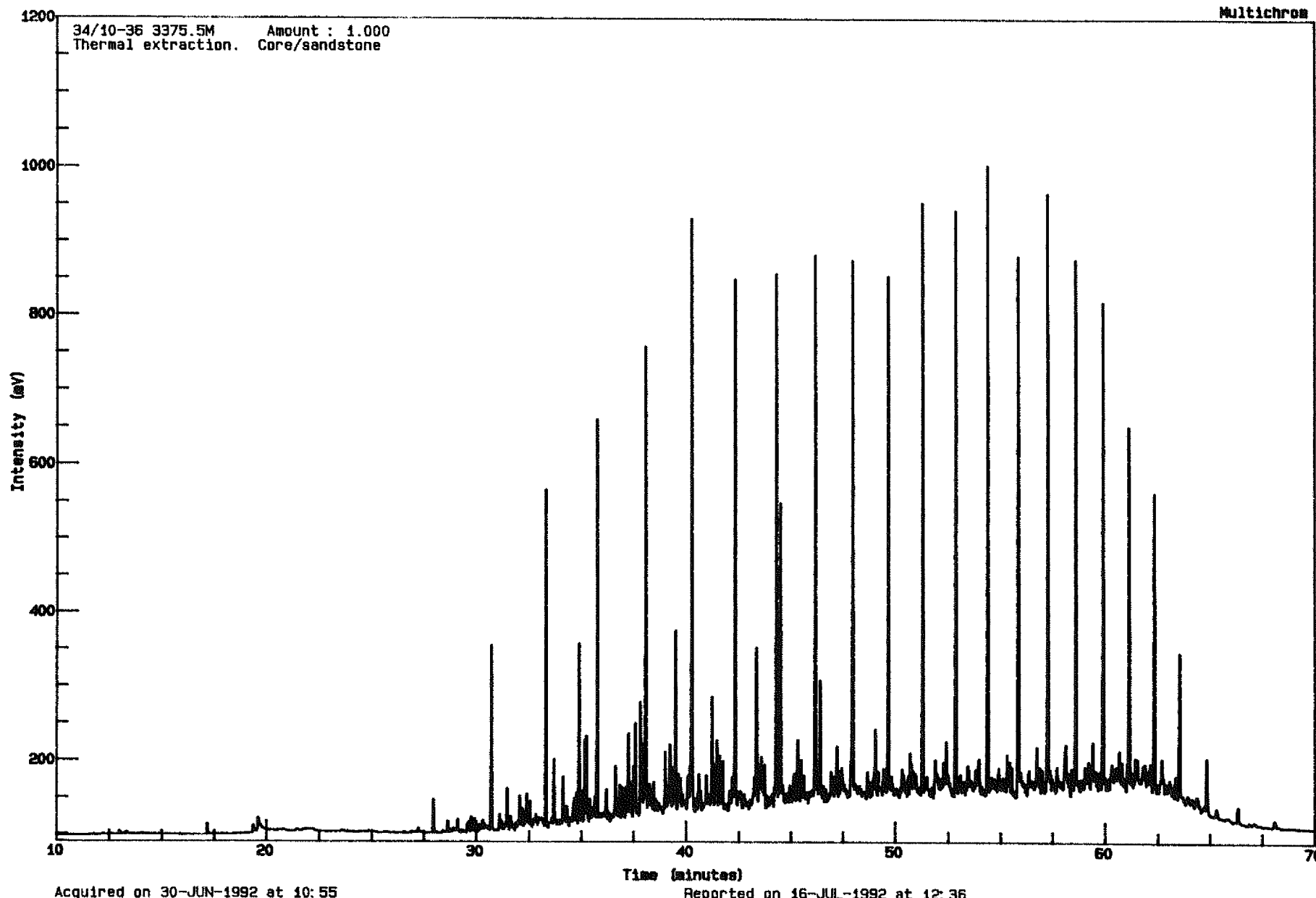
Analysis Name : [GEOKJEMI] 1 S6000, 1, 1.

Multichrom



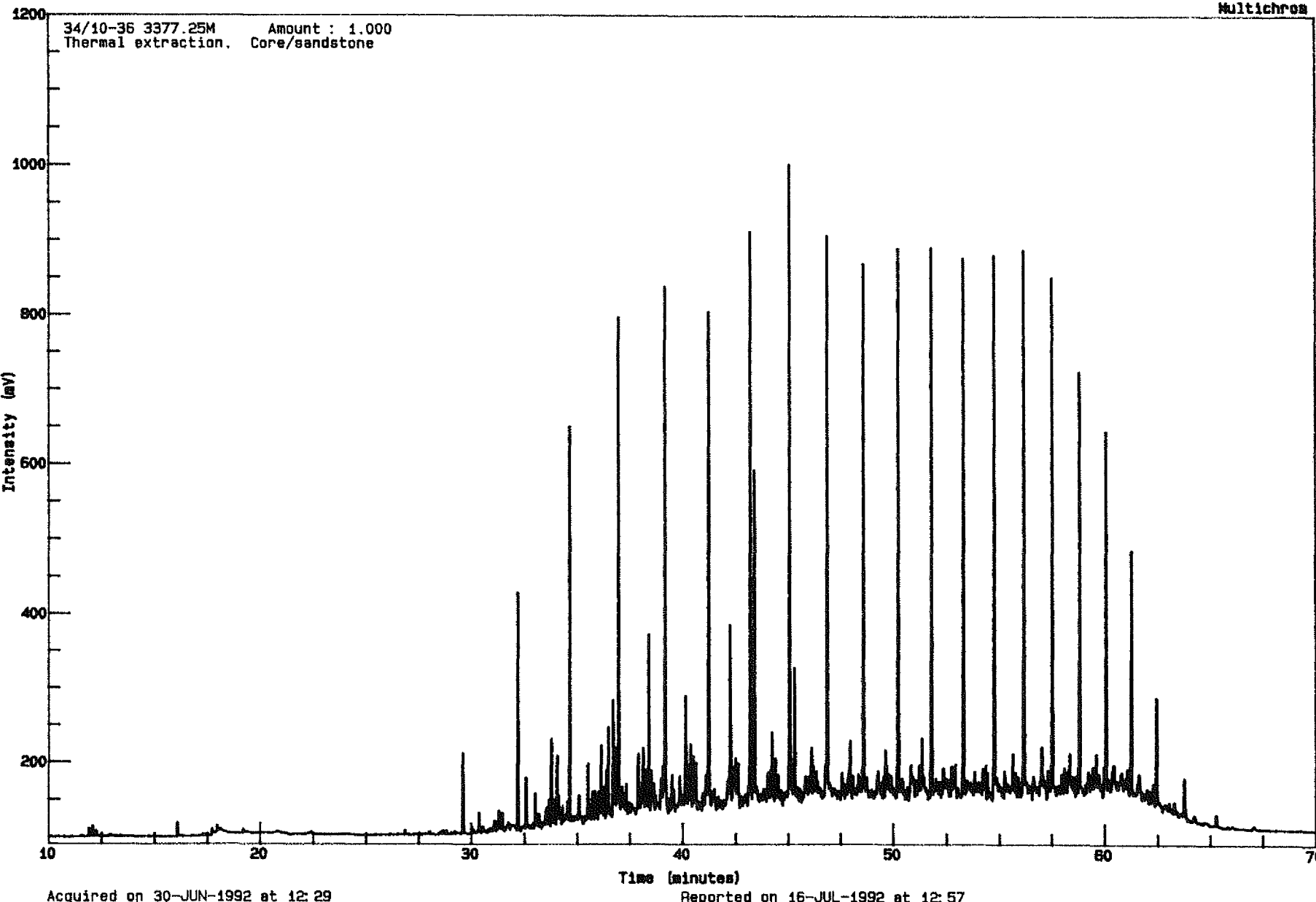
Analysis Name : [GEOKJEMI] 1 S6036, 1, 1.

Multichrom



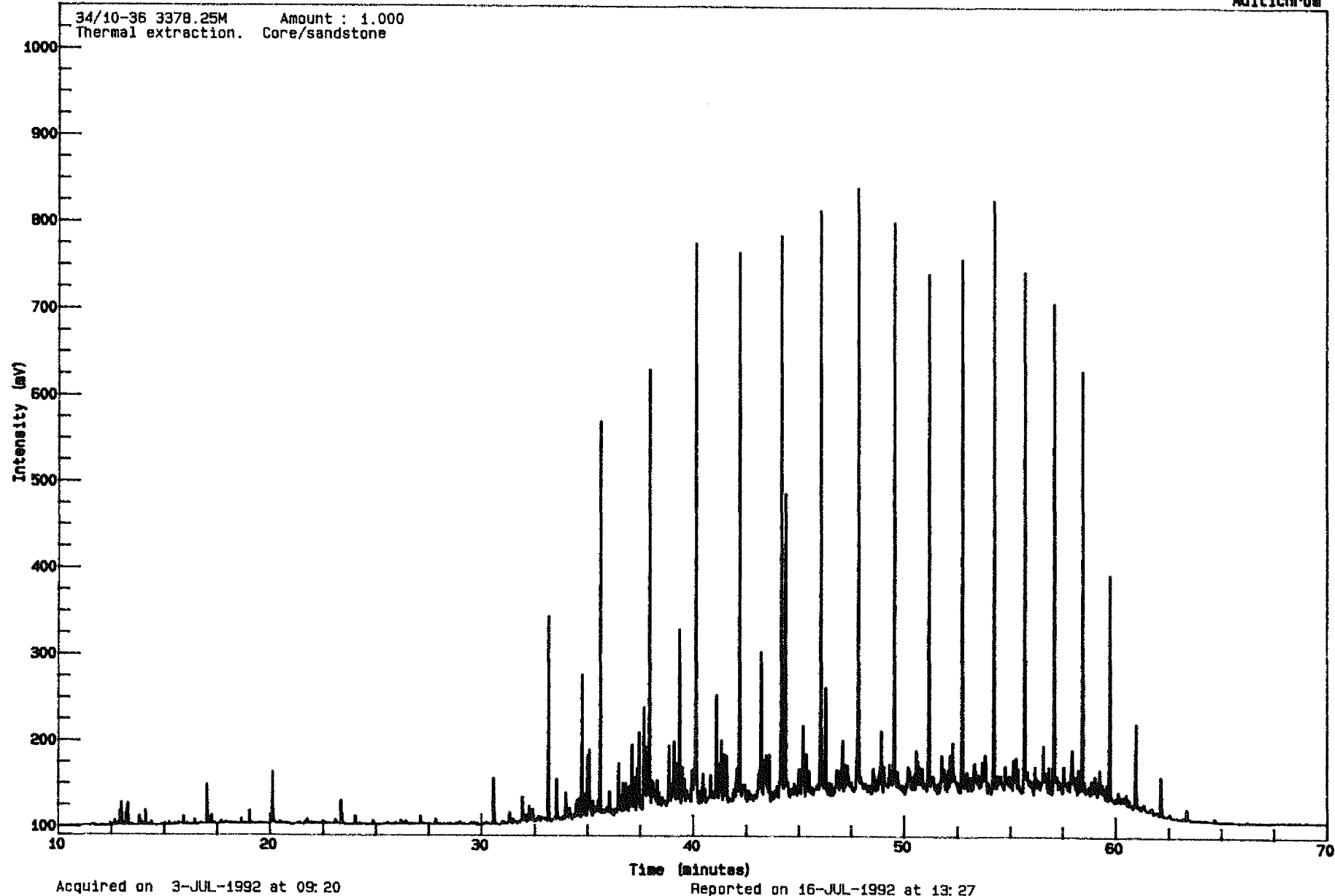
Analysis Name : [GEOKJEMI] 1 S6040, 1, 1.

Multichrom



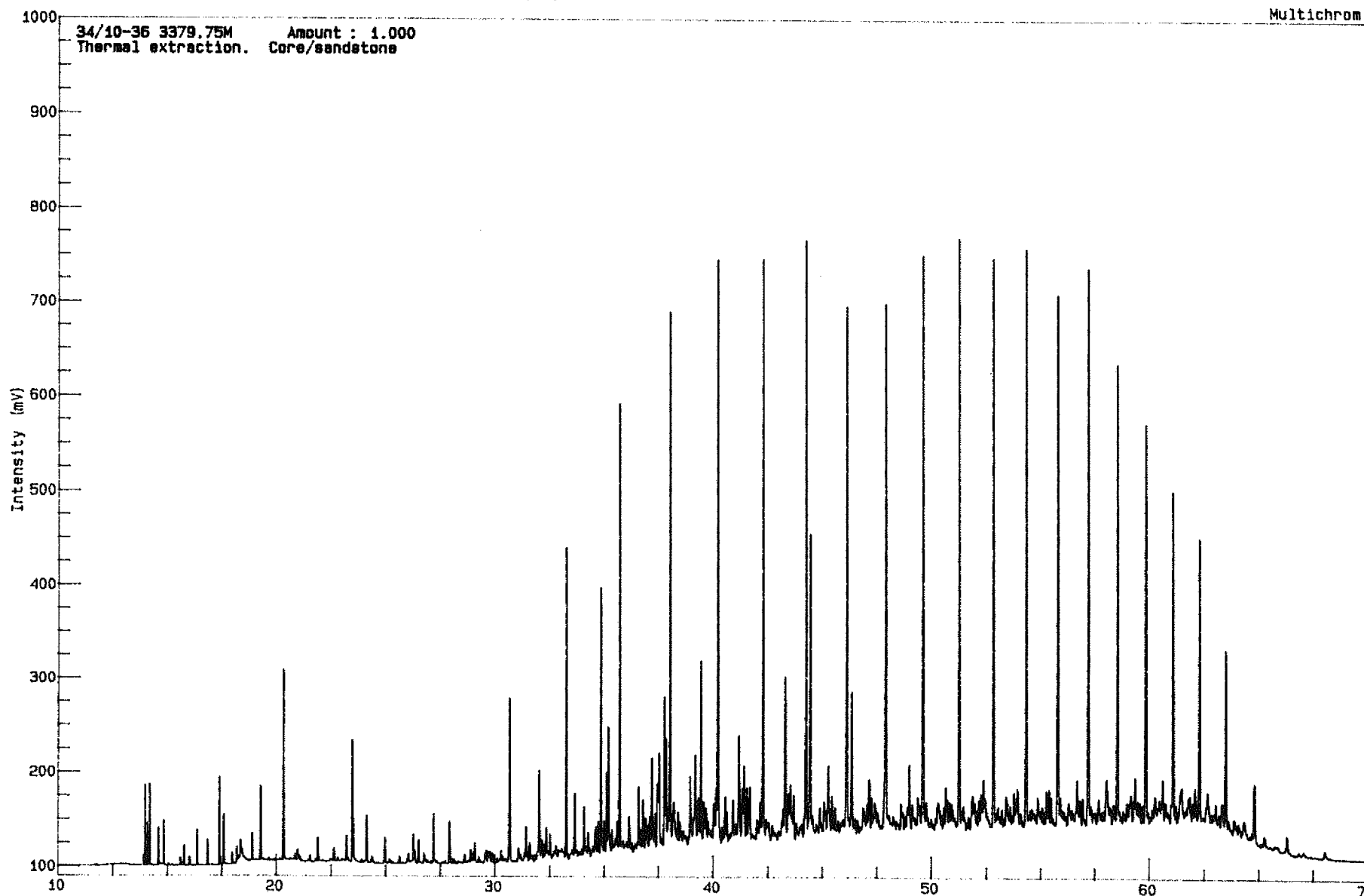
Analysis Name : [GEOKJEMI] 1 S6042, 1, 1.

Multichrom



Analysis Name : [GEOKJEMI] 1 S6045.1, 1.

Multichrom



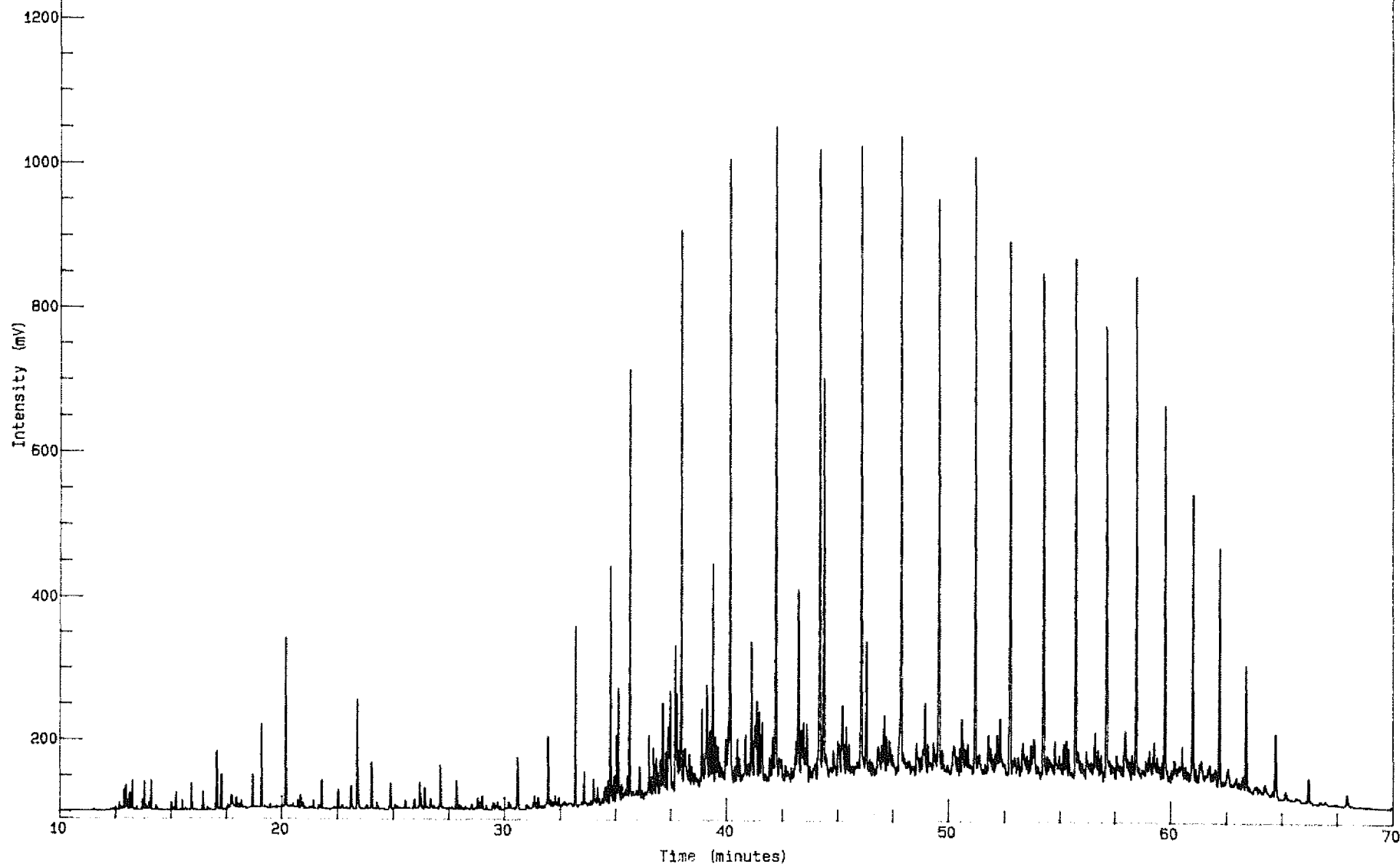
Acquired on 30-JUN-1992 at 15:39

Reported on 2-JUL-1992 at 13:04

Analysis Name : [GEOKJEMI] 1 S6052.1.1.

Multichrom

34/10-36 3383.25M Amount : 1.000
Thermal extraction. Core/sandstone

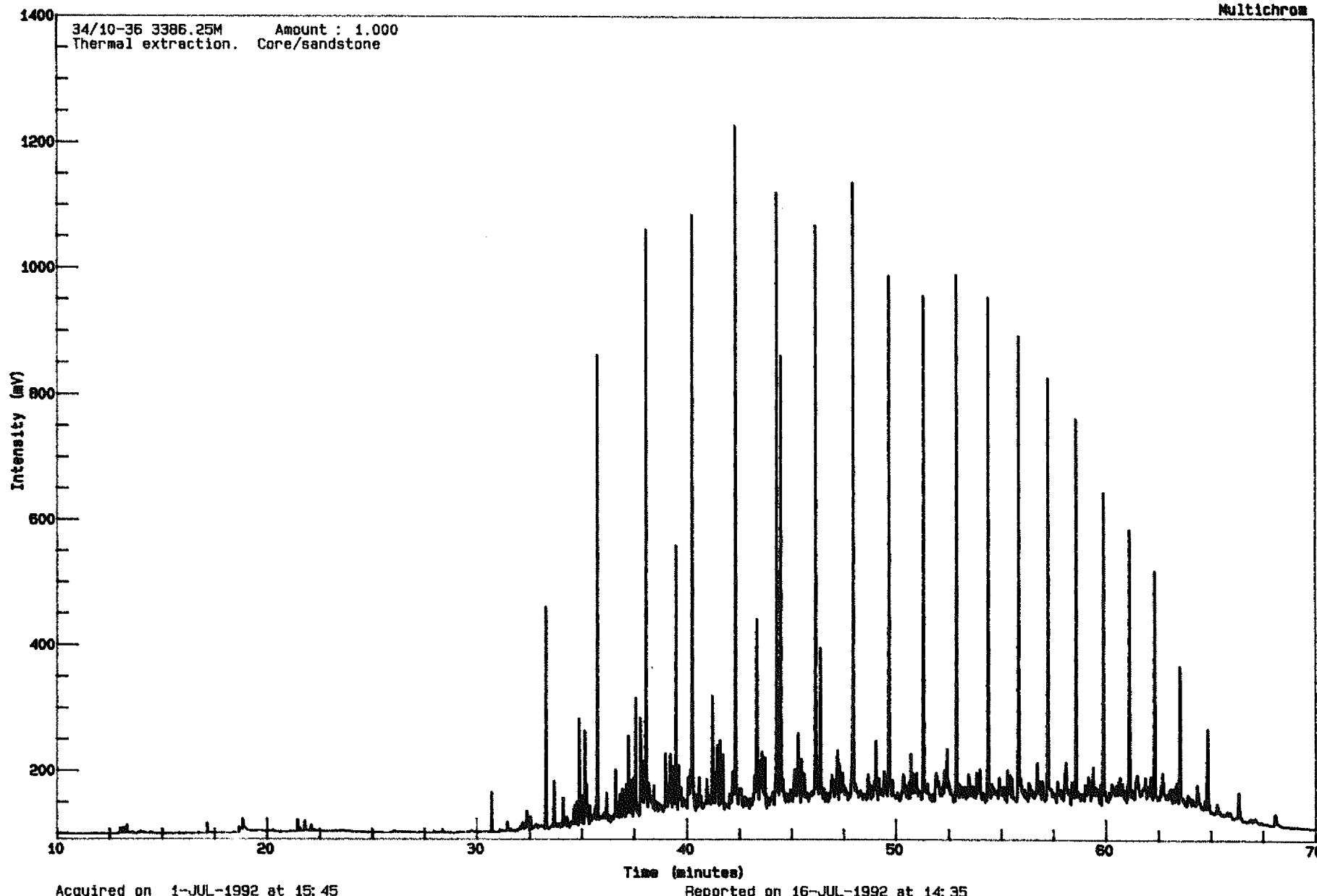


Acquired on 1-JUL-1992 at 14:12

Reported on 2-JUL-1992 at 15:16

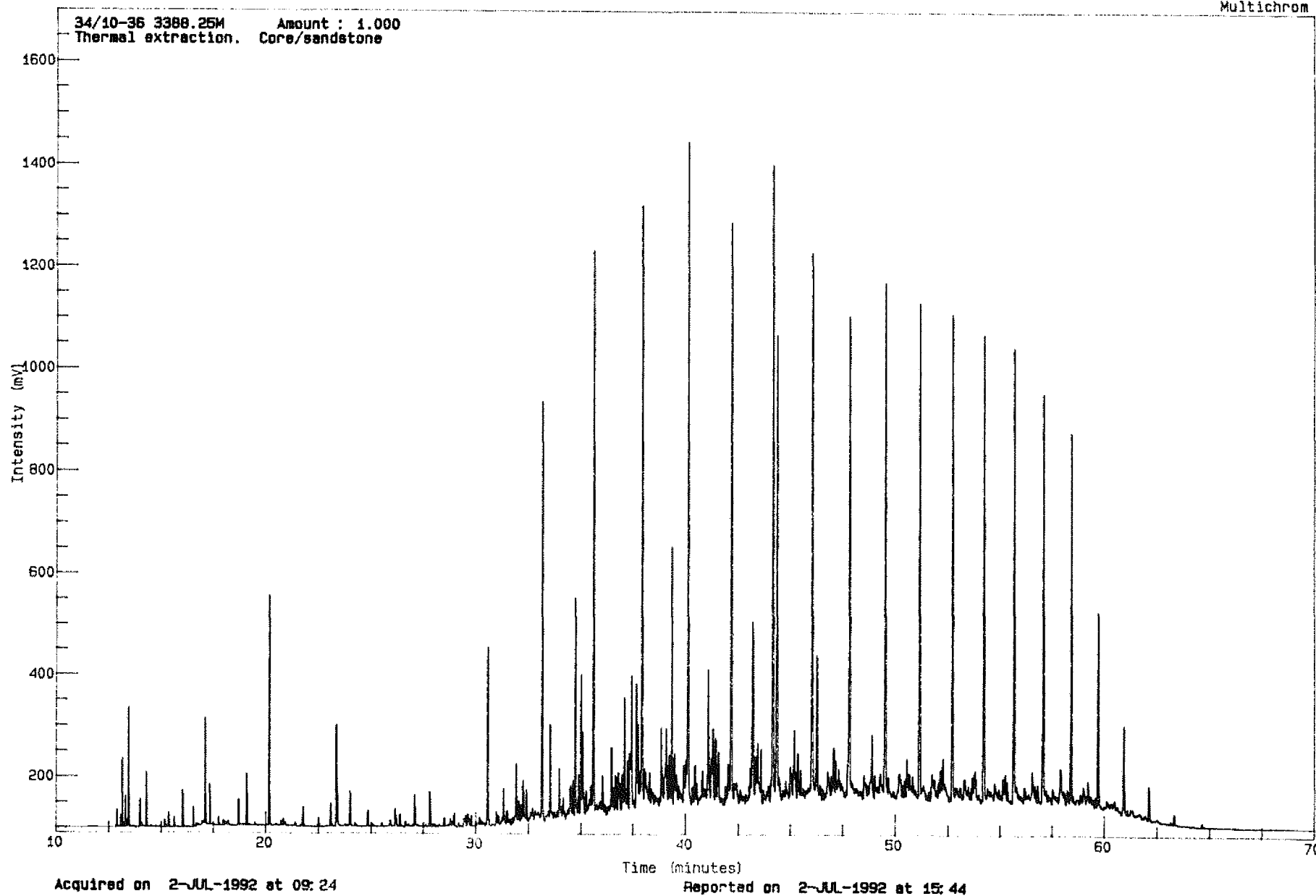
Analysis Name : [GEOKJEMI] 1 S6057, 1, 1.

Multichrom



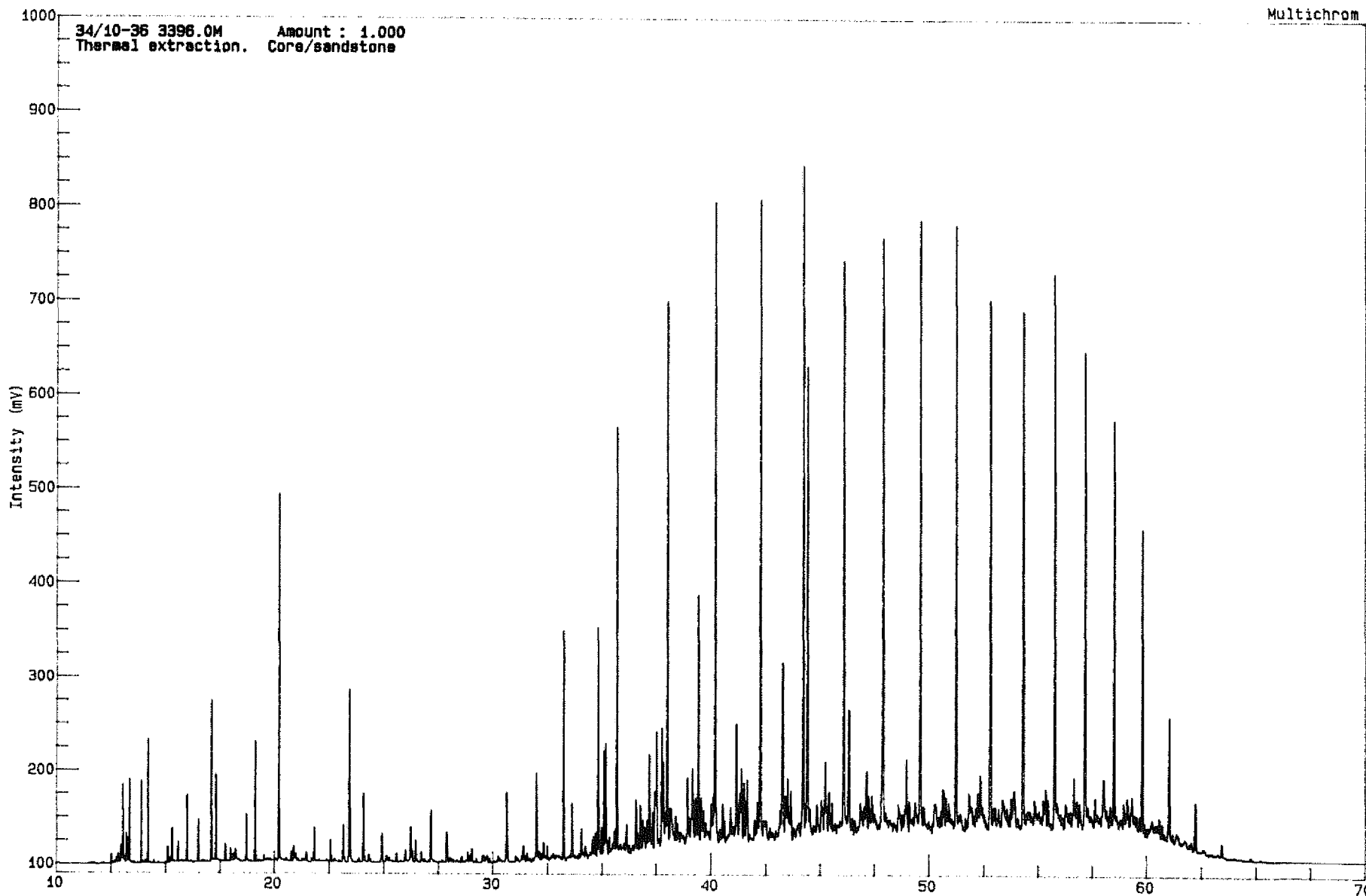
Analysis Name : [GEOKJEMI] 1 S6059, 1, 1.

Multichrom



Analysis Name : [GEOKJEMI] 1 S6068, 1, 1.

Multichrom

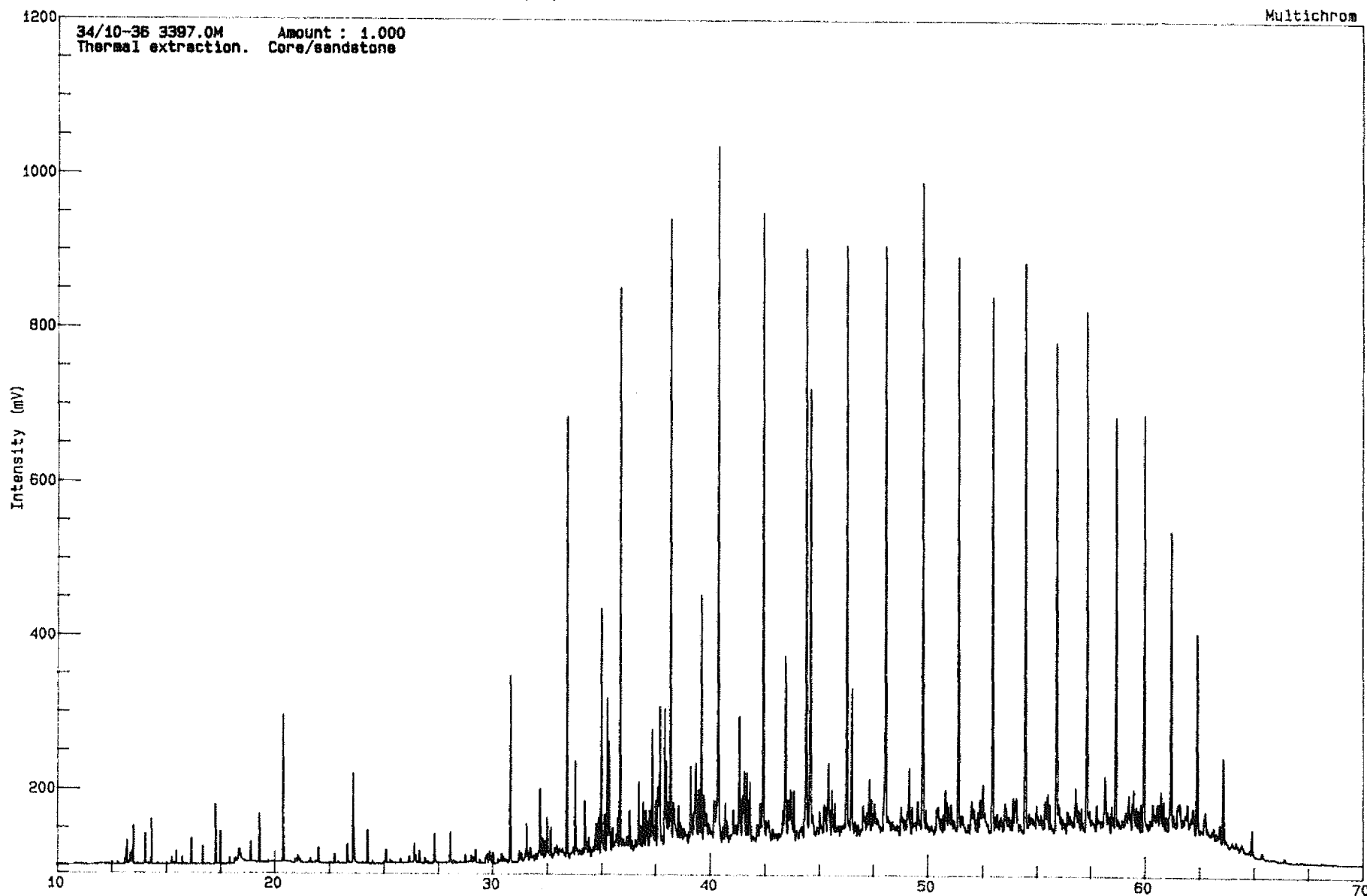


Acquired on 2-JUL-1992 at 10:57

Reported on 2-JUL-1992 at 15:55

Analysis Name : [GEOKJEMI] 1 S6069, 1, 1.

Multichrom

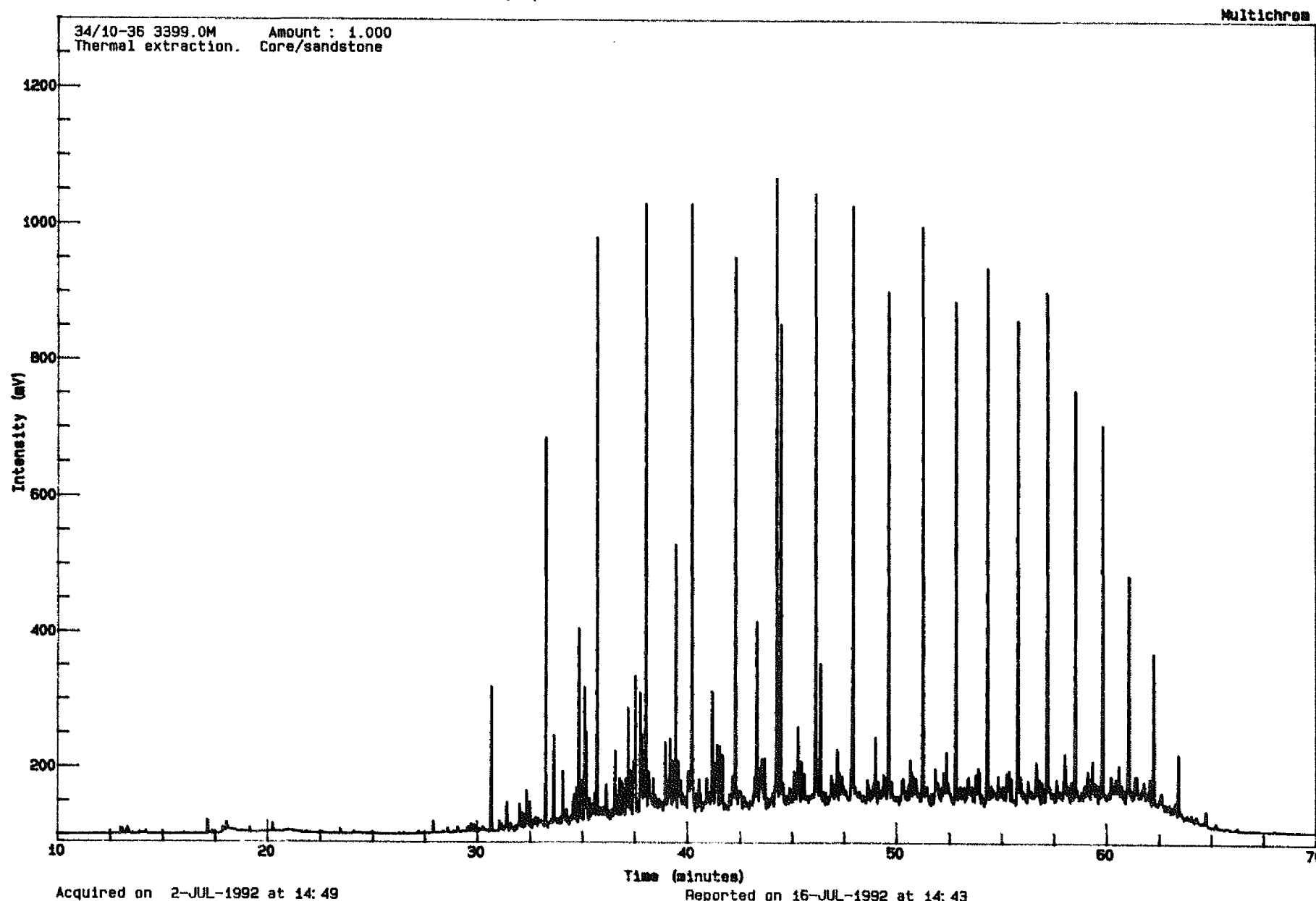


Acquired on 2-JUL-1992 at 13:02

Reported on 2-JUL-1992 at 16:05

Analysis Name : [GEOKJEMI] 1 S6071, 1, 1.

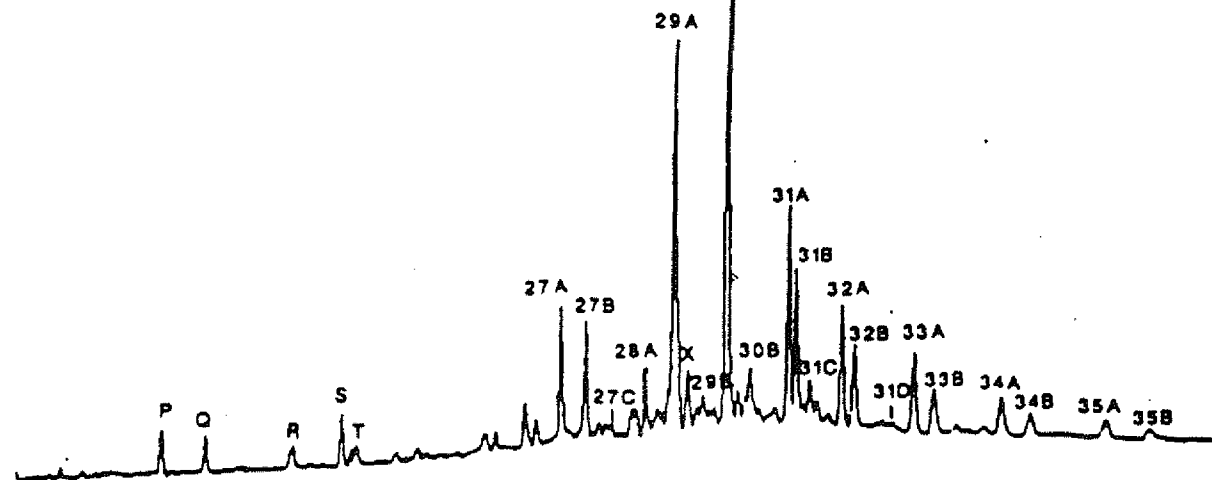
Multichrom



APPENDIKS B
MASSEFRAGMENTOGRAMMER

STANDARD

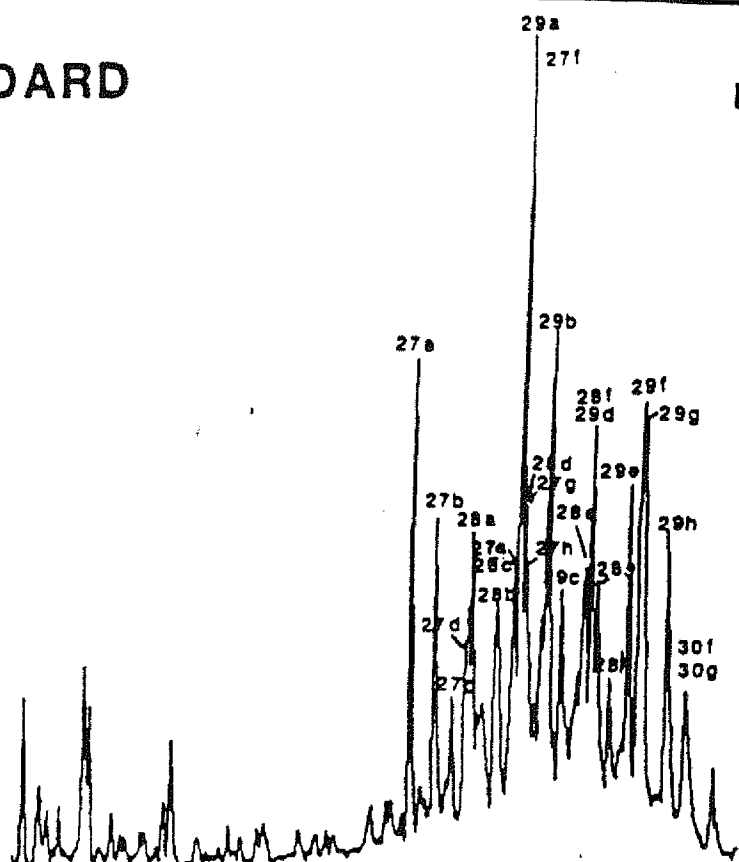
m/z 191



P	C ₂₃ H ₄₂ Tricyclic terpane	31A	17 α (H), 21 β (H)-homohopane-22S
Q	C ₂₄ H ₄₄ Tricyclic terpane	31B	17 α (H), 21 β (H)-homohopane-22R
R	C ₂₅ H ₄₆ Tricyclic terpane	31C	17 β (H), 21 α (H)-homohopane
S	C ₂₄ H ₄₂ Tetracyclic terpane	31D	17 β (H), 21 β (H)-homohopane
T	C ₂₆ H ₄₈ tricyclic terpane	32A	17 α (H), 21 β (H)-bishomohopane-22S
27A	17 α (H)-22,29,30-trisnorhopane	32B	17 α (H), 21 β (H)-bishomohopane-22R
27B	17 α (H)-21,29,30-trisnorhopane	33A	17 α (H), 21 β (H)-trishomohopane-22S
27C	17 α (H)-22,29,30-trisnorhopane	33B	17 α (H), 21 β (H)-trishomohopane-22R
28A	17 α (H), 21 β (H)-28,30-bisnorhopane	34A	17 α (H), 21 β (H)-tetrakishomohopane-22S
28B	17 β (H), 21 α (H)-28,30-bisnormortane	34B	17 α (H), 21 β (H)-tetrakishomohopane-22R
28C	17 β (H), 21 β (H)-28,30-bisnorhopane		
29A	17 α (H), 21 β (H)-30-norhopane	35A	17 α (H), 21 β (H)-pentakishomohopane-22S
29B	17 β (H), 21 α (H)-30-normortane	35B	17 α (H), 21 β (H)-pentakishomohopane-22R
X	Unknown hopane		
30A	17 α (H), 21 β (H)-30-hopane		
30B	17 β (H), 21 α (H)-30-mortane		
30C	17 β (H), 21 β (H)-30-hopane		

STANDARD

m/z 217



m/z 217

	C27	C28	C29	C30
s	24	s	24	s
t	-	t	-	t
e	m	e	e	p
r	e	r	t	r
a	t	a	h	a
n	h	n	y	n
e	y	e	i	y
	1	1	1	1

13 β (H), 17 α (H)-diasterane-20S 27a 28a 29a 30a

13 β (H), 17 α (H)-diasterane-20R 27b 28b 29b 30b

13 α (H), 17 β (H)-diasterane-20S 27c 28c 29c 30c

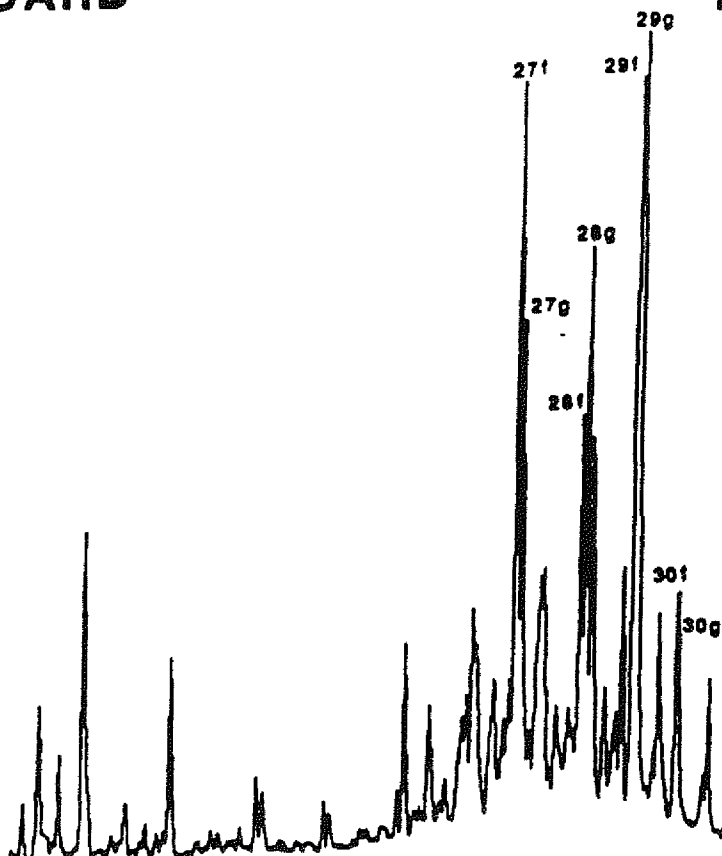
13 α (H), 17 β (H)-diasterane-20R 27d 28d 29d 30d

5 α (H), 14 α (H), 17 α (H)-sterane-20S 27e 28e 29e 30e

5 α (H), 14 β (H), 17 β (H)-sterane-20R 27f 28f 29f 30f

5 α (H), 14 β (H), 17 β (H)-sterane-20S 27g 28g 29g 30g

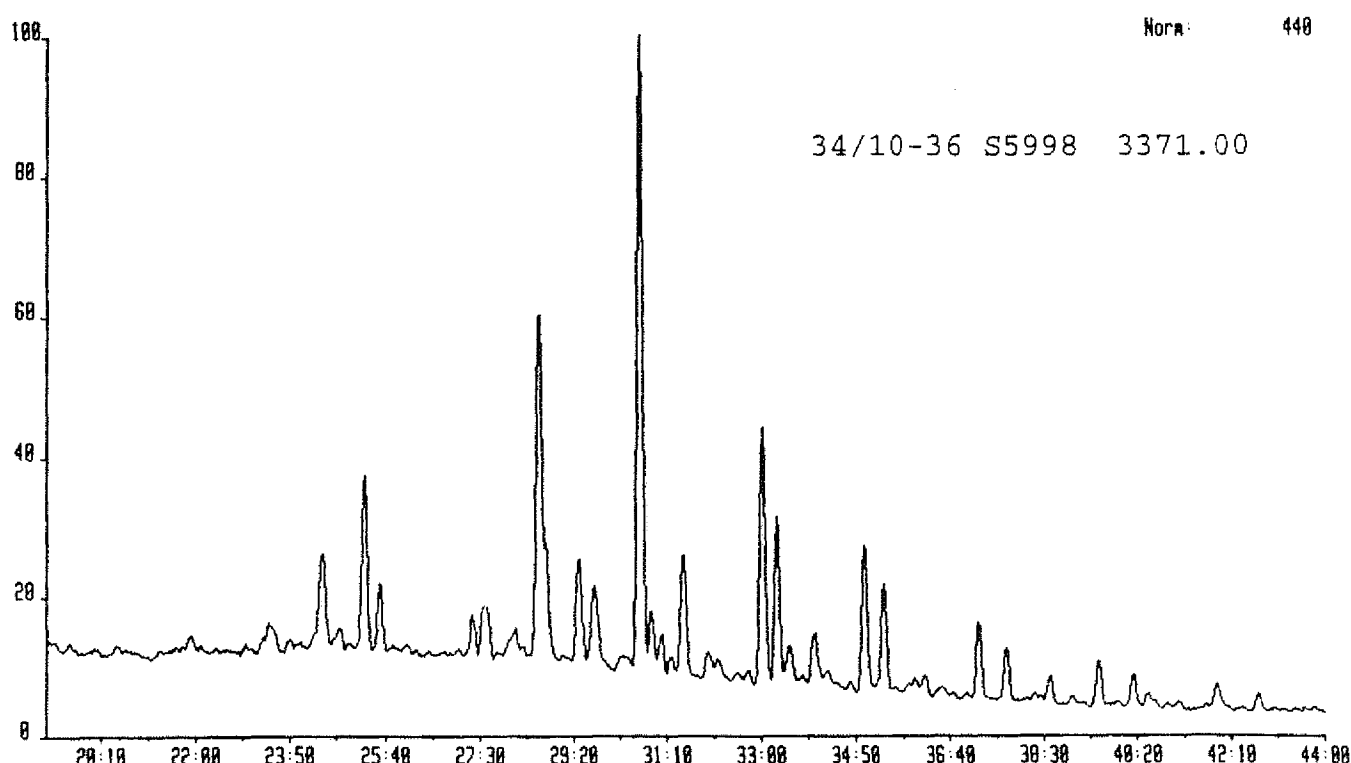
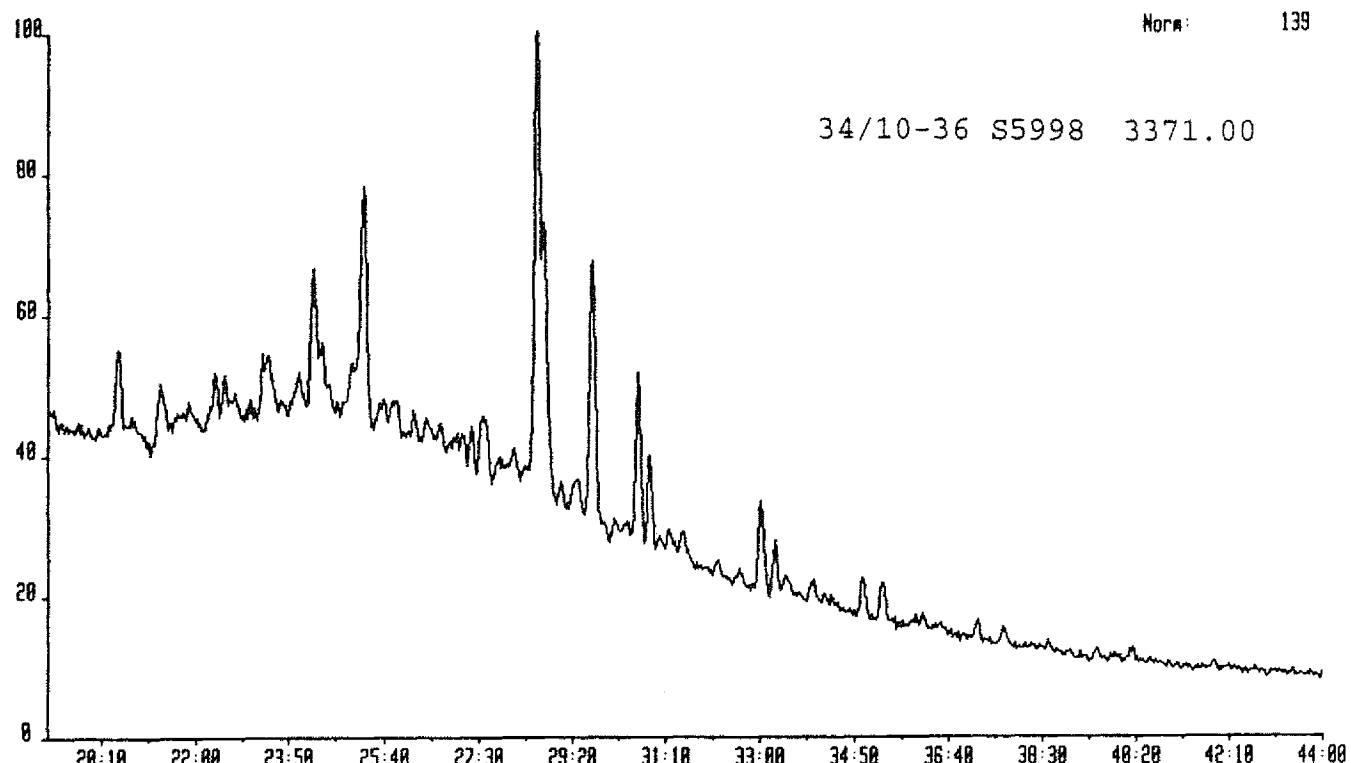
5 α (H), 14 α (H), 17 α (H)-sterane-20R 27h 28h 29h 30h

STANDARD**m/z 218**m/z 218

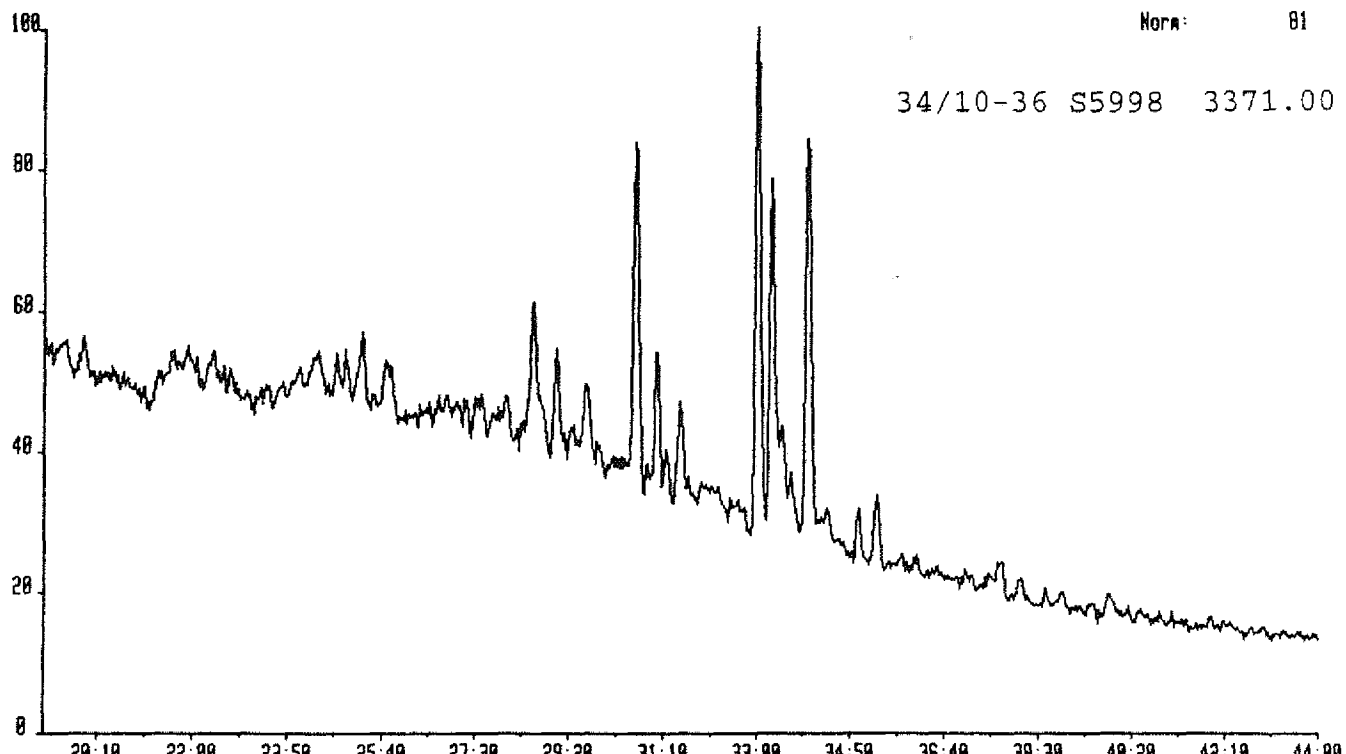
C27	C28	C29	C30
S	24 s	24 s	24 s
t	-t	-t	-t
e	ee	ee	ee
r	er	er	er
a	ta	ha	ra
n	hn	yn	on
e	ye	le	pe
	l	l	l

5 α (H),14 β (H),17 β (H)-sterane-20R 27f 28f 29f 30f
5 α (H),14 β (H),17 β (H)-sterane-20S 27g 28g 29g 30g

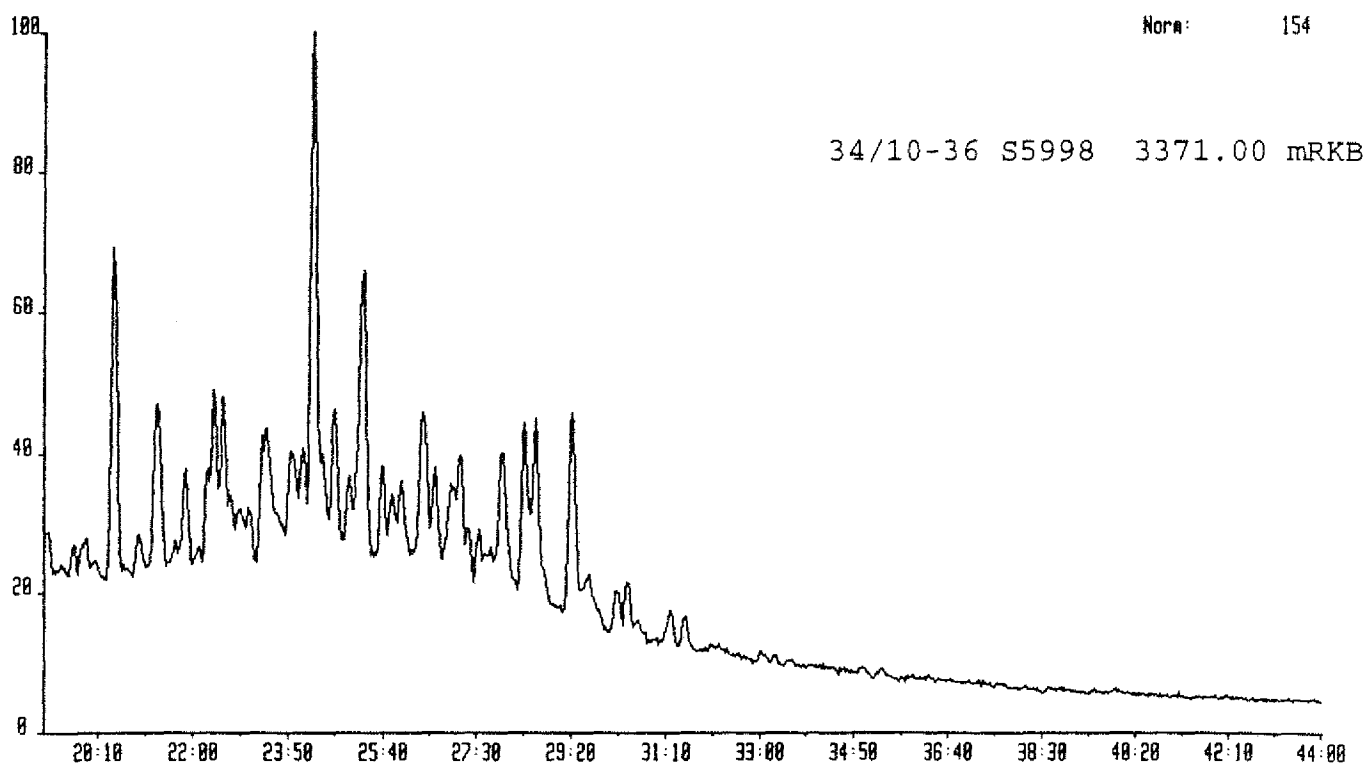
S5998 19-AUG-92 Str:Magnetic TS250 Sys: LRPBIO
Sample 1 Injection 1 Group 1 Mass 177.1640
Text:LRP BIOMARKER



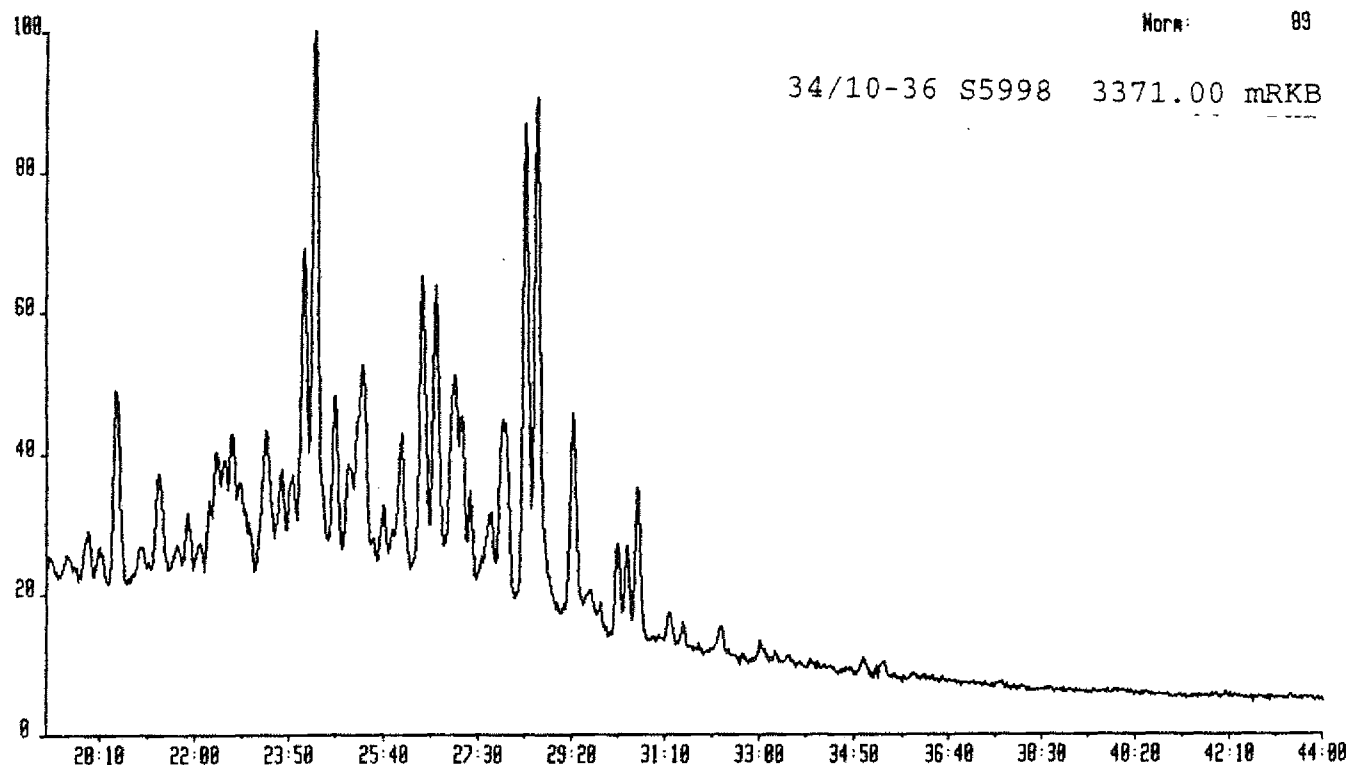
S5998 19-AUG-92 Sir:Magnetic TS250 Sys: LRPBIO
Sample 1 Injection 1 Group 1 Mass 205.1950
Text:LRP BIOMARKER



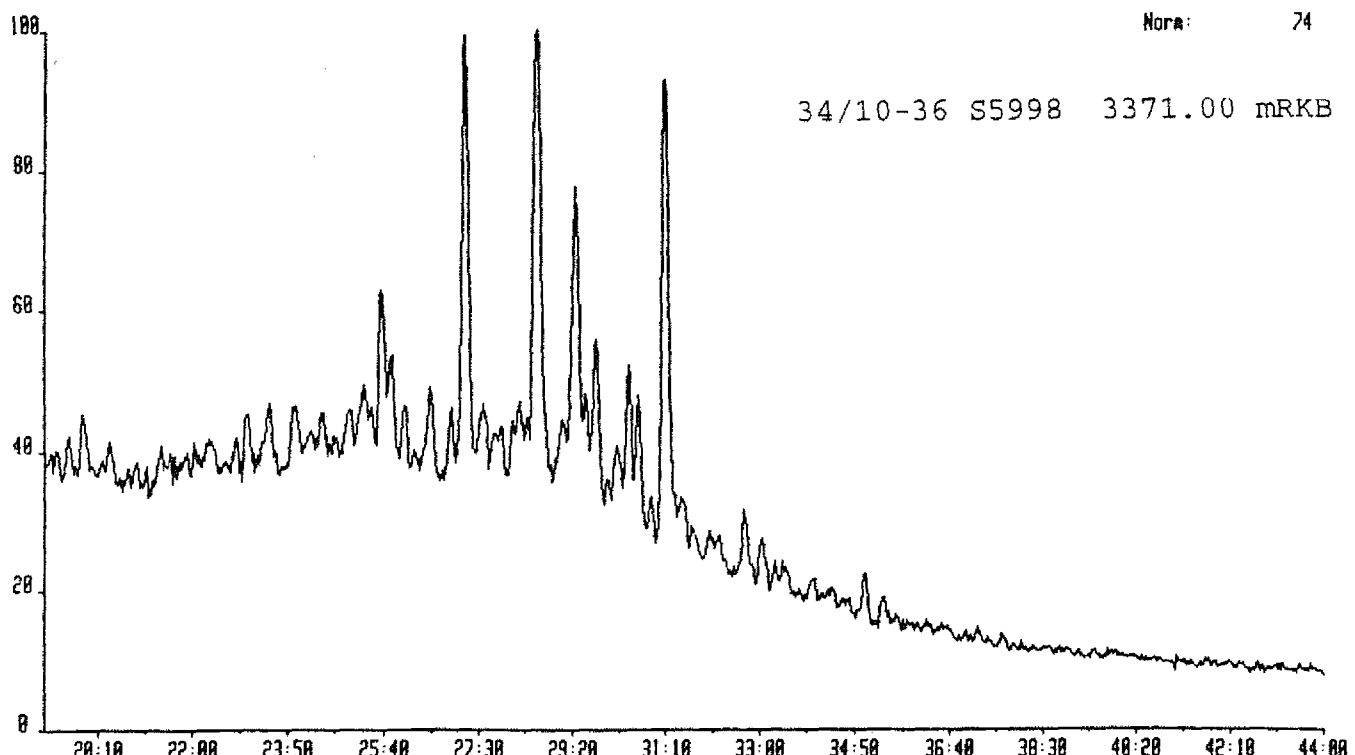
S5998 19-AUG-92 Sir:Magnetic TS250 Sys: LRPBIO
Sample 1 Injection 1 Group 1 Mass 217.1950
Text:LRP BIOMARKER



S5998 19-AUG-92 Sir:Magnetic TS250 Sys: LRPB10
Sample 1 Injection 1 Group 1 Mass 218.2030
Text:LRP BIOMARKER



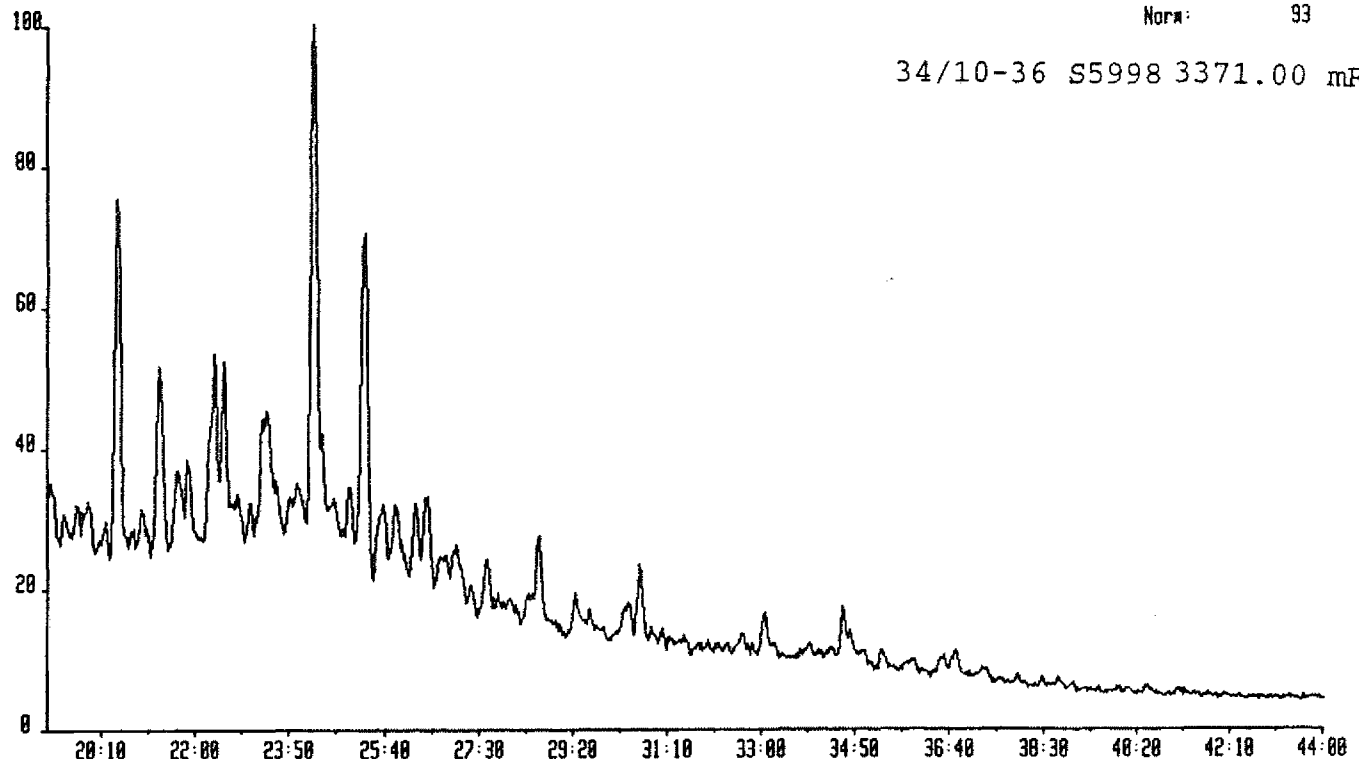
S5998 19-AUG-92 Sir:Magnetic TS250 Sys: LRPB10
Sample 1 Injection 1 Group 1 Mass 231.2110
Text:LRP BIOMARKER



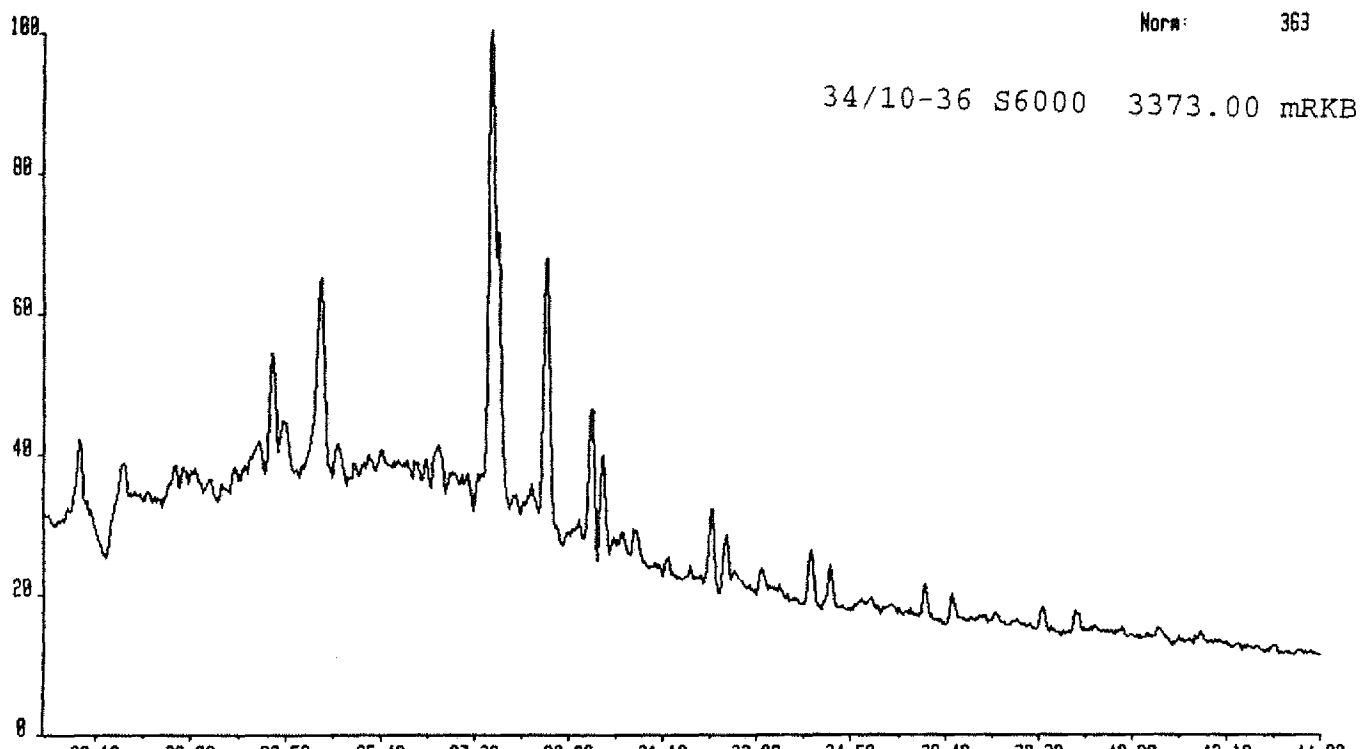
S5998 19-RUG-92 Sir:Magnetic TS250 Sys: LRPB10
Sample 1 Injection 1 Group 1 Mass 259.2420
Text:LRP BIGMARKER

Norm: 93

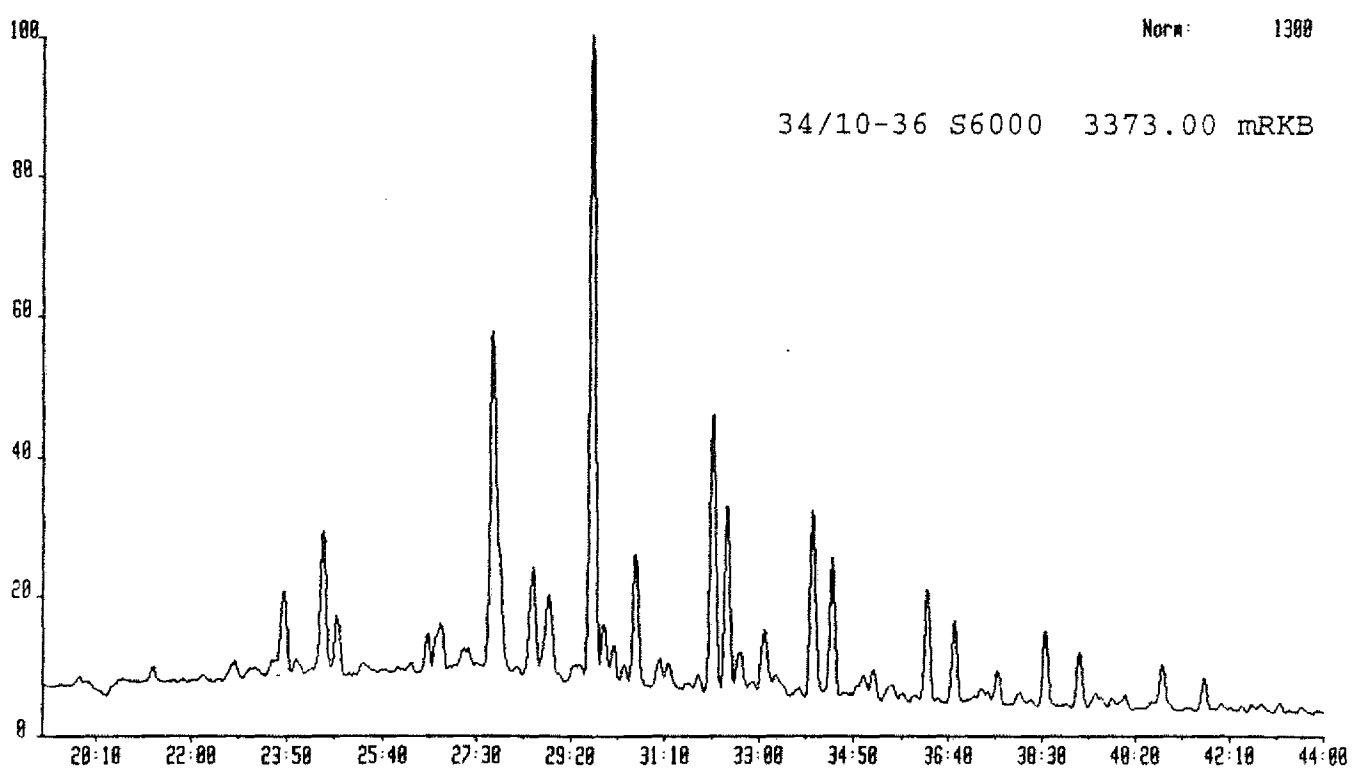
34/10-36 S5998 3371.00 mRF



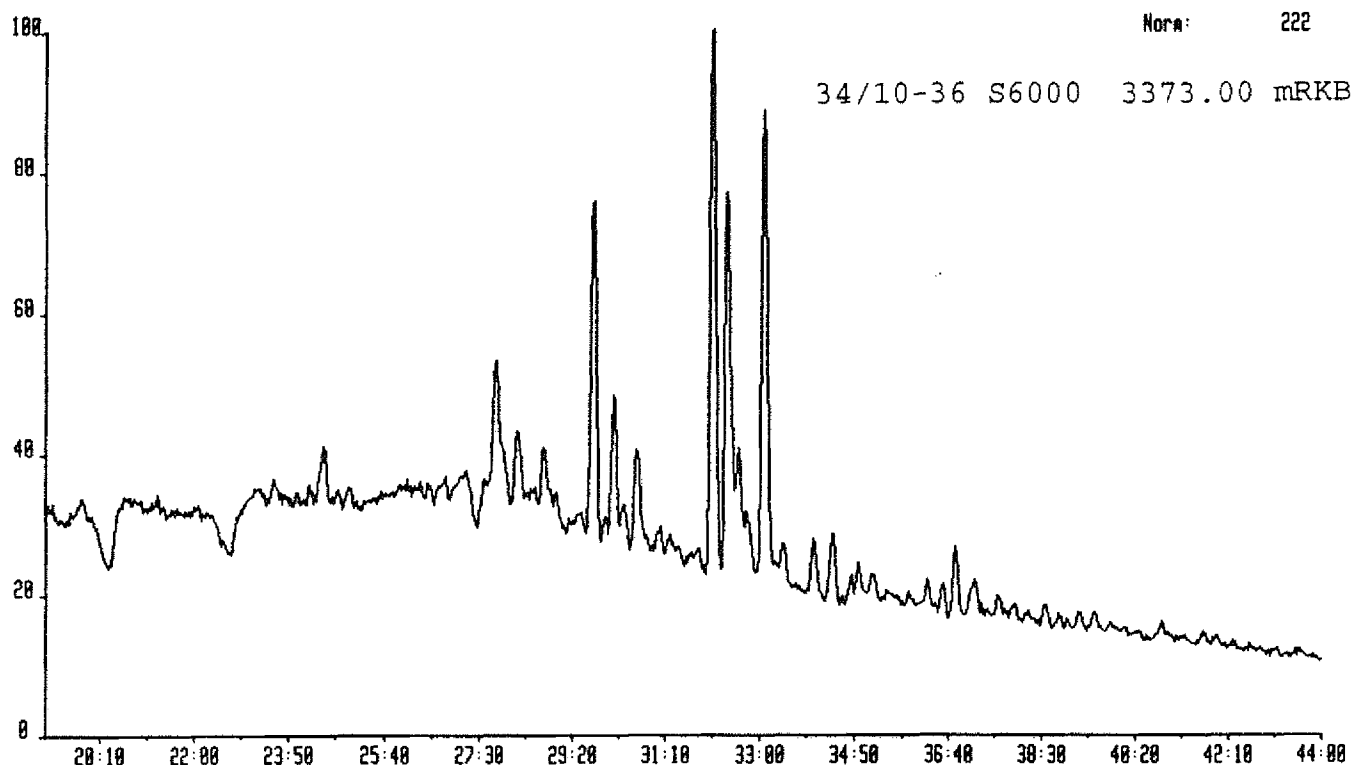
TERMBIO4 14-AUG-92 Sir:Magnetic TS250 Sys: LRPBIO
Sample 1 Injection 1 Group 1 Mass 177.1640
Text:LRP BIOMARKER



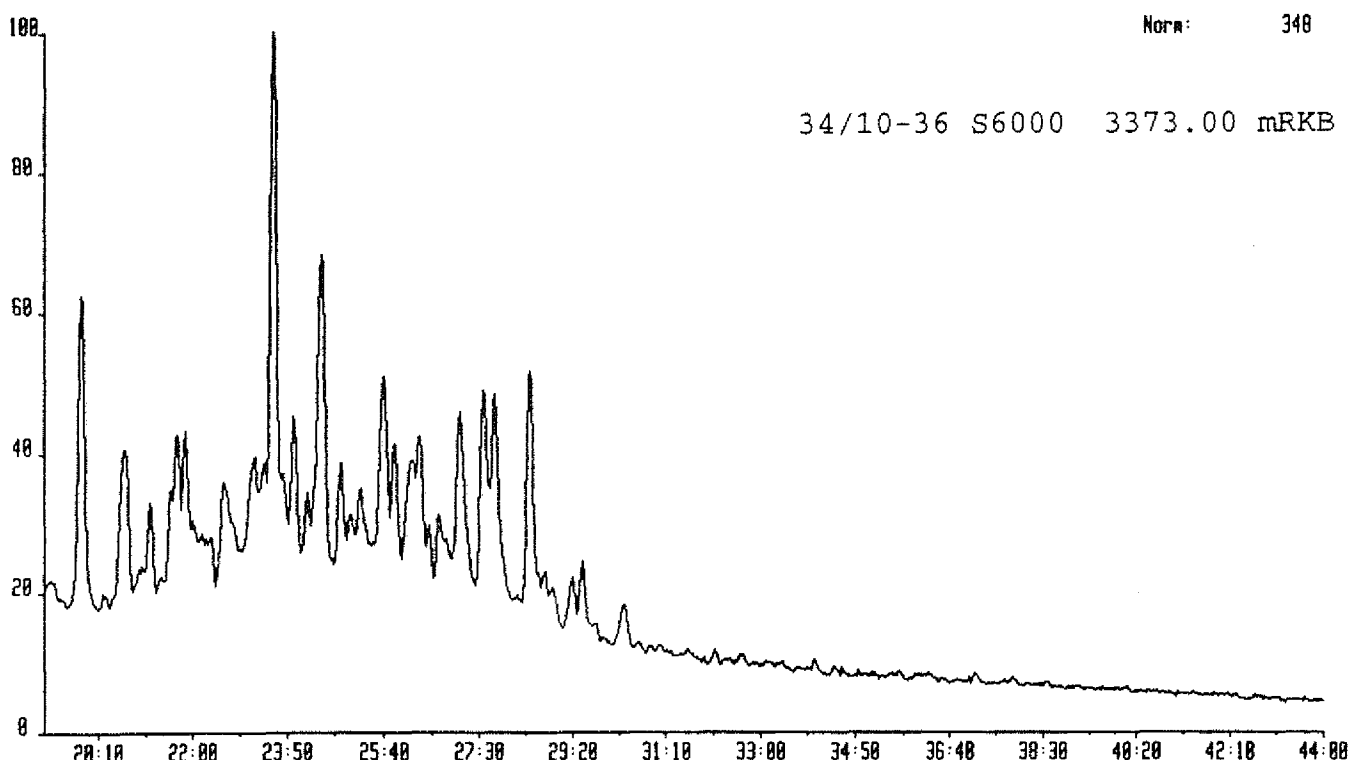
TERMBIO4 14-AUG-92 Sir:Magnetic TS250 Sys: LRPBIO
Sample 1 Injection 1 Group 1 Mass 191.1790
Text:LRP BIOMARKER



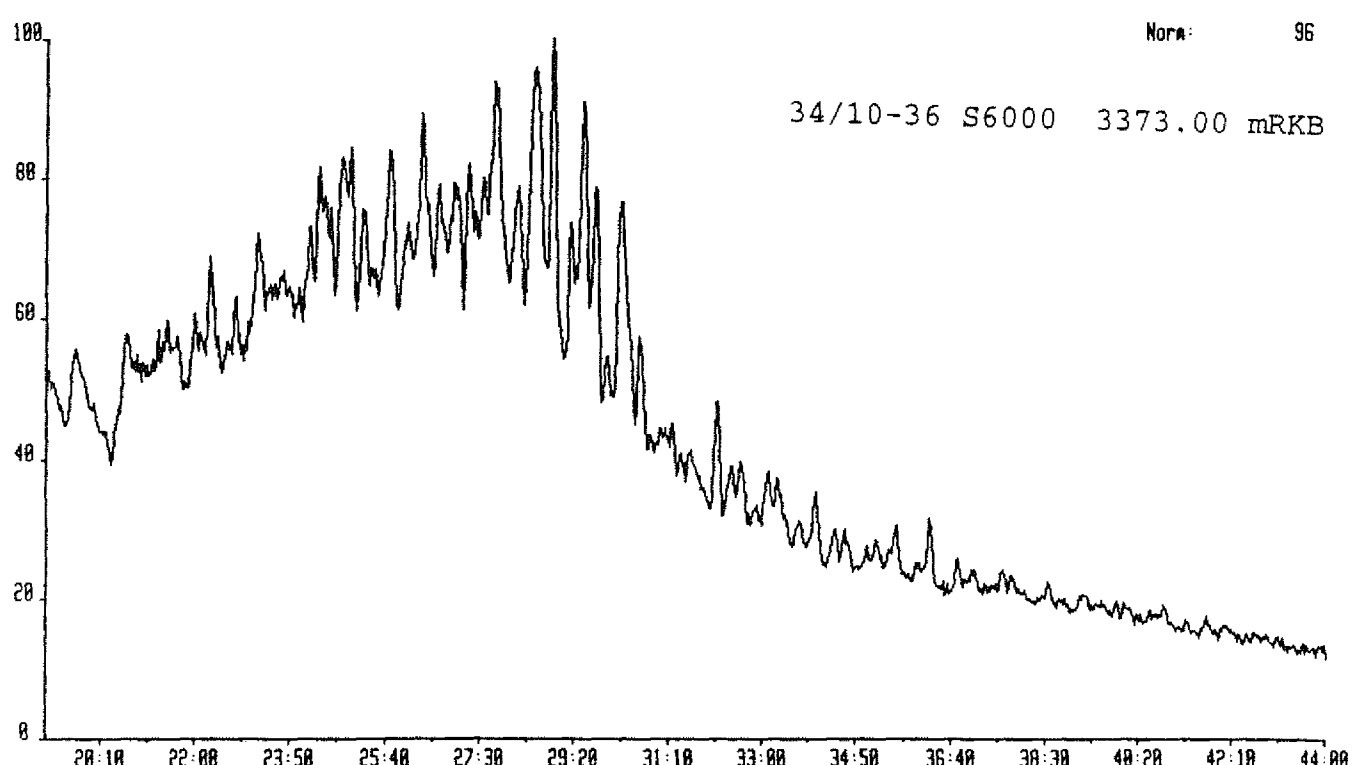
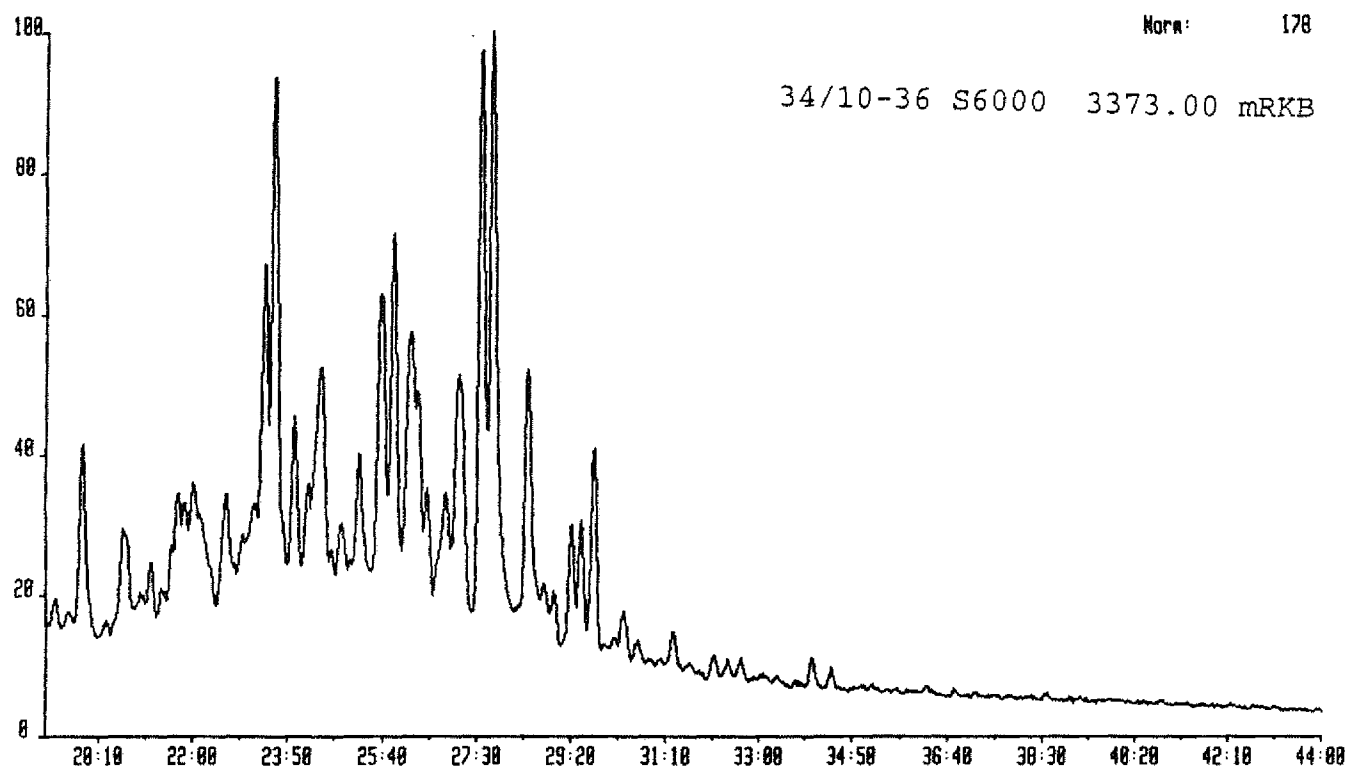
TERMBIO4 14-AUG-92 Sir:Magnetic TS250 Sys: LRPBIO
Sample 1 Injection 1 Group 1 Mass 285.1950
Text:LRP BIOMARKER



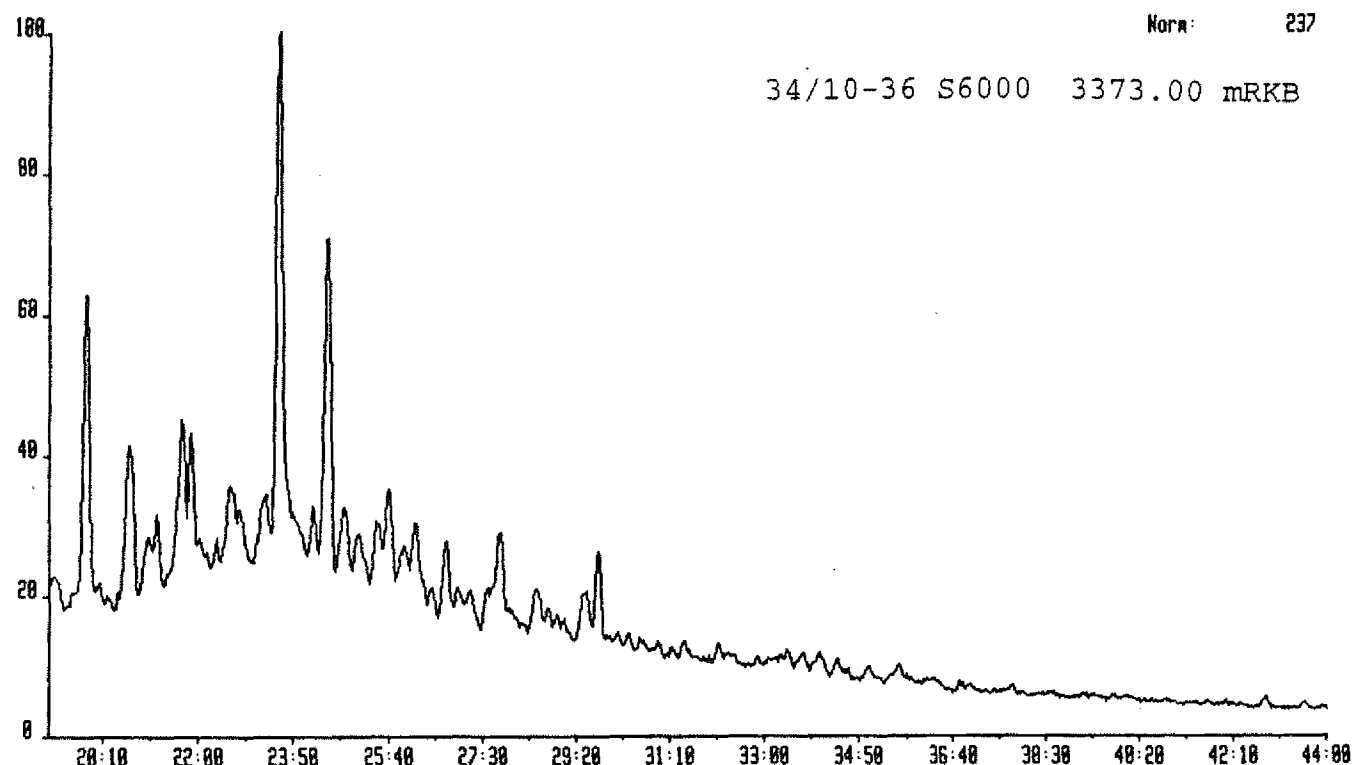
TERMBIO4 14-AUG-92 Sir:Magnetic TS250 Sys: LRPBIO
Sample 1 Injection 1 Group 1 Mass 217.1950
Text:LRP BIOMARKER



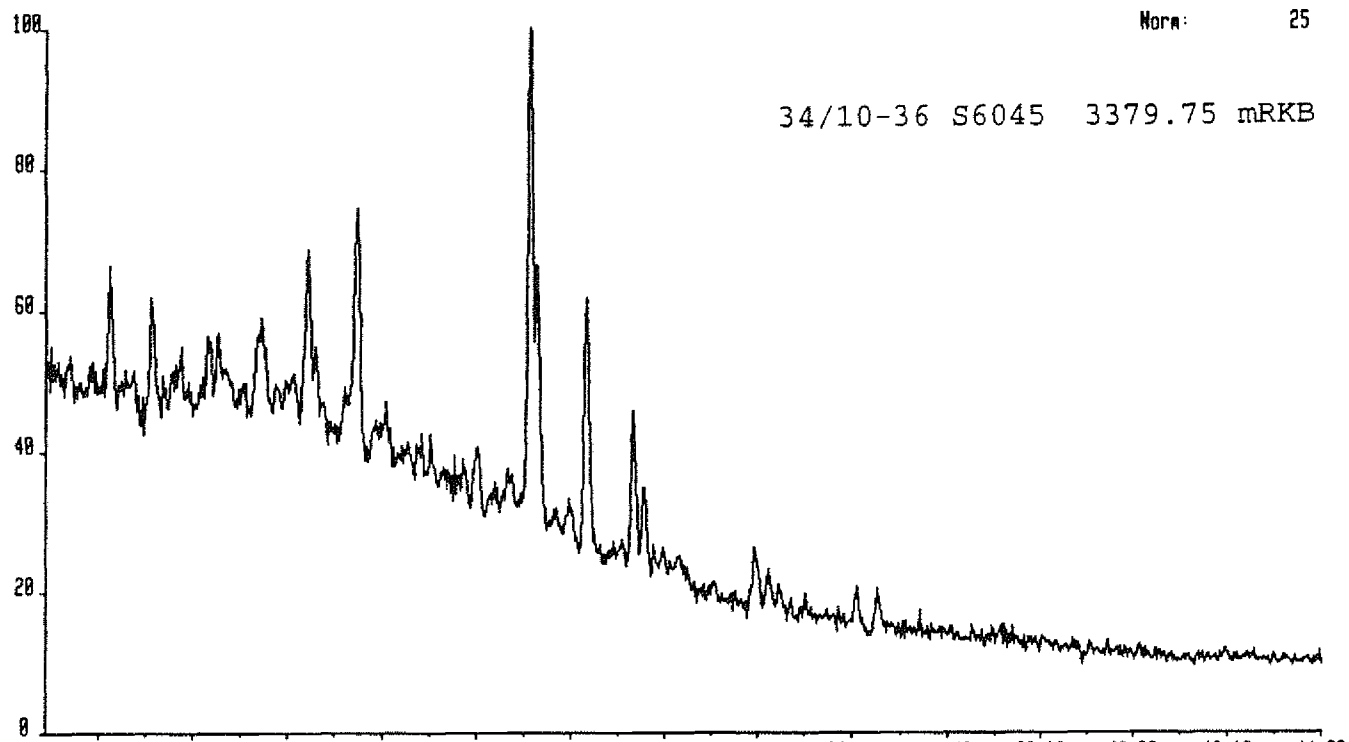
TERMBIO4 14-AUG-92 Sir:Magnetic TS250 Sys: LRPBIO
Sample 1 Injection 1 Group 1 Mass 218.2838
Text:LRP BIOMARKER



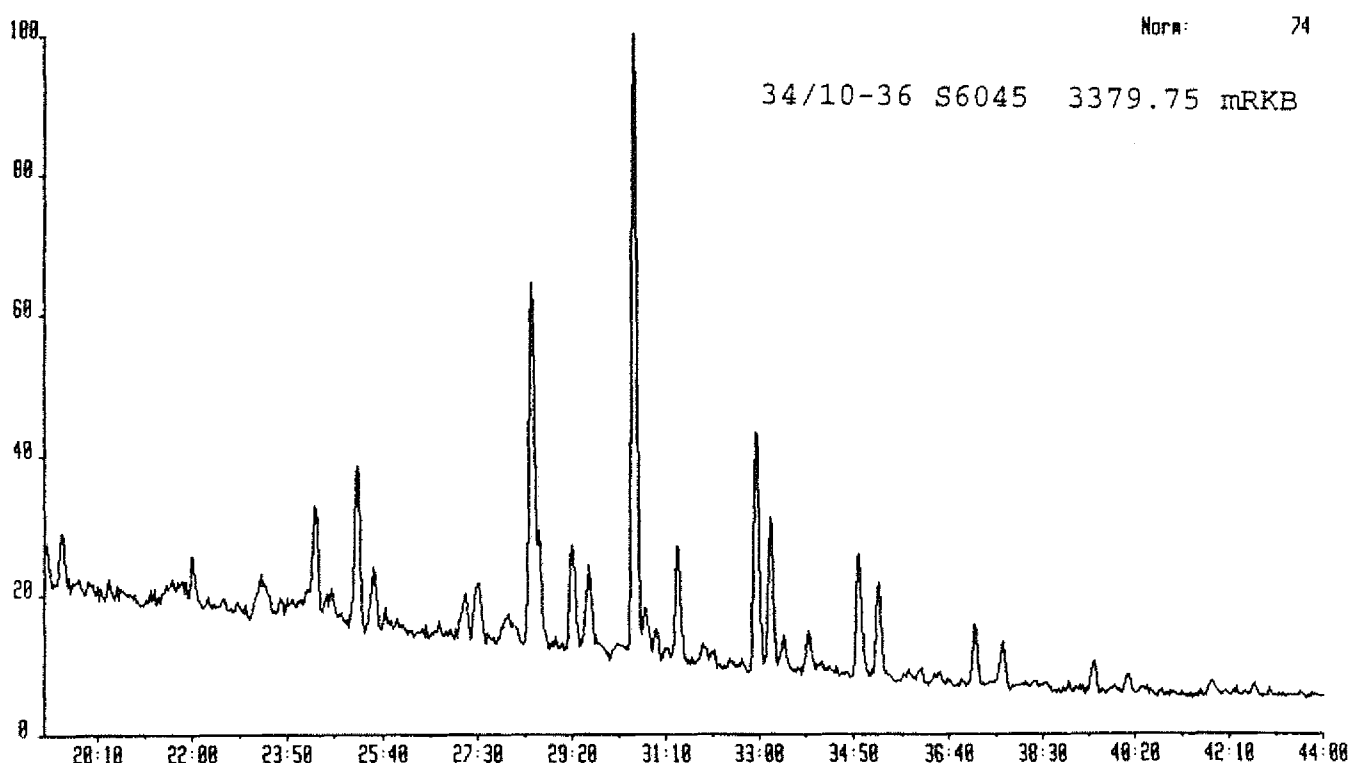
TERMBIO4 14-AUG-92 Sir:Magnetic TS250 Sys: LRPBIO
Sample 1 Injection 1 Group 1 Mass 259.2420
Text:LRP BIOMARKER



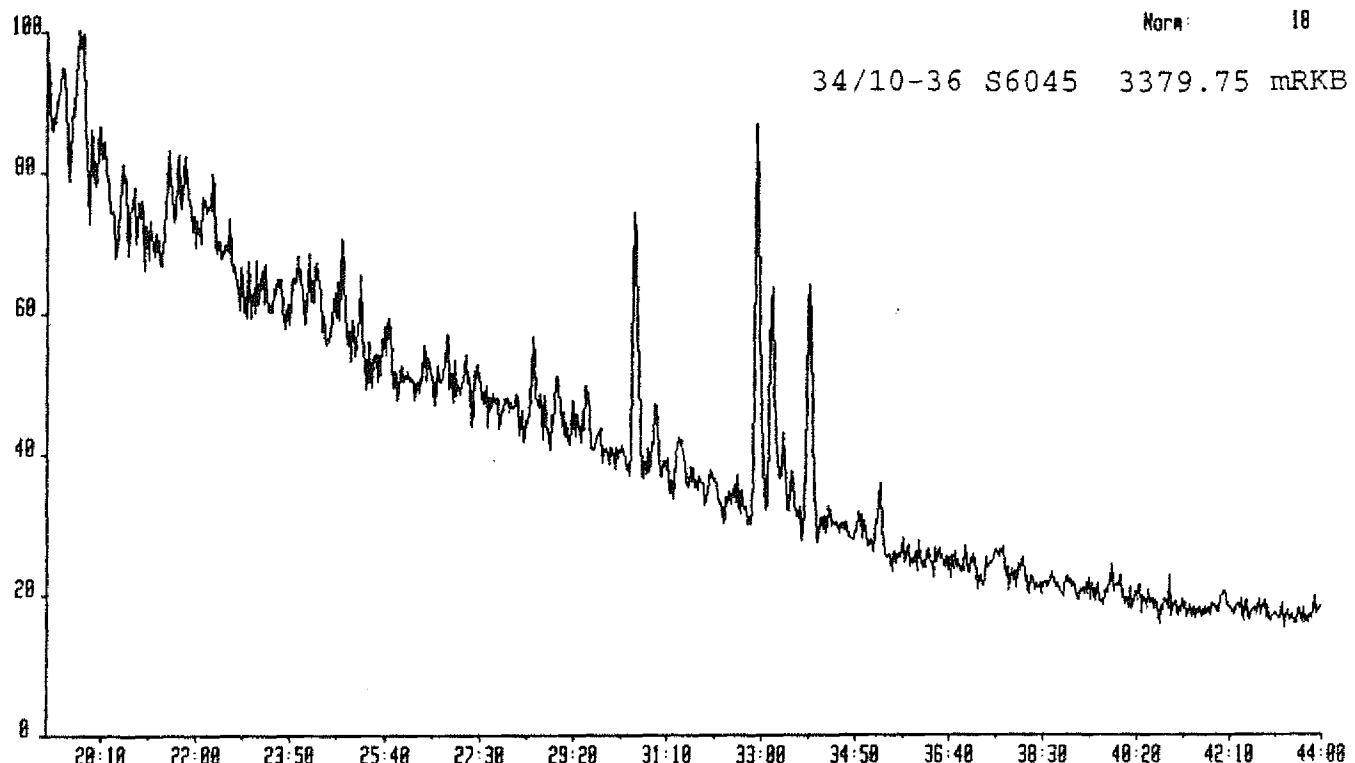
S6045 19-AUG-92 Sir:Magnetic TS250 Sys: LRPBIO
Sample 1 Injection 1 Group 1 Mass 177.1640
Text:LRP BIOMARKER



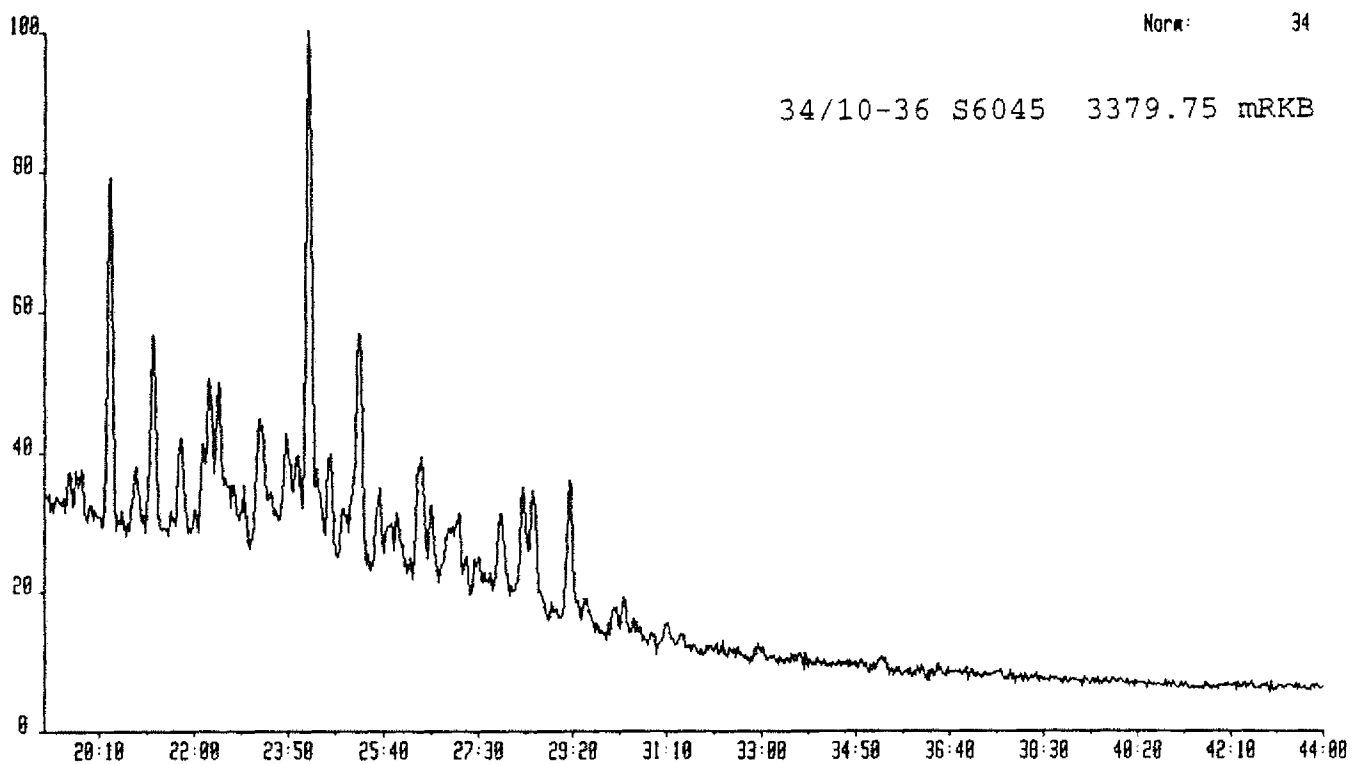
S6045 19-AUG-92 Sir:Magnetic TS250 Sys: LRPBIO
Sample 1 Injection 1 Group 1 Mass 191.1790
Text:LRP BIOMARKER



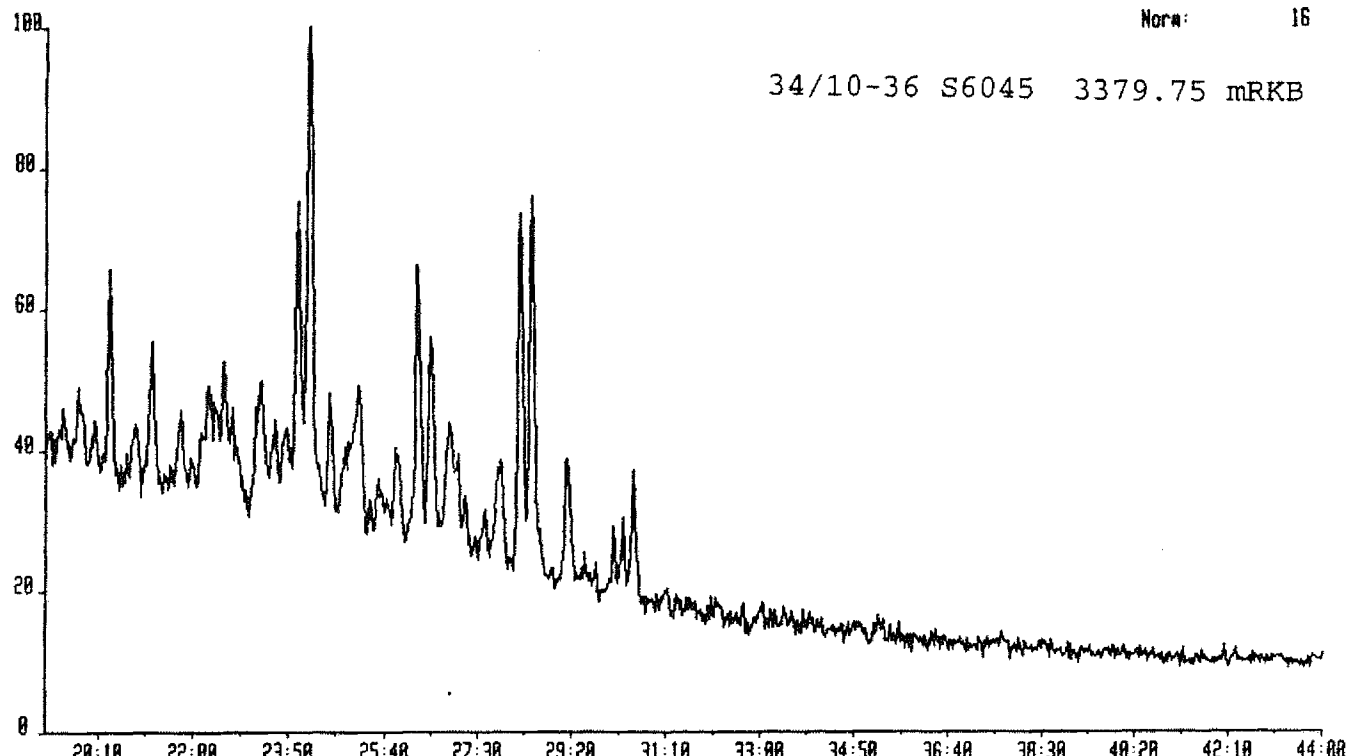
S6045 19-AUG-92 Sir:Magnetic TS250 Sys: LRPB10
Sample 1 Injection 1 Group 1 Mass 205.1958
Text:LRP BIOMARKER



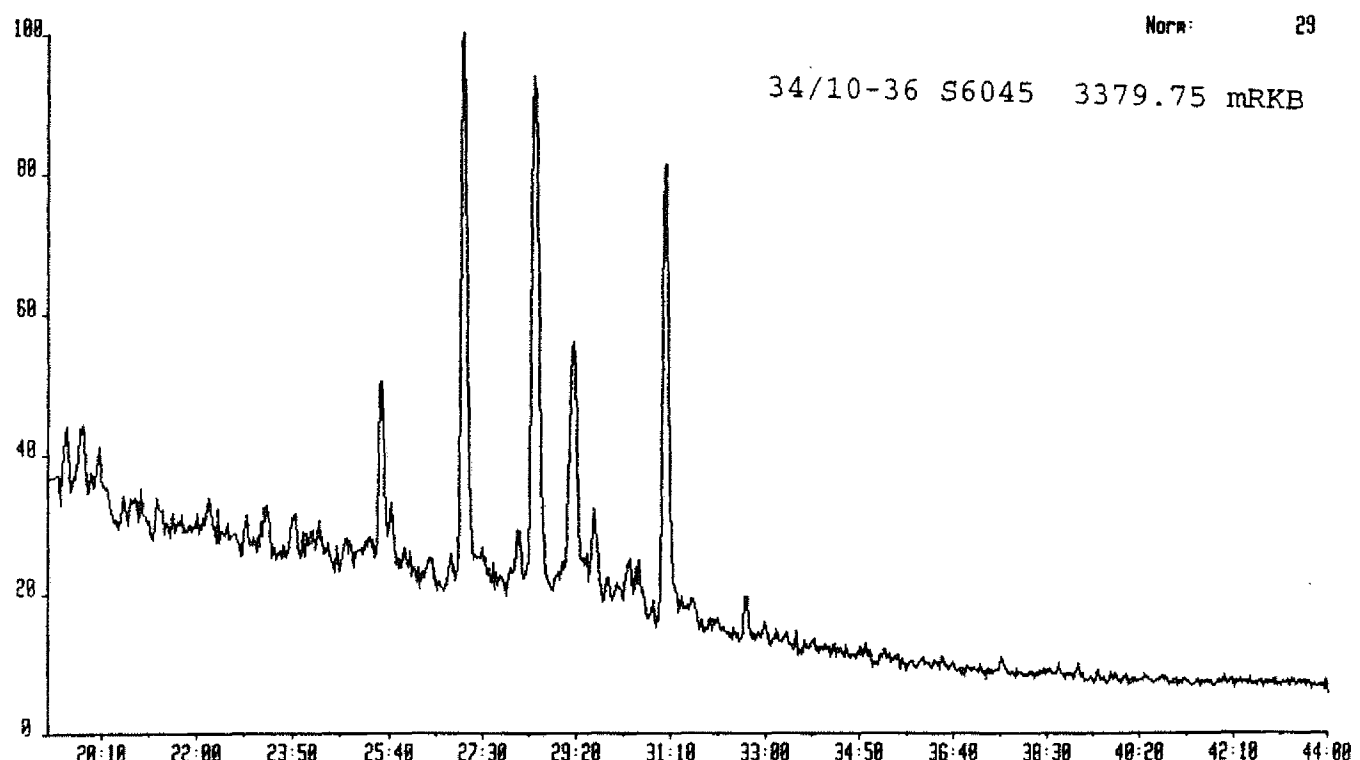
S6045 19-AUG-92 Sir:Magnetic TS250 Sys: LRPB10
Sample 1 Injection 1 Group 1 Mass 217.1958
Text:LRP BIOMARKER



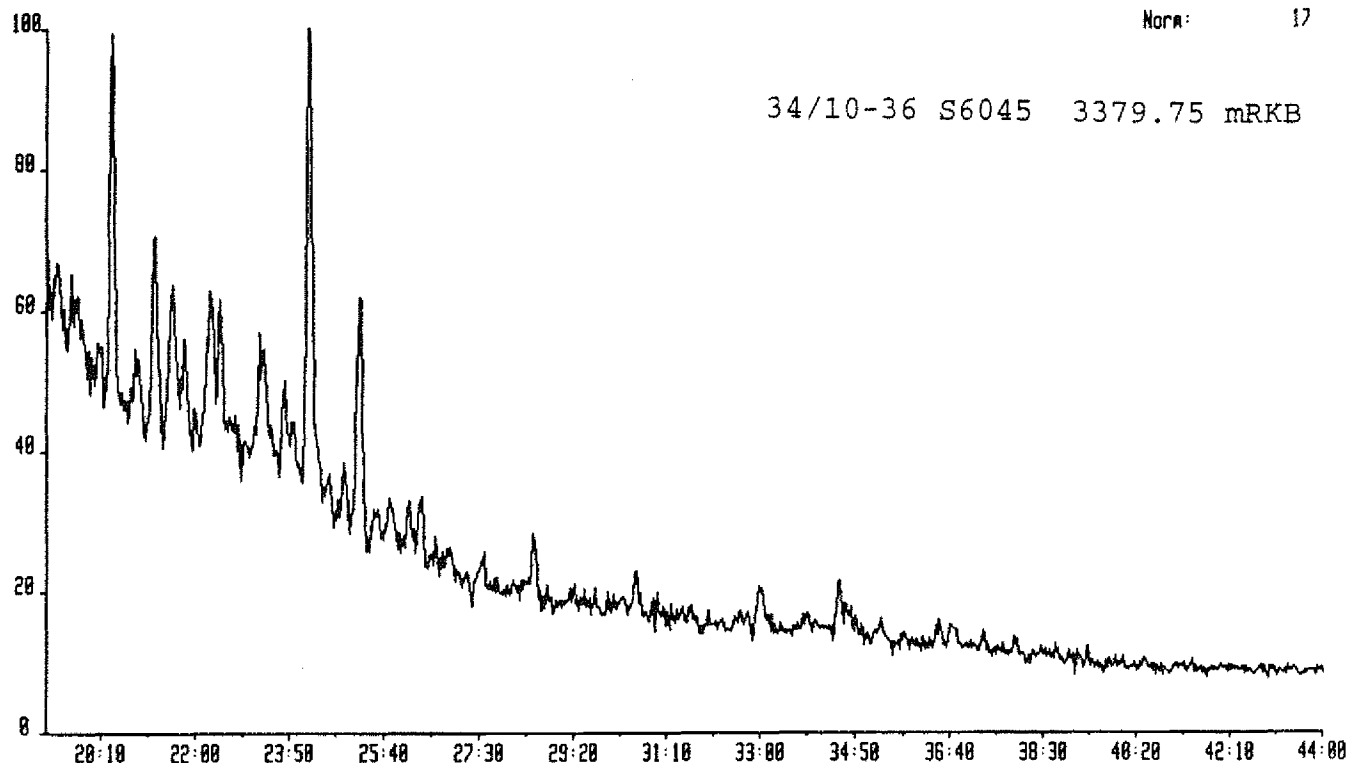
S6045 19-AUG-92 Sir:Magnetic TS250 Sys: LRPBIO
Sample 1 Injection 1 Group 1 Mass 218.2038
Text:LRP BIOMARKER



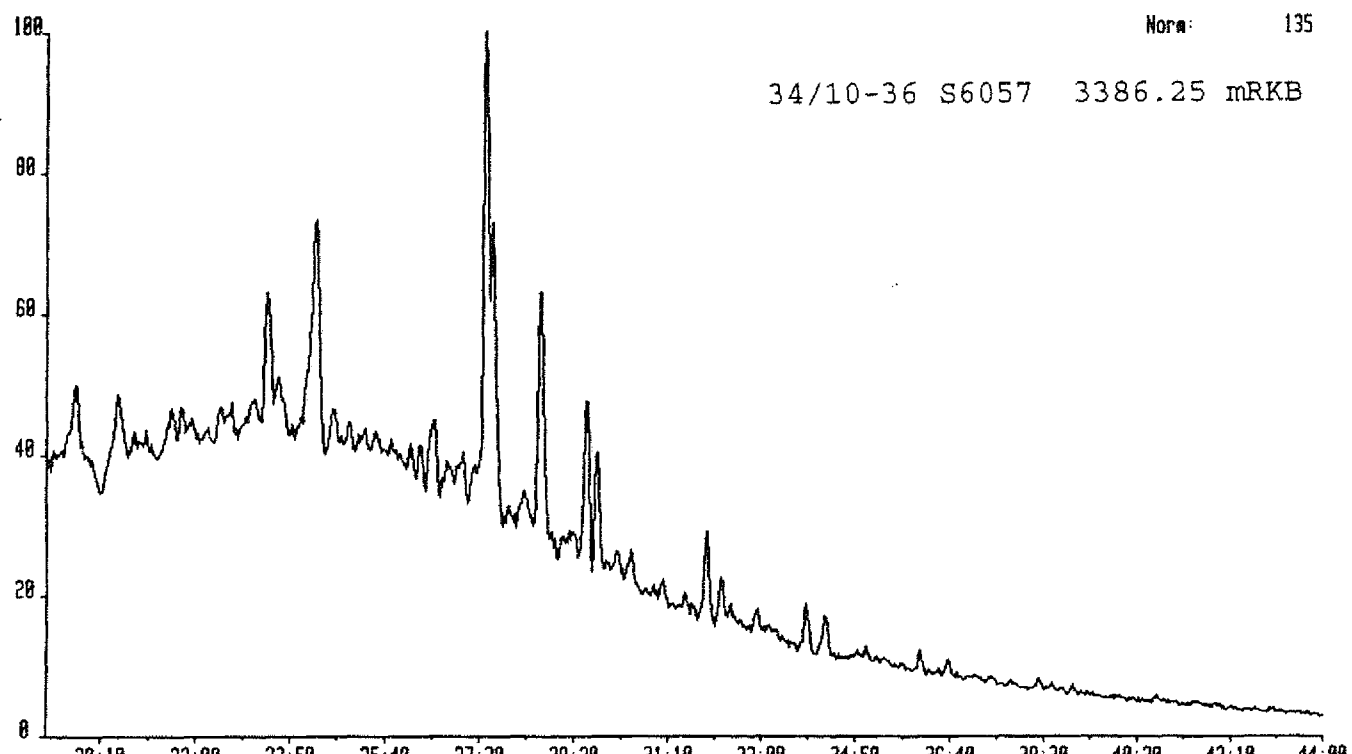
S6045 19-AUG-92 Sir:Magnetic TS250 Sys: LRPBIO
Sample 1 Injection 1 Group 1 Mass 231.2118
Text:LRP BIOMARKER



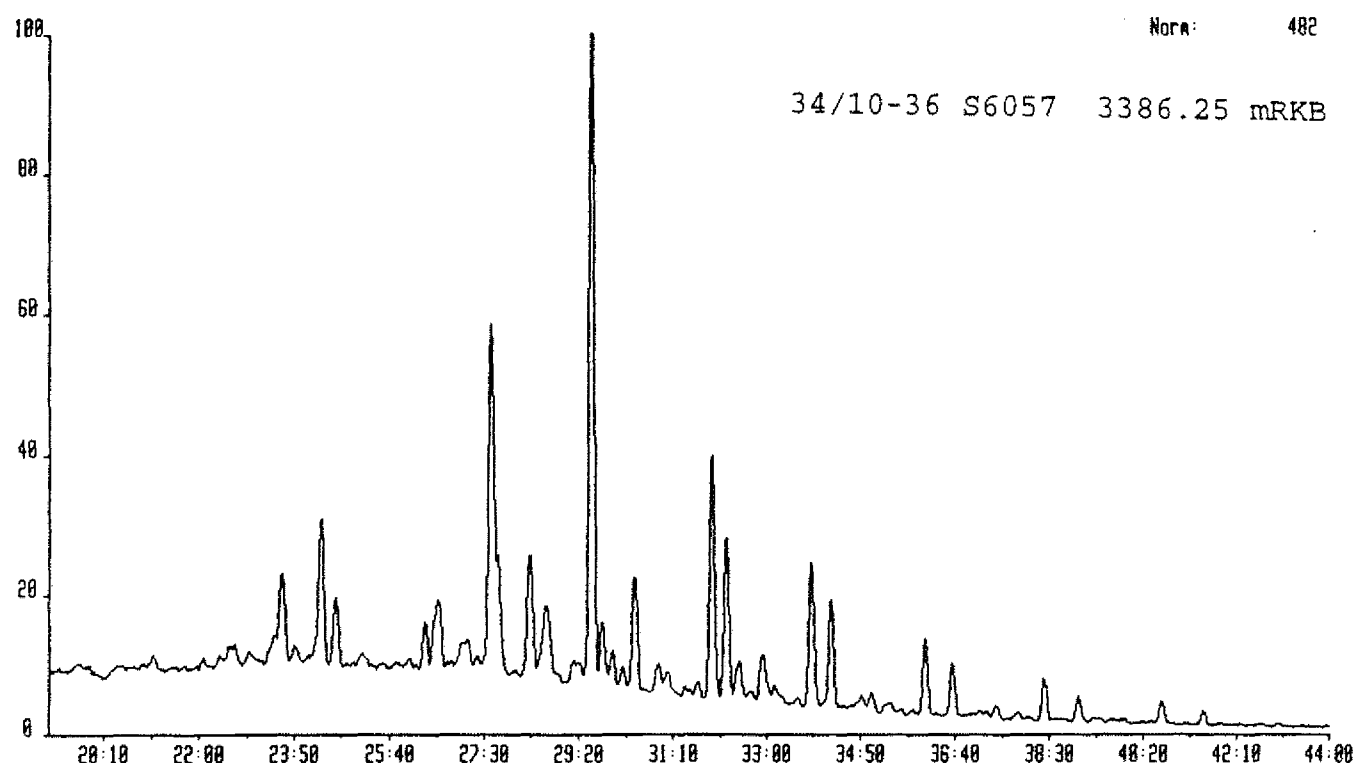
S6045 19-AUG-92 Sir:Magnetic TS258 Sys: LRPBIO
Sample 1 Injection 1 Group 1 Mass 259.2428
Text:LRP BIOMARKER



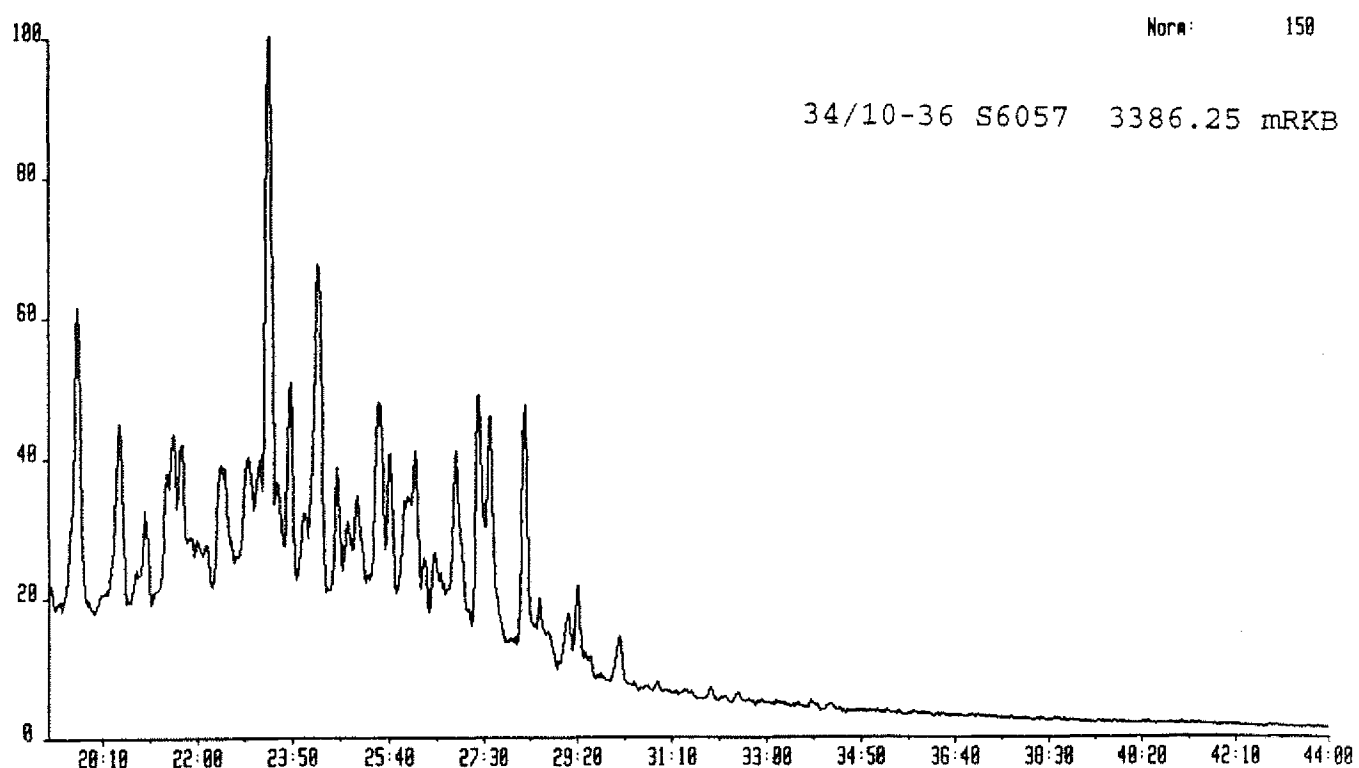
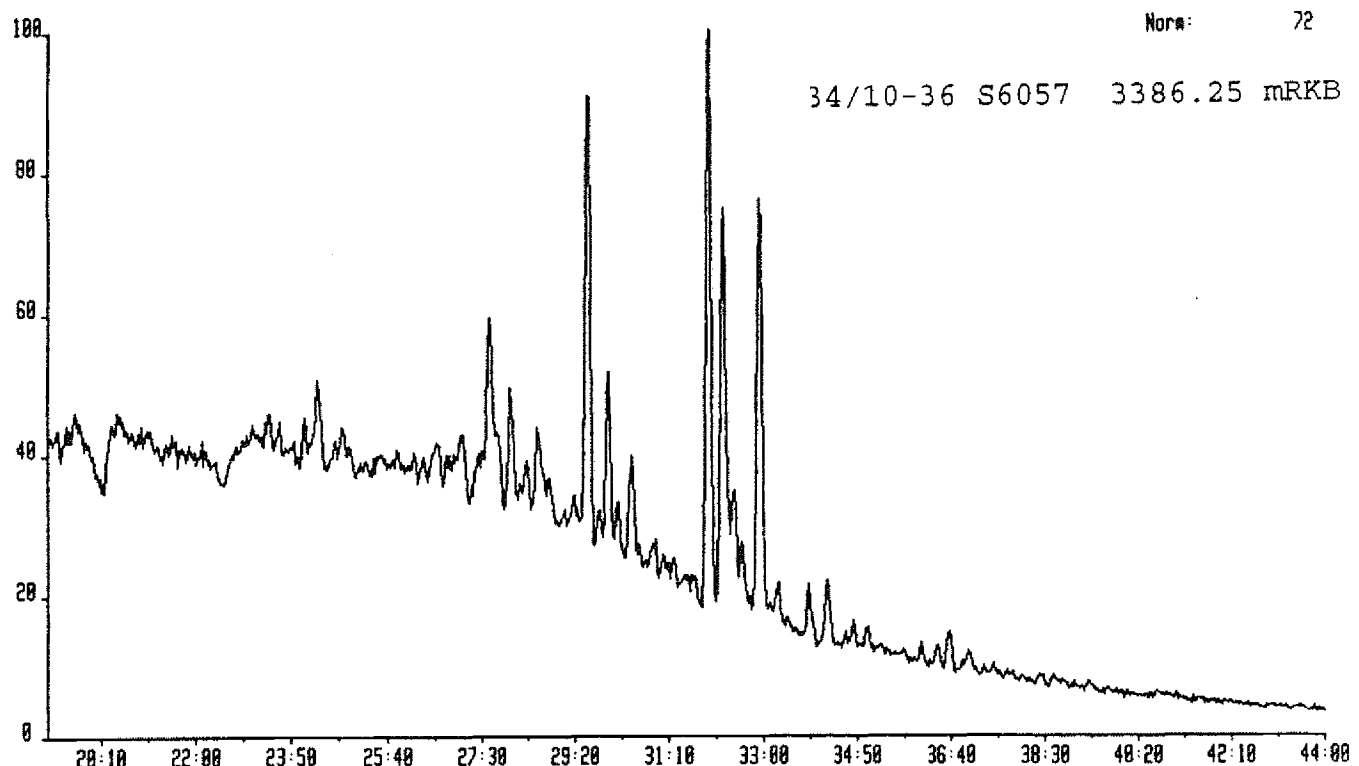
TERMBIO3 14-AUG-92 Sir:Magnetic TS250 Sys: LRPB10
Sample 1 Injection 1 Group 1 Mass 177.1648
Text:LRP BIOMARKER



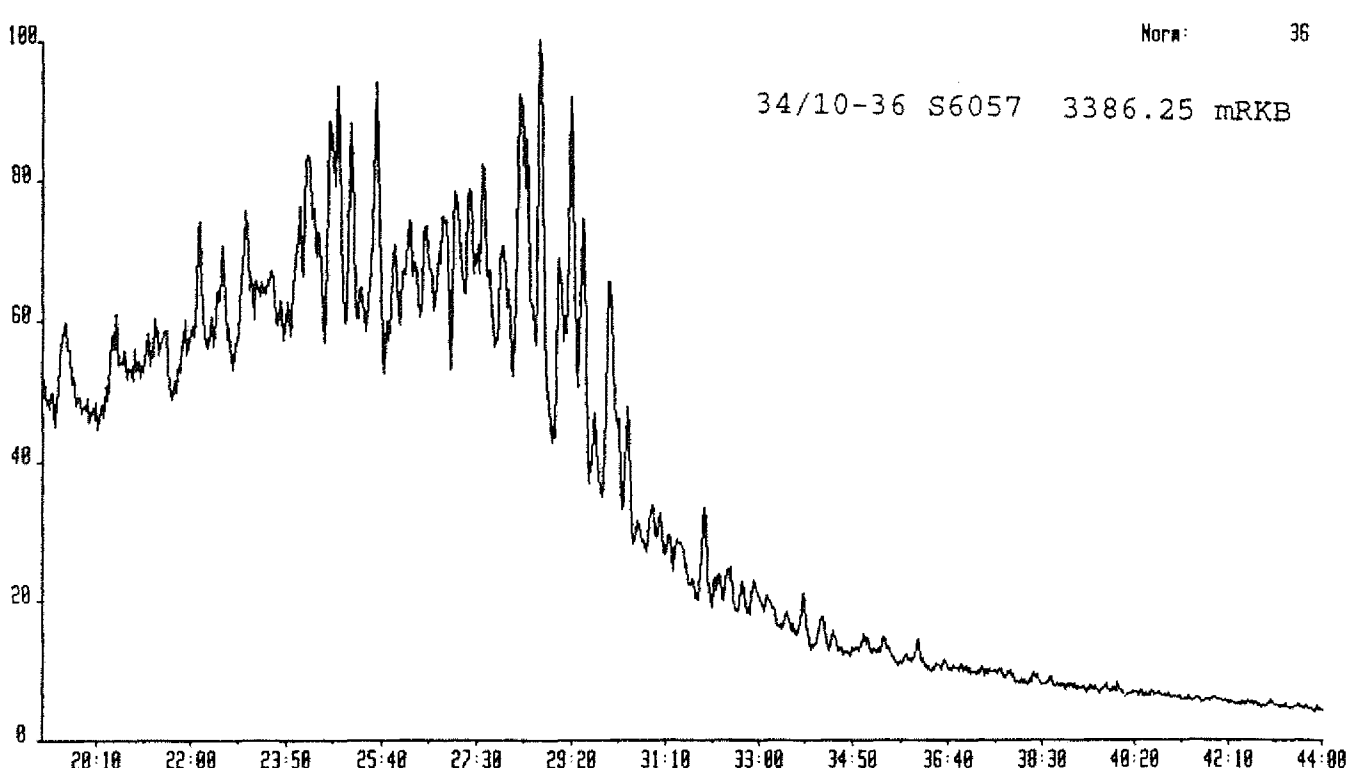
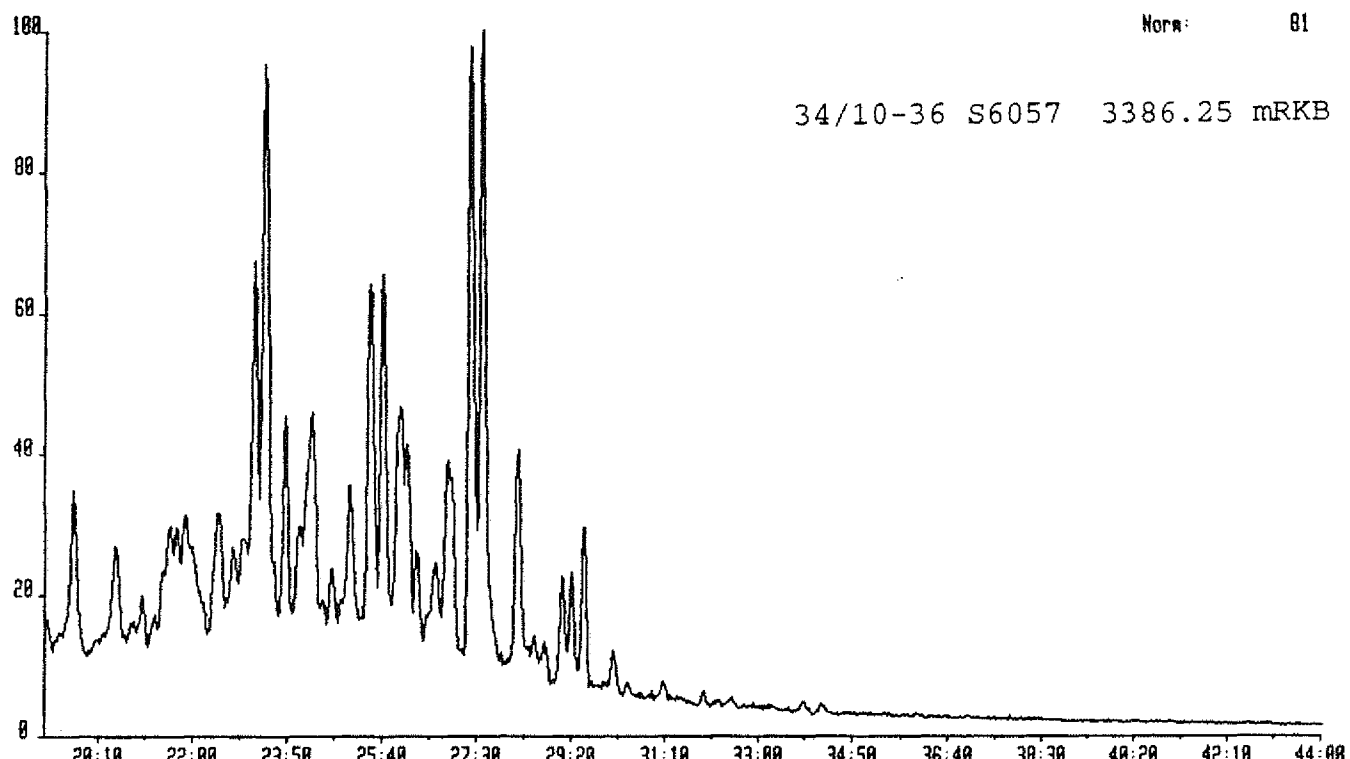
TERMBIO3 14-AUG-92 Sir:Magnetic TS250 Sys: LRPB10
Sample 1 Injection 1 Group 1 Mass 191.1798
Text:LRP BIOMARKER



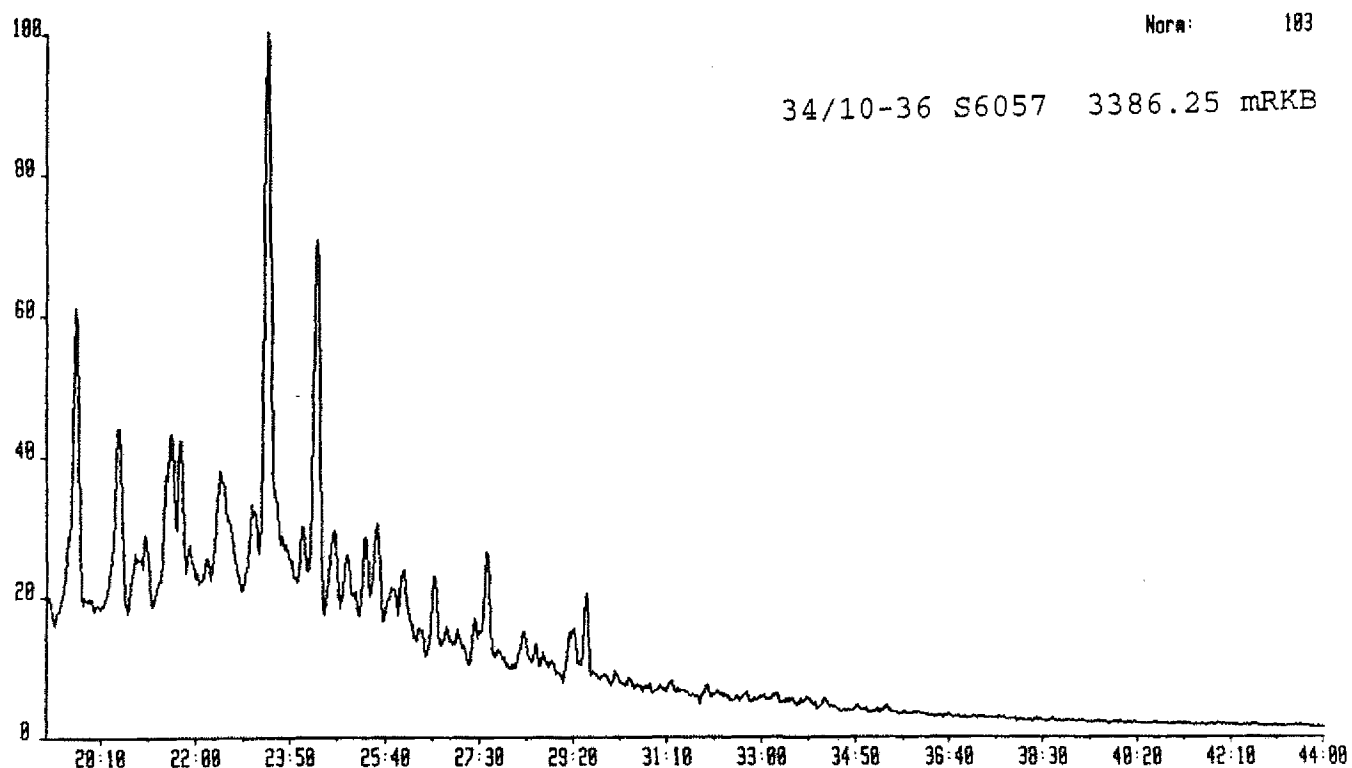
TERMBIO3 14-AUG-92 Str:Magnetic TS250 Sys: LRPB10
Sample 1 Injection 1 Group 1 Mass 205.1950
Text:LRP BIOMARKER



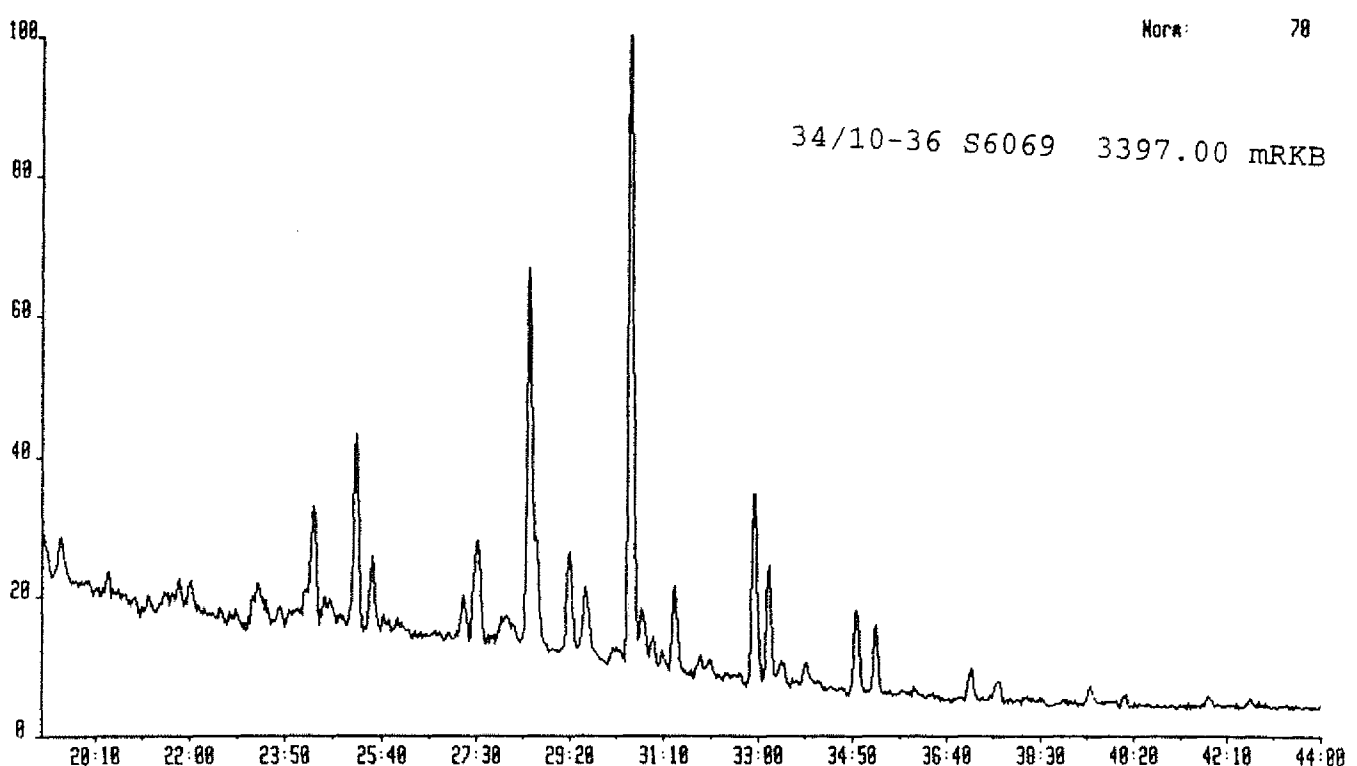
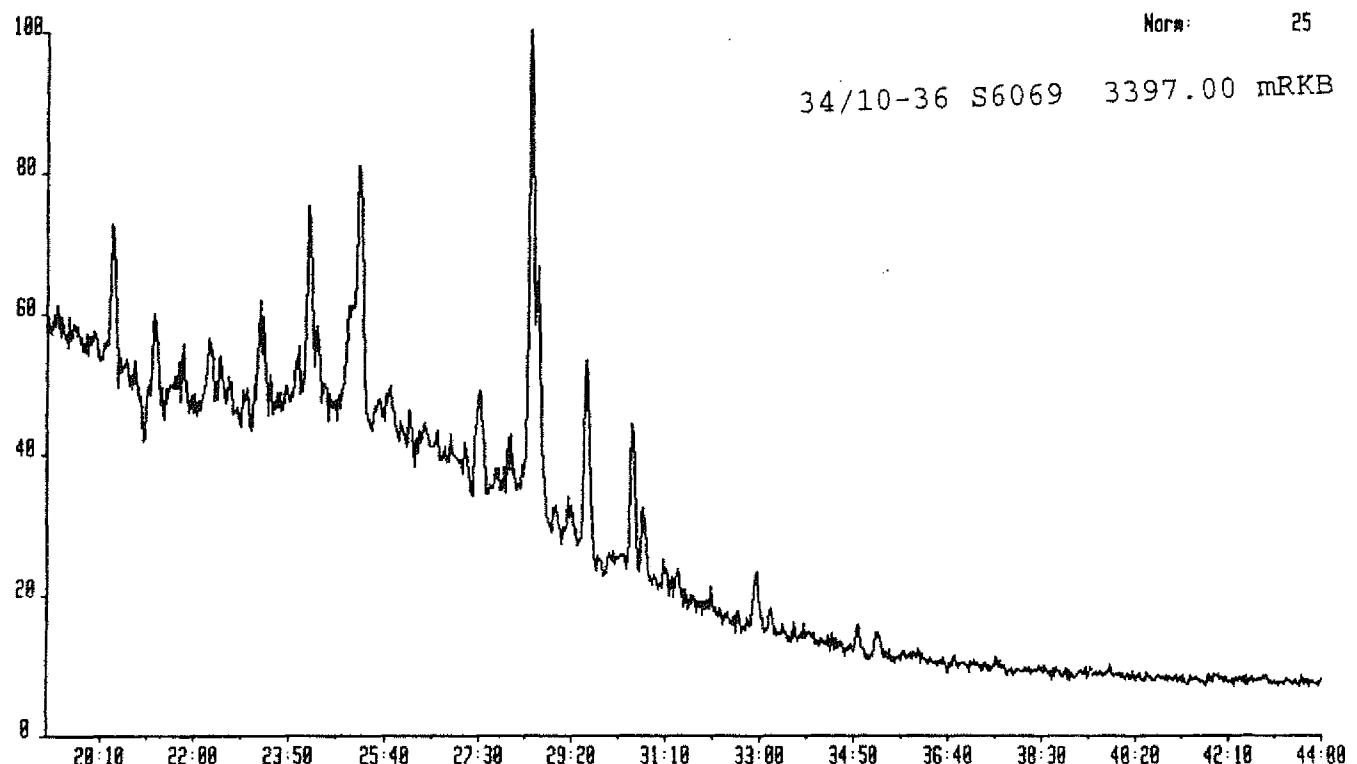
TERMBIO3 14-AUG-92 Sir:Magnetic TS250 Sys: LRPBIO
Sample 1 Injection 1 Group 1 Mass 218.2030
Text:LRP BIOMARKER



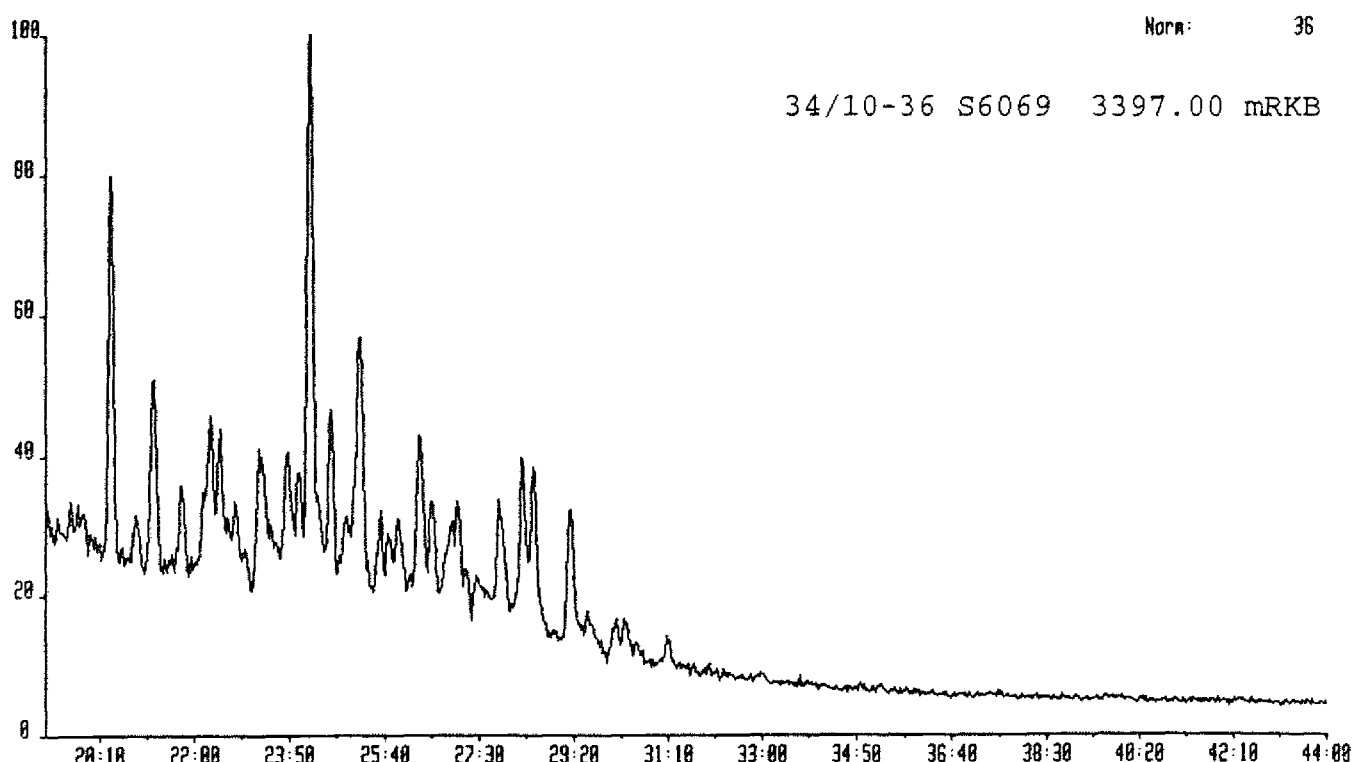
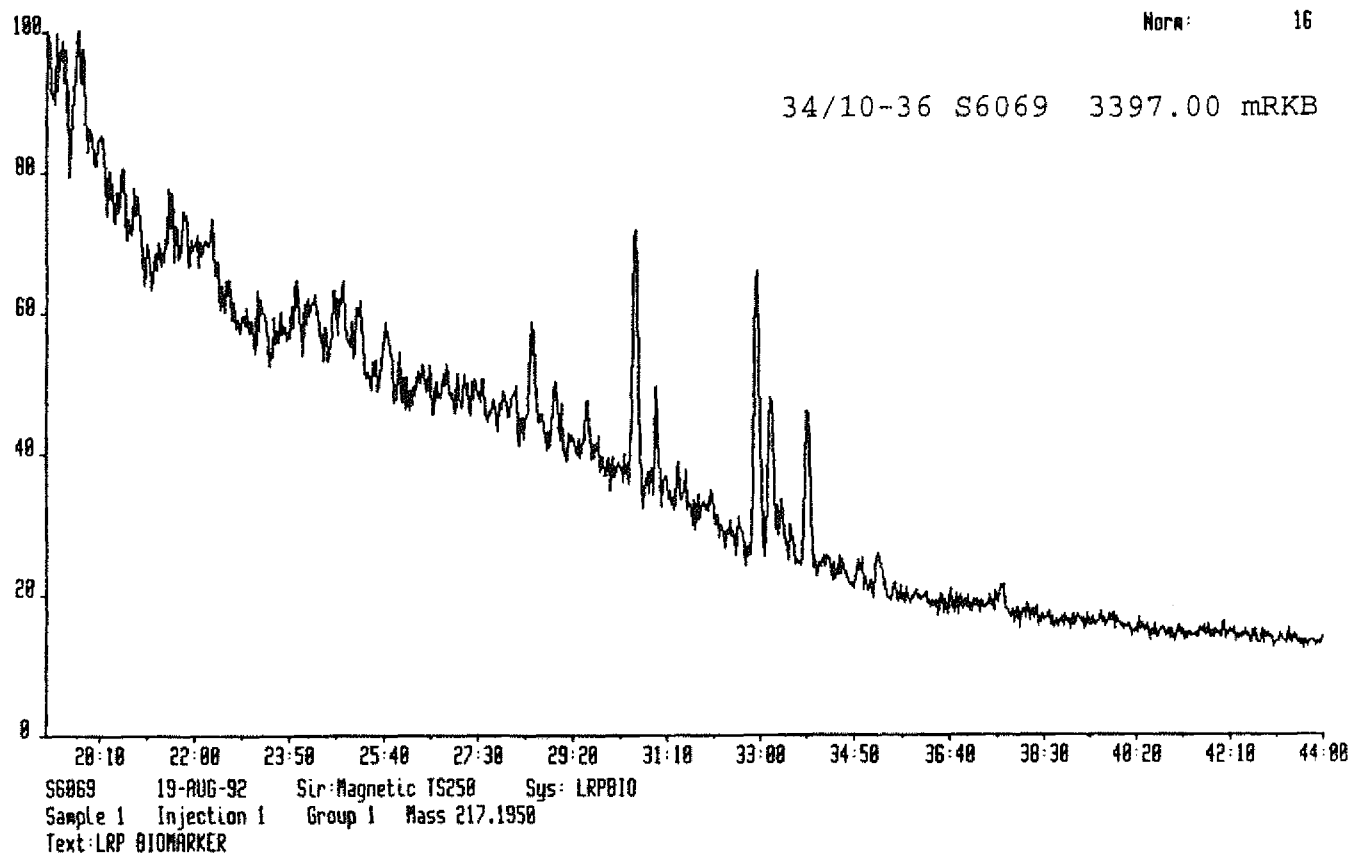
TERMBIO3 14-AUG-92 Sir:Magnetic TS250 Sys: LRPBIO
Sample 1 Injection 1 Group 1 Mass 259.2428
Text:LRP BIOMARKER



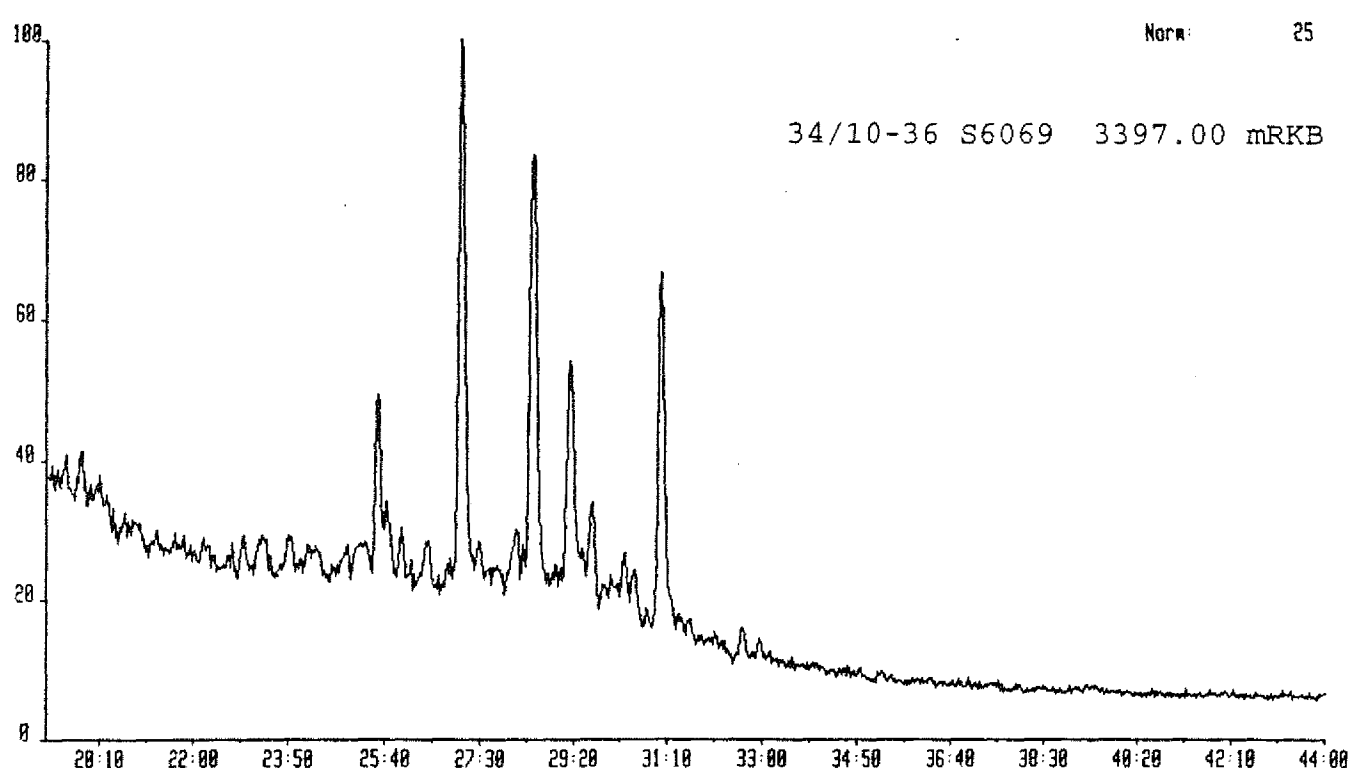
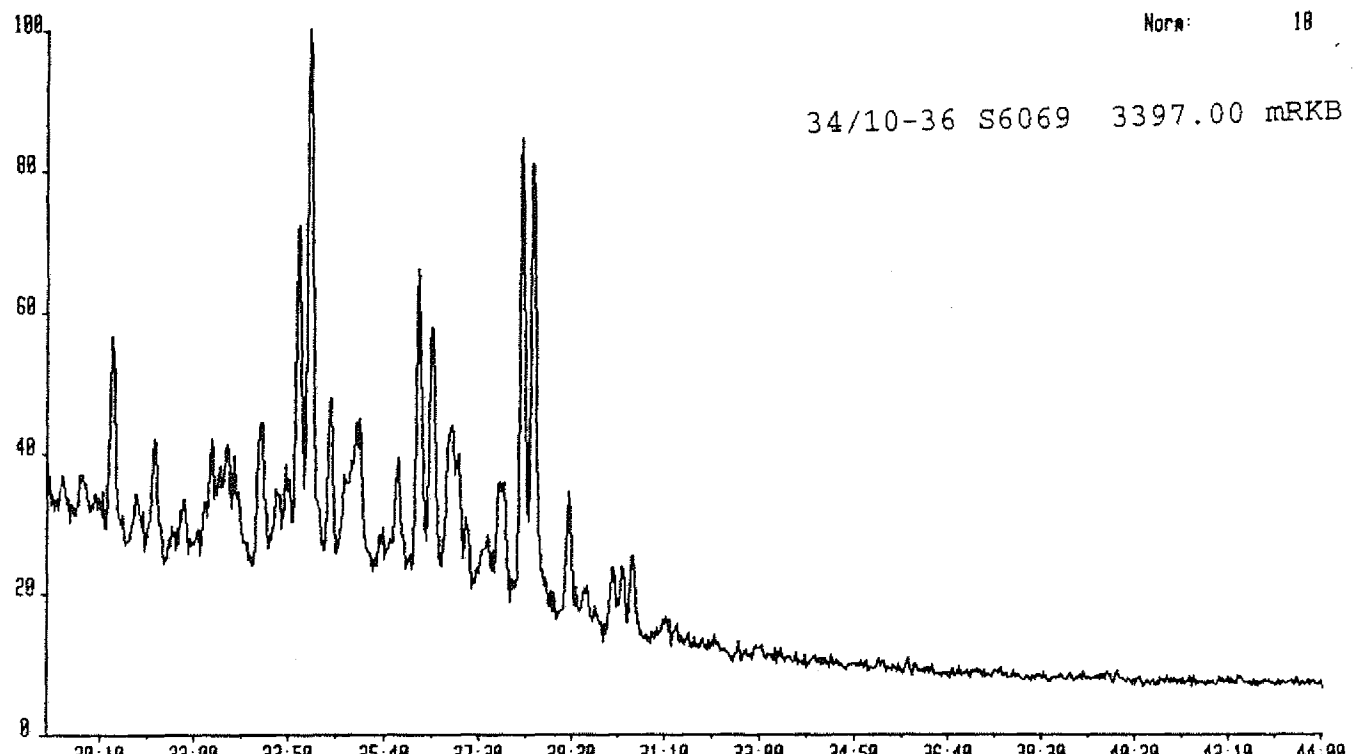
S6069 19-AUG-92 Sir:Magnetic TS250 Sys: LRPBIO
Sample 1 Injection 1 Group 1 Mass 177.1640
Text:LRP BIOMARKER



S6069 19-AUG-92 Sir:Magnetic TS250 Sys: LRPBIO
Sample 1 Injection 1 Group 1 Mass 285.1950,
Text:LRP BIOMARKER



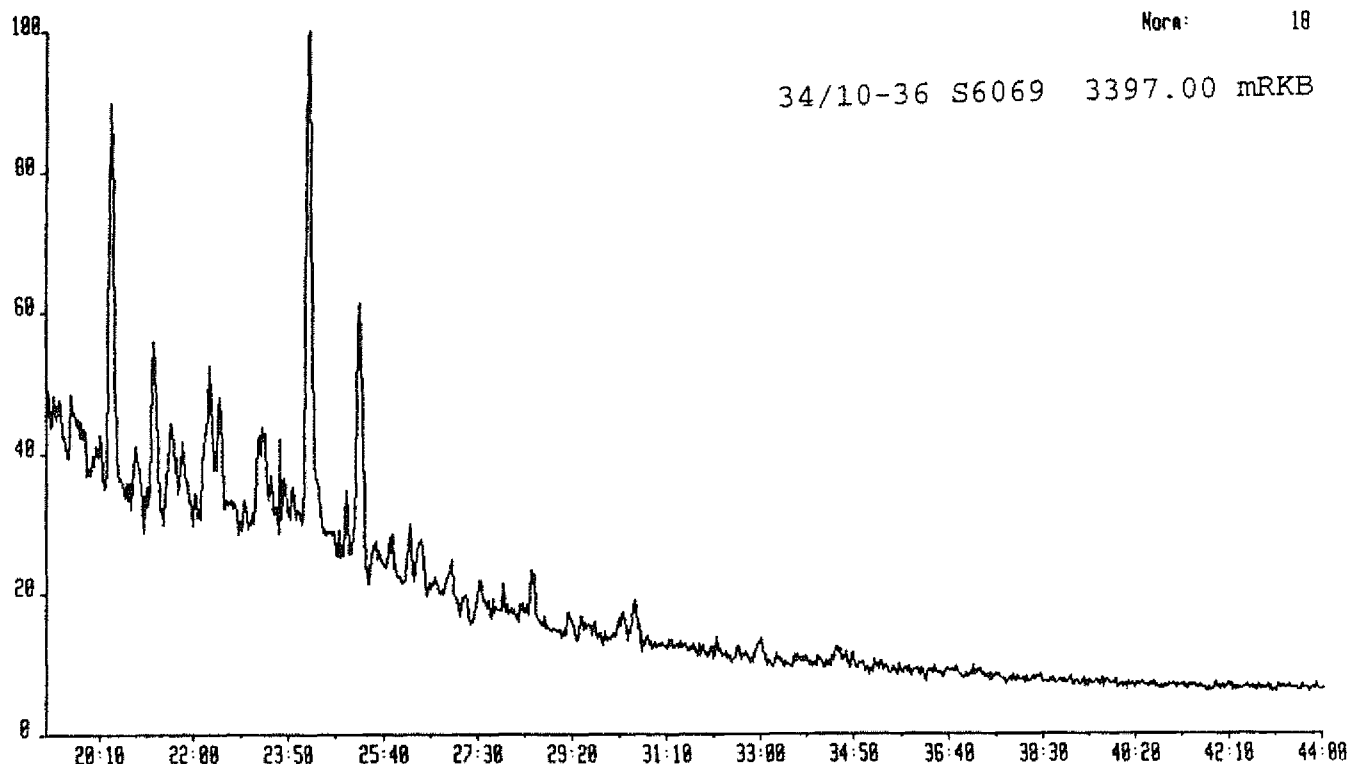
S6069 19-AUG-92 Sir:Magnetic TS250 Sys: LRP810
Sample 1 Injection 1 Group 1 Mass 218.2038
Text:LRP BIOMARKER



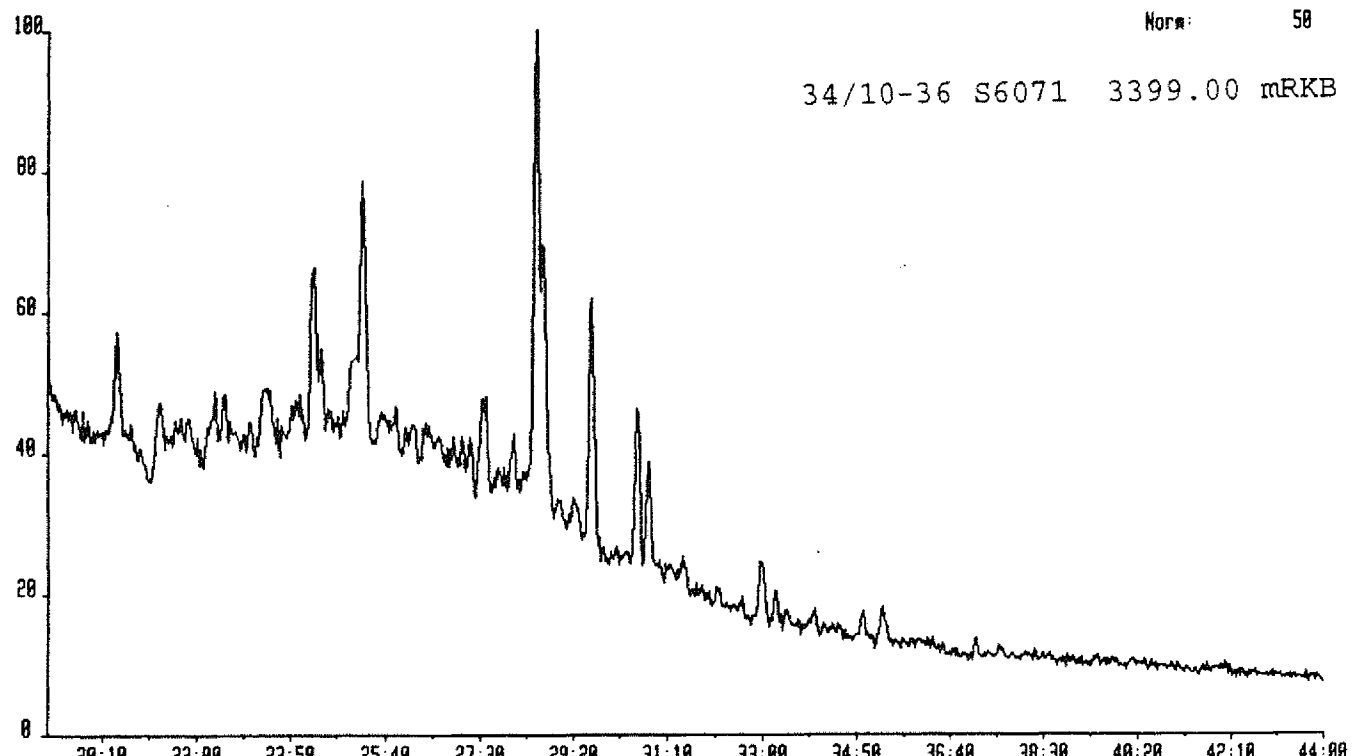
S6069 19-AUG-92 Sir:Magnetic TS258 Sgs: LRPBIO
Sample 1 Injection 1 Group 1 Mass 259.2420
Text:LRP BIOMARKER

Norm: 18

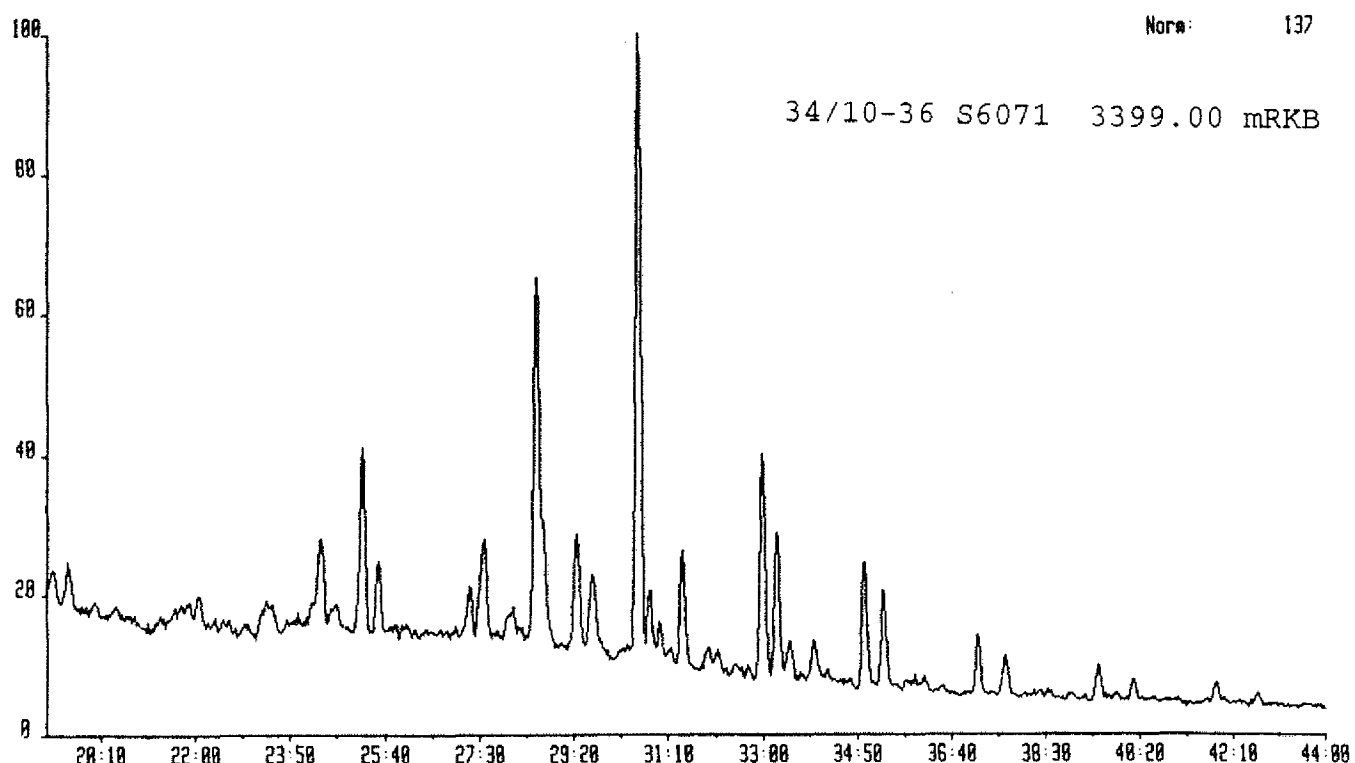
34/10-36 S6069 3397.00 mRKB



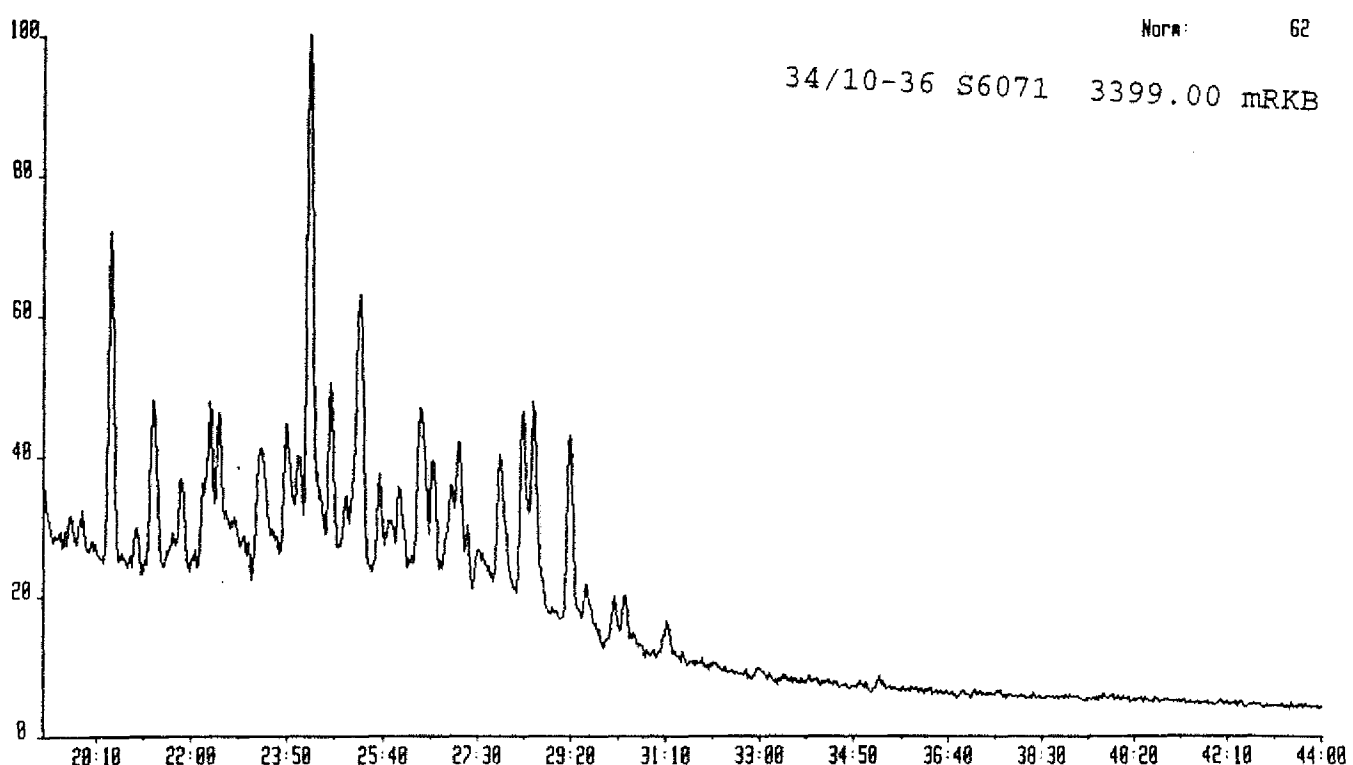
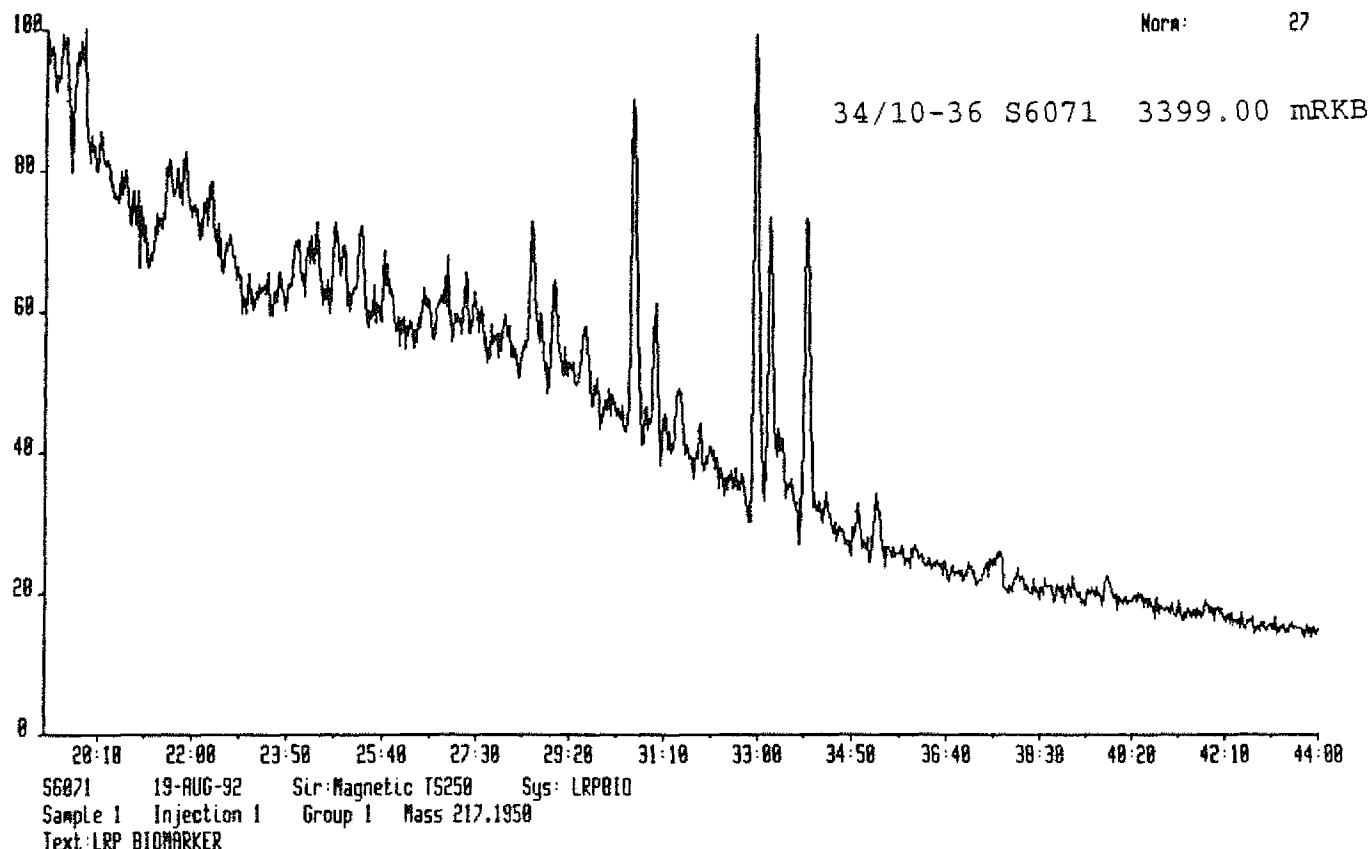
S6071 19-AUG-92 Sir:Magnetic TS250 Sys: LRPBIO
Sample 1 Injection 1 Group 1 Mass 177.1648
Text:LRP BIOMARKER



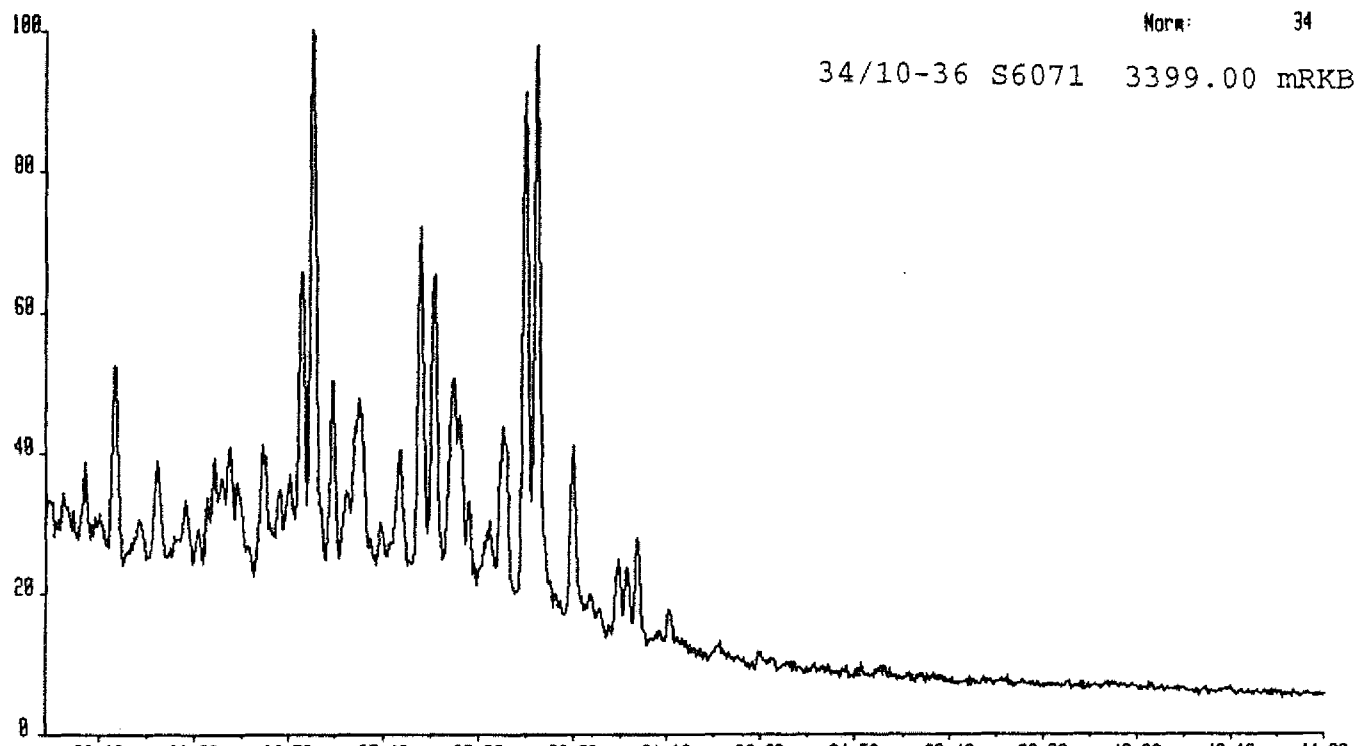
S6071 19-AUG-92 Sir:Magnetic TS250 Sys: LRPBIO
Sample 1 Injection 1 Group 1 Mass 191.1798
Text:LRP BIOMARKER



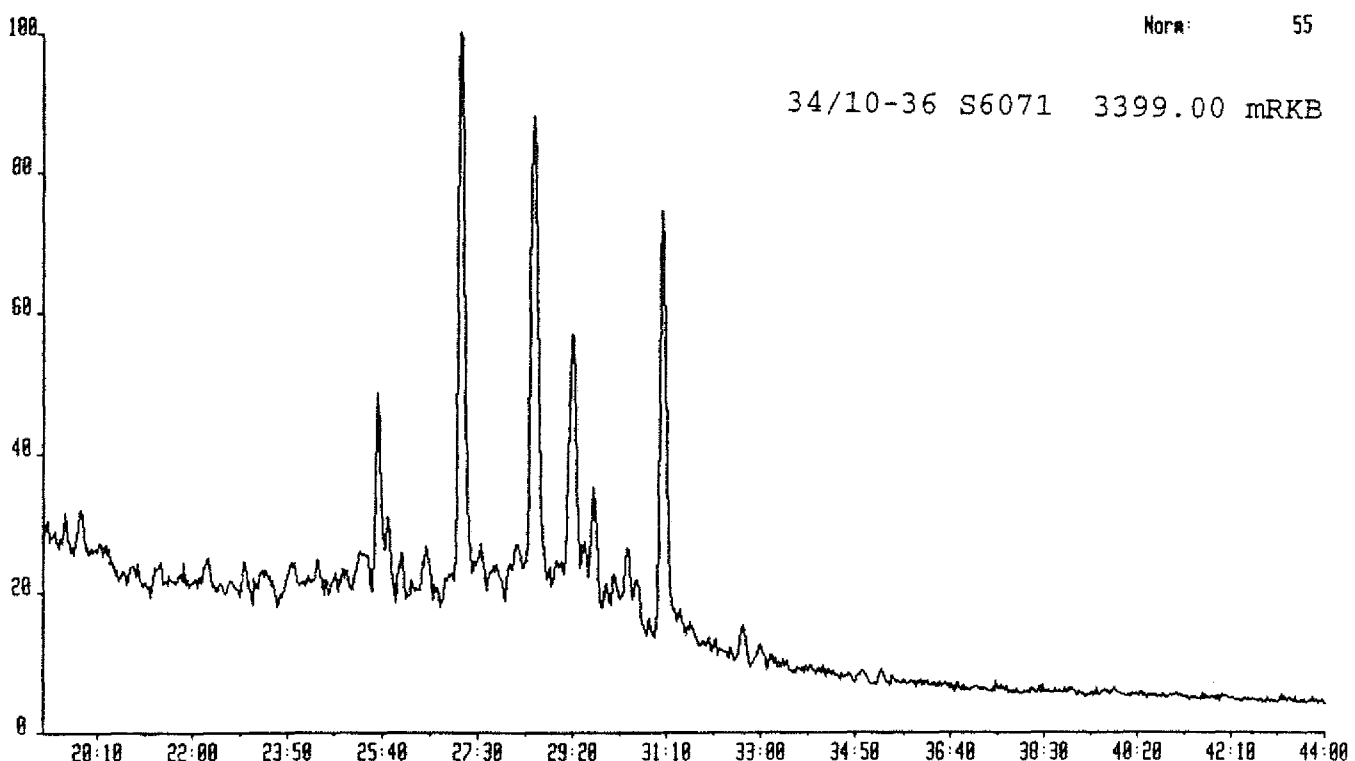
S6871 19-AUG-92 Sir:Magnetic TS250 Sys: LRPBIO
Sample 1 Injection 1 Group 1 Mass 205.1950,
Text:LRP BIOMARKER



S6071 19-AUG-92 Sir:Magnetic TS250 Sys: LRPBIO
Sample 1 Injection 1 Group 1 Mass 210.2030
Text:LRP BIOMARKER



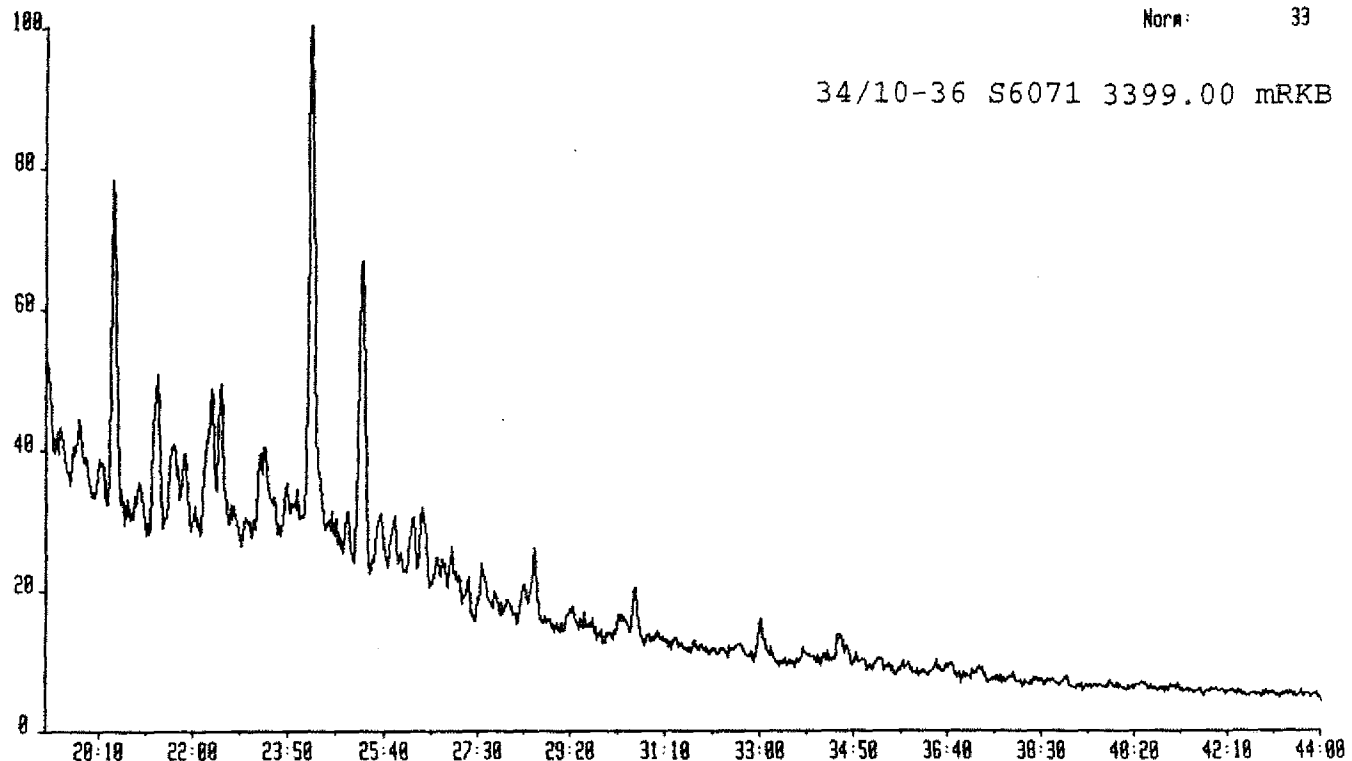
S6071 19-AUG-92 Sir:Magnetic TS250 Sys: LRPBIO
Sample 1 Injection 1 Group 1 Mass 231.2110
Text:LRP BIOMARKER



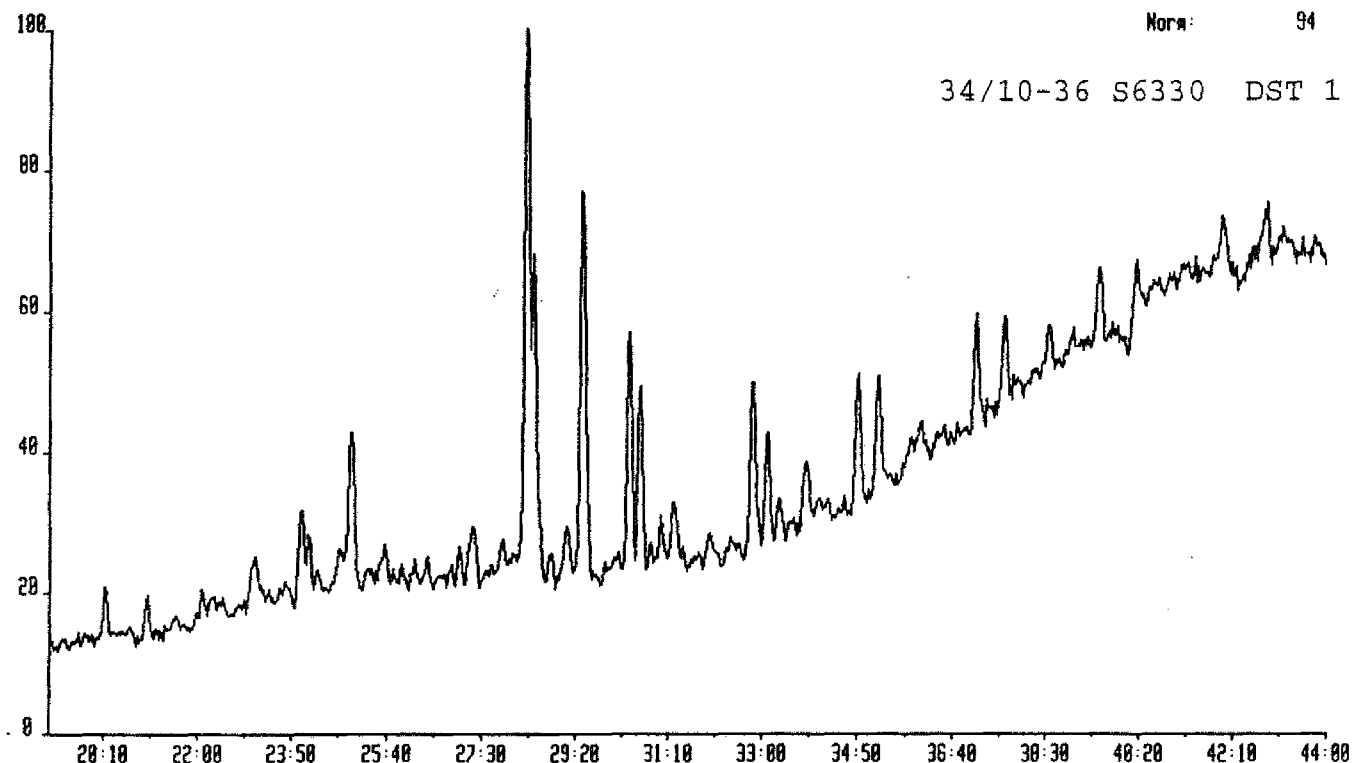
S6071 19-AUG-92 Sir:Magnetic TS250 Sys: LRPBIO
Sample 1 Injection 1 Group 1 Mass 259.2428
Text:LRP BIOMARKER

Norm: 33

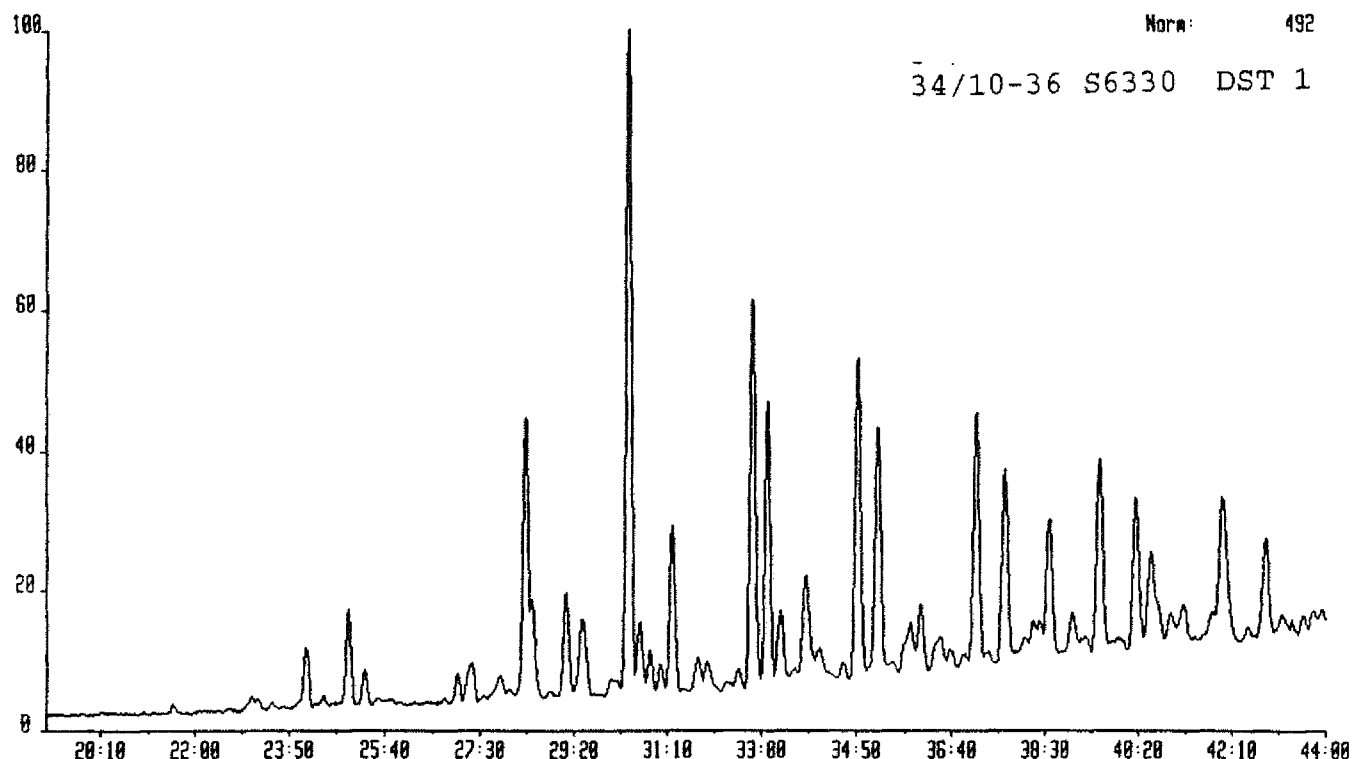
34/10-36 S6071 3399.00 mRKB



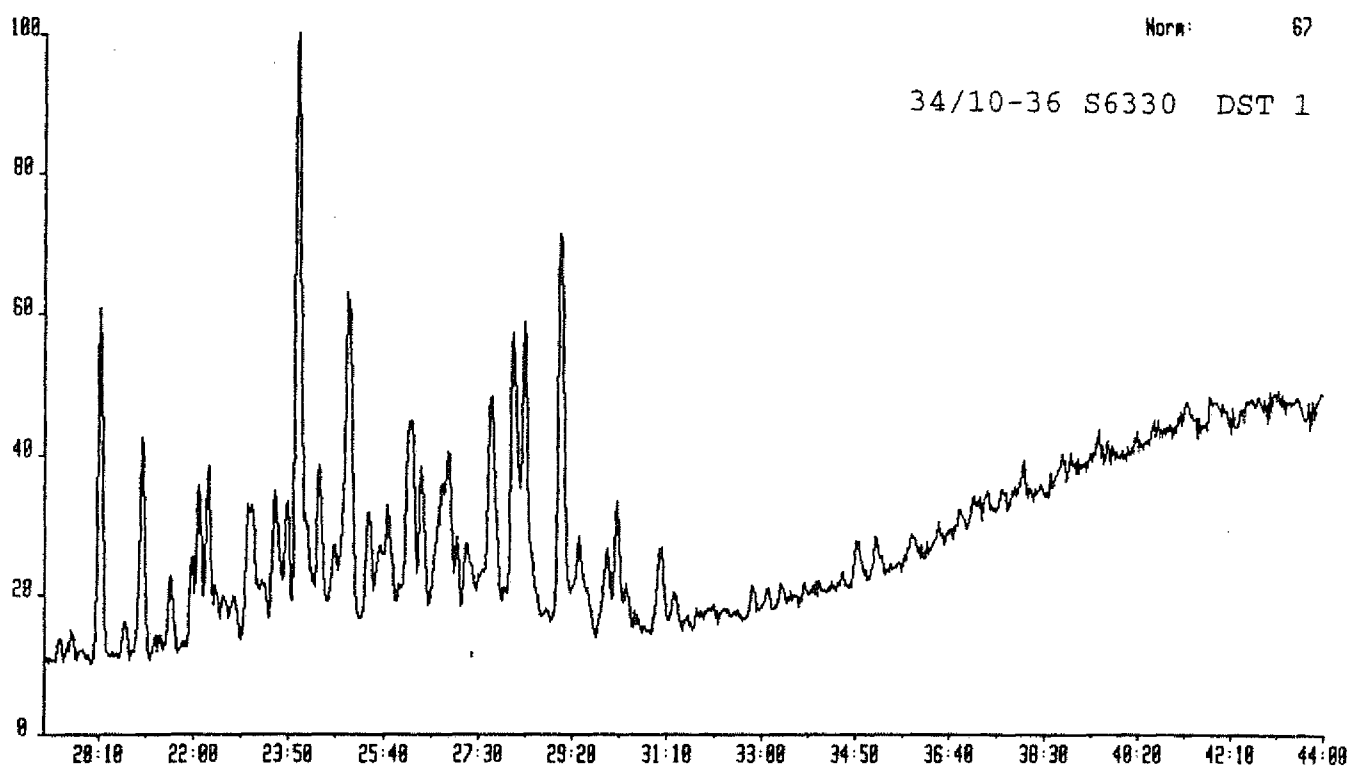
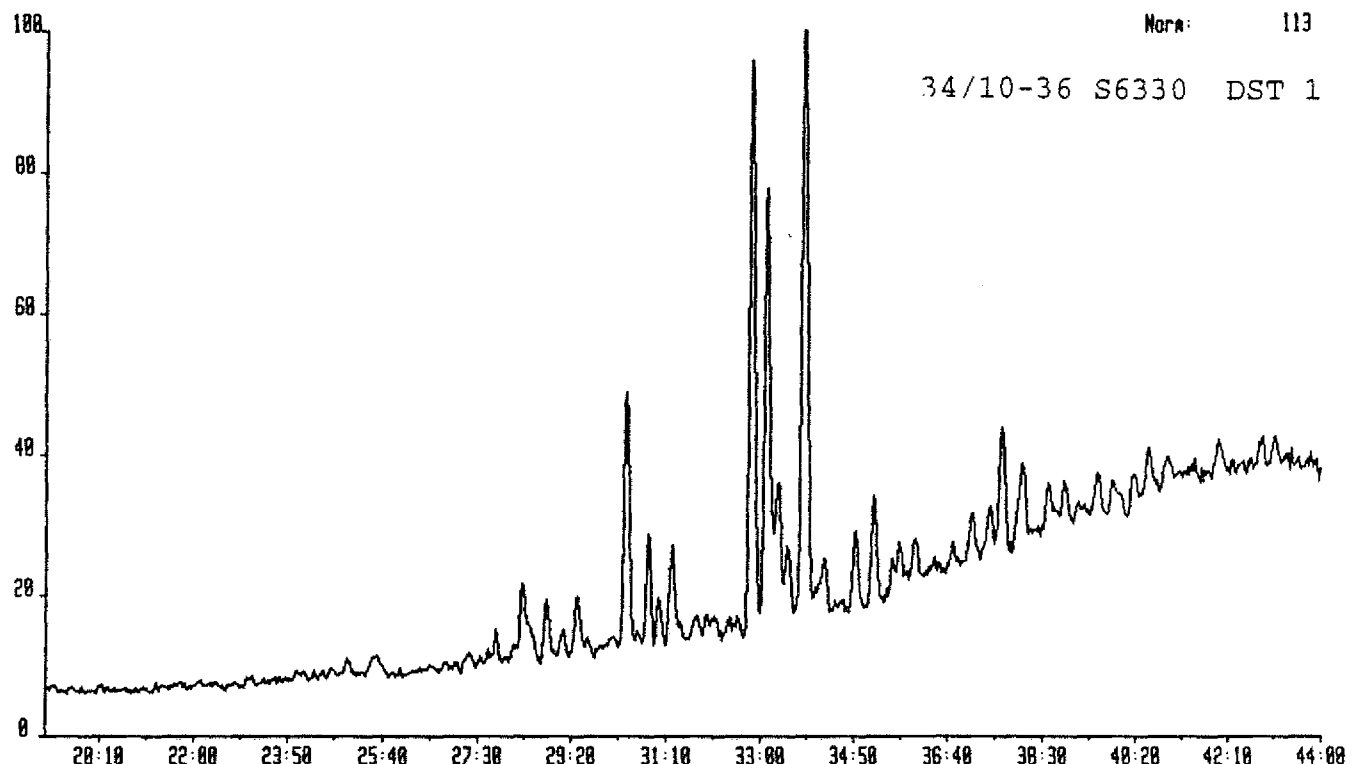
341036 18-AUG-92 Sir:Magnetic TS250 Sys: LRPB10
Sample 1 Injection 1 Group 1 Mass 177.1640
Text:LRP BIOMARKER



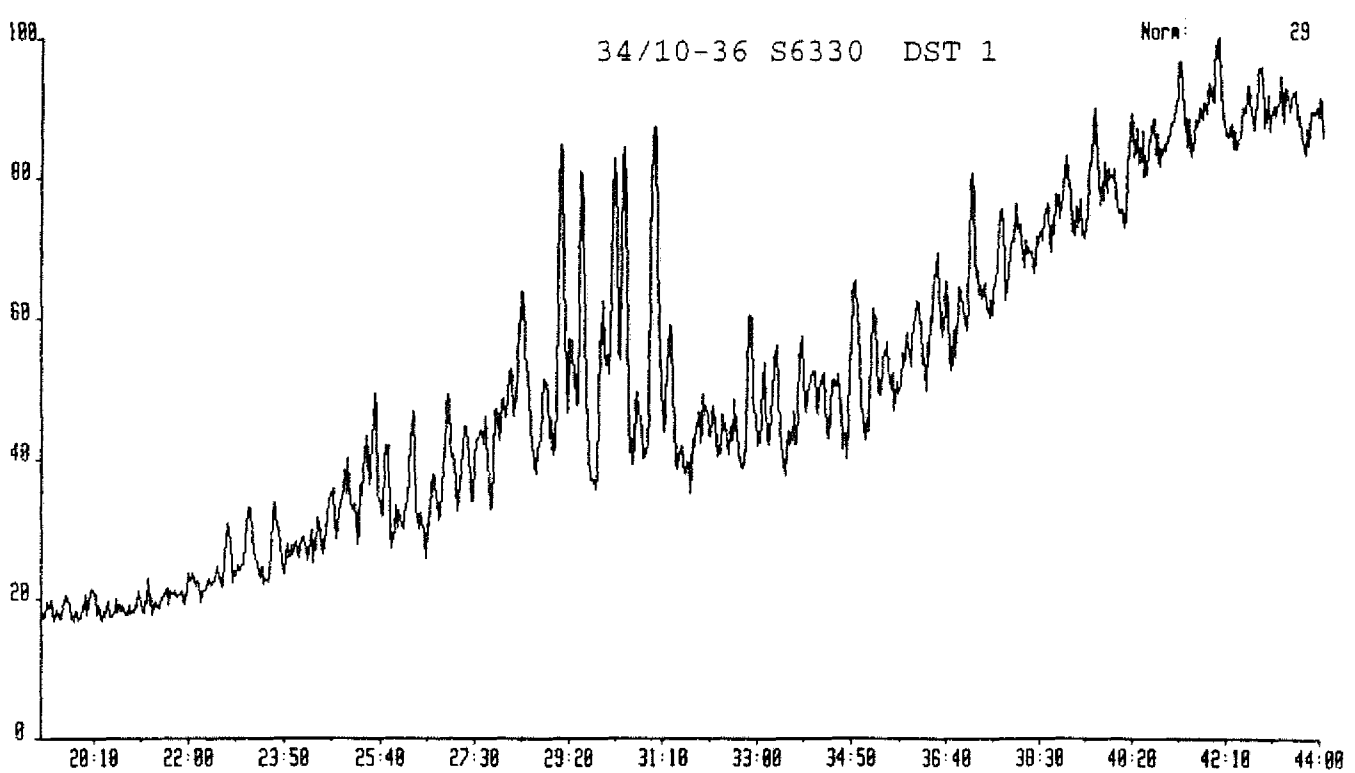
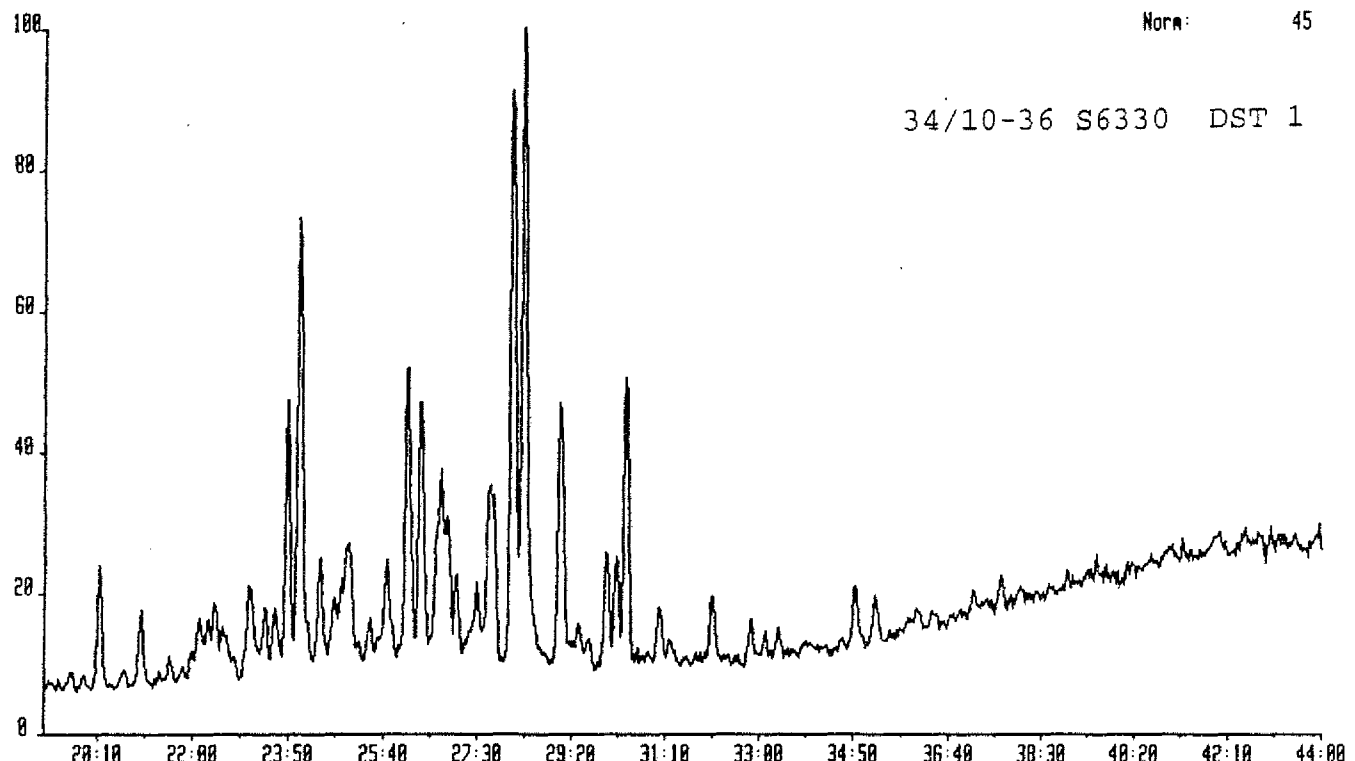
341036 18-AUG-92 Sir:Magnetic TS250 Sys: LRPB10
Sample 1 Injection 1 Group 1 Mass 191.1790
Text:LRP BIOMARKER



341036 18-AUG-92 Sir:Magnetic TS250 Sys: LRPBIO
Sample 1 Injection 1 Group 1 Mass 205.1950
Text:LRP BIOMARKER



341836 18-AUG-92 Sir:Magnetic TS250 Sys: LRPBIO
Sample 1 Injection 1 Group 1 Mass 218.2030
Text:LRP BIOMARKER



341836 18-AUG-92 Sir:Magnetic TS258 Sys: LRPBIO
Sample 1 Injection 1 Group 1 Mass 259.2428
Text:LRP BIOMARKER

Norm: 45

34/10-36 S6330 DST 1

